

การออกแบบวงจรซีมอสซิลิเลเตอร์แบบวงแหวนที่กินกำลังงานต่ำและไม่ขึ้นกับแรงดัน
ขีดเริ่มเปลี่ยนเพื่อประยุกต์ใช้กับวงจรมหาพีกาเวลาจริง



นางสาวณัฐนิช เกียรติมนิรัตน์

ศูนย์วิทยทรัพยากร จุฬาลงกรณ์มหาวิทยาลัย

วิทยานิพนธ์นี้เป็นส่วนหนึ่งของการศึกษาตามหลักสูตรปริญญาวิศวกรรมศาสตรมหาบัณฑิต

สาขาวิชาวิศวกรรมไฟฟ้า ภาควิชาวิศวกรรมไฟฟ้า

คณะวิศวกรรมศาสตร์ จุฬาลงกรณ์มหาวิทยาลัย

ปีการศึกษา 2553

ลิขสิทธิ์ของจุฬาลงกรณ์มหาวิทยาลัย

A DESIGN OF THRESHOLD VOLTAGE INDEPENDENT LOW POWER CMOS RING
OSCILLATOR FOR REAL TIME CLOCK APPLICATION

Miss Nattanich Kiattimaneeratana



ศูนย์วิทยทรัพยากร
จุฬาลงกรณ์มหาวิทยาลัย

A Thesis Submitted in Partial Fulfillment of the Requirements
for the Degree of Master of Engineering Program in Electrical Engineering

Department of Electrical Engineering

Faculty of Engineering

Chulalongkorn University

Academic Year 2010

Copyright of Chulalongkorn University

หัวข้อวิทยานิพนธ์

การออกแบบวงจรซีมอสสออสซิลเลเตอร์แบบวงแหวนที่
กินกำลังงานต่ำและไม่ขึ้นกับแรงดันขีดเริ่มเปลี่ยนเพื่อ
ประยุกต์ใช้กับวงจรมอดูเลชันเวลาจริง

โดย

นางสาวณัฐนิช เกียรติมนรัตน์

สาขาวิชา

วิศวกรรมไฟฟ้า

อาจารย์ที่ปรึกษาวิทยานิพนธ์หลัก

รองศาสตราจารย์ ดร. เอกชัย ลีลาวัศม์


คณะวิศวกรรมศาสตร์ จุฬาลงกรณ์มหาวิทยาลัย อนุมัติให้ให้นักศึกษานี้เป็นส่วน
หนึ่งของการศึกษาตามหลักสูตรปริญญาวิทยาศาสตรบัณฑิต


..... คณบดีคณะวิศวกรรมศาสตร์
(รองศาสตราจารย์ ดร.บุญสม เลิศนัทธวงศ์)

คณะกรรมการสอบวิทยานิพนธ์


..... ประธานกรรมการ
(ผู้ช่วยศาสตราจารย์ ดร. วันเฉลิม ปูรา)


..... อาจารย์ที่ปรึกษาวิทยานิพนธ์หลัก
(รองศาสตราจารย์ ดร. เอกชัย ลีลาวัศม์)


..... กรรมการภายนอกมหาวิทยาลัย
(ผู้ช่วยศาสตราจารย์ ดร. จิตรเกษม งามนิล)

ณัฐนิช เกียรติมนิรัตน์ : การออกแบบวงจรซีมอสออสซิลเลเตอร์แบบวงแหวนที่กินกำลังงานต่ำ และไม่ขึ้นกับแรงดันขีดเริ่มเปลี่ยนเพื่อประยุกต์ใช้กับวงจรมหาฬิกาเวลาจริง. (A DESIGN OF THRESHOLD VOLTAGE INDEPENDENT LOW POWER CMOS RING OSCILLATOR FOR REAL TIME CLOCK APPLICATION) อ.ที่ปรึกษาวิทยานิพนธ์หลัก :
 รศ. ดร. เอกชัย ลีลาวัศม์, 77 หน้า.

วิทยานิพนธ์นี้นำเสนอการออกแบบวงจรออสซิลเลเตอร์แบบวงแหวนที่ให้กำเนิดสัญญาณรูปสามเหลี่ยมที่มีความถี่คงที่ และแม่นยำโดยไม่ต้องใช้ผลึกควอตซ์เพื่อนำมาประยุกต์ใช้กับวงจรมหาฬิกาเวลาจริง วงจรออสซิลเลเตอร์ที่ออกแบบนี้ใช้หลักการอัดประจุด้วยกระแสคงที่ และคายประจุด้วยสวิตช์สลับกันไป โดยวงจรออสซิลเลเตอร์แบบวงแหวนประกอบด้วยวงจรมหาฬิกาสัญญาณ 3 ภาค (Stage) ต่อพ่วงกันเป็นวงแหวน (Ring) แต่ละภาคใช้ NMOS ขั้วแหล่งกำเนิดกระแส และตัวเก็บประจุขนาด 1 พิโคฟารัด แหล่งกำเนิดกระแสที่ใช้ได้ถูกออกแบบมาให้มีขนาดขึ้นกับแรงดันขีดเริ่มเปลี่ยนจึงทำให้ความถี่ไม่แปรตามแรงดันขีดเริ่มเปลี่ยนได้ และแสดงค่าความถี่ที่ได้จากการออกแบบโดยการวิเคราะห์วงจรออสซิลเลเตอร์ที่ออกแบบเปรียบเทียบกับค่าความถี่ที่ได้จากผลการจำลองการทำงานของโปรแกรม HSPICE และโปรแกรมวาดลายวงจร ได้ผลการทดสอบโดยสร้างวงจรด้วยเทคโนโลยีระดับ 0.35 ไมครอน พบว่าวงจรสามารถสร้างความถี่ได้ตามต้องการโดยจะมีความผิดพลาด $\pm 0.1\%$ ผลการทดสอบแสดงให้เห็นว่า วงจรสามารถทำงานได้ที่แรงดันไฟเลี้ยงตั้งแต่ 2.5 ถึง 3.3 โวลต์ วงจรดังกล่าวกินกำลังไฟฟ้าเฉลี่ย 5.08 ไมโครวัตต์ ที่แรงดันไฟเลี้ยง 3.3 โวลต์ และอุณหภูมิ 27 องศาเซลเซียส

ศูนย์วิทยทรัพยากร
 จุฬาลงกรณ์มหาวิทยาลัย

ภาควิชา.....วิศวกรรมไฟฟ้า..... ลายมือชื่อนิสิต.....ณัฐนิช เกียรติมนิรัตน์.....
 สาขาวิชา.....วิศวกรรมไฟฟ้า..... ลายมือชื่อ อ.ที่ปรึกษาวิทยานิพนธ์หลัก.....ศ.ดร.เอกชัย ลีลาวัศม์.....
 ปีการศึกษา.....2553.....

5270669021 : MAJOR ELECTRICAL ENGINEERING

KEYWORDS: CMOS RING OSCILLATOR / THRESHOLD VOLTAGE

NATTANICH KIATTIMANEERATANA : A DESIGN OF THRESHOLD VOLTAGE INDEPENDENT LOW POWER CMOS RING OSCILLATOR FOR REAL TIME CLOCK APPLICATION. ADVISOR : ASSOC. PROF. EKACHAI LEELARASMEE, Ph.D., 77 pp.

This thesis presents the design of a CMOS ring oscillator that generates a triangular waveform with accurate and constant frequency but does not require a quartz crystal. The circuit is intended for real time clock application. This designed oscillator uses the principle of charging a capacitor with a constant current and discharging it with switch alternatively. The CMOS ring oscillator consists of 3-stage amplifiers in series connection. Each stage uses an NMOS to drive a current source and a 1pF capacitor. The current source is designed to depend on the threshold voltage to make the frequency independent of threshold voltage. To verify the analysis, the designed oscillation frequency is compared with simulated frequency using HSPICE and Layout Program in 0.35 micron CMOS technology. The result shows that the circuit can generate the desired frequency with ±0.1% error. Experimental results show that the circuit can operate from 2.5 to 3.3V. The circuit consumes an average power up to 5.08µW at 3.3V power supply and 27 °C.



Department:.....Electrical Engineering. Student's Signature.....*นัตถนิช คุ้มกัน*.....*เอกชัย เล็ลลารสมีย์*
Field of Study:Electrical Engineering. Advisor's Signature.....*เอกชัย เล็ลลารสมีย์*
Academic Year: 2010.....

กิตติกรรมประกาศ

วิทยานิพนธ์ฉบับนี้ สำเร็จลุล่วงไปได้ด้วยความช่วยเหลืออย่างดียิ่งของรองศาสตราจารย์ ดร.เอกชัย ลีลาวัศม์ อาจารย์ที่ปรึกษาวิทยานิพนธ์ ซึ่งท่านได้ให้คำแนะนำ ข้อคิดเห็นต่างๆ และ กำลังใจในการทำวิทยานิพนธ์และงานวิจัยด้วยดีตลอดมา

ขอขอบคุณจุฬาลงกรณ์มหาวิทยาลัยที่ให้ความรู้และประสบการณ์ดีๆ ทั้งทางด้านวิชาการ ด้านสังคมและอื่นๆ แก่ข้าพเจ้า

ขอขอบคุณ บริษัท ซิลิคอน คราฟต์ เทคโนโลยี จำกัด ที่เอื้อเฟื้อโปรแกรมให้ใช้งานสำหรับการทำวิทยานิพนธ์ ขอขอบคุณ พี่ไพโรจน์ ศิรินามารัตนะ ที่สอนการใช้โปรแกรมต่างๆ ให้ คำปรึกษาในการออกแบบวงจร ตลอดจนเอื้อเฟื้ออุปกรณ์ในการทดสอบวงจรรวม

นอกจากนี้ยังมีเพื่อนๆ พี่ๆ และน้องๆ ในห้องปฏิบัติการวิจัยการออกแบบและประยุกต์ วงจรรวม (IDAR) ที่คอยห่วงใย ให้ความช่วยเหลือ ตลอดจนคำแนะนำ มิตรภาพและความรู้สึที่ดีๆ ที่มีให้กันมาโดยตลอด

สุดท้ายนี้ ข้าพเจ้าใคร่ขอกราบขอบพระคุณ บิดา-มารดา อันเป็นที่เคารพรัก ที่คอยดูแล เอาใจใส่ และให้กำลังใจแก่ข้าพเจ้าด้วยดีตลอดมา

ศูนย์วิทยทรัพยากร
จุฬาลงกรณ์มหาวิทยาลัย

สารบัญ

	หน้า
บทคัดย่อภาษาไทย	ง
บทคัดย่อภาษาอังกฤษ	จ
กิตติกรรมประกาศ.....	ฉ
สารบัญ.....	ช
สารบัญตาราง.....	ญ
สารบัญภาพ.....	ฎ
บทที่ 1 บทนำ.....	1
1.1 แนวเหตุผลในการทำวิทยานิพนธ์	1
1.2 วัตถุประสงค์ของการวิจัย.....	3
1.3 ขอบเขตของการวิจัย	3
1.4 วิธีดำเนินการวิจัย	4
1.5 ประโยชน์ที่คาดว่าจะได้รับ.....	4
1.6 ลำดับขั้นตอนในการเสนอผลการวิจัย.....	4
บทที่ 2 ความรู้พื้นฐานและหลักการที่เกี่ยวข้อง	6
2.1 มอสเฟต.....	6
2.1.1 สมบัติแรงดันกระแสของมอสเฟต.....	6
2.1.2 ความจุแฝงภายในมอสเฟต	8
2.2 วงจรสะท้อนกระแส (Current Mirror).....	9
2.2.1 วงจรสะท้อนกระแสแบบคาสโคด (Cascode Current Mirror)	11
2.3 เงื่อนไข Barkhausen ของวงจรรอสซิลเลเตอร์รูปไซน์.....	11
2.4 วงจรรอสซิลเลเตอร์รูปไซน์แบบวงแหวน 3 ภาค	13

2.5	ออสซิลเลเตอร์แบบควบคุมความถี่ด้วยผลึก (Crystal controlled Oscillators) และความแม่นยำของผลึกควอทซ์.....	16
2.6	สรุปท้ายบท.....	19
บทที่ 3	วงจรออสซิลเลเตอร์รูปสามเหลี่ยมแบบวงแหวน 3 ภาค	20
3.1	วงจรพื้นฐานในอุดมคติ	20
3.2	ผลของความกว้างของทรานซิสเตอร์.....	22
3.3	วงจรออสซิลเลเตอร์รูปสามเหลี่ยมแบบวงแหวน 3 ภาคแบบมีวงจรมีวอร์มอัพเฟอ์มกัณ (CMOS Inverting Buffer 3-Stage Ring Oscillator)	26
3.4	วงจรออสซิลเลเตอร์รูปสามเหลี่ยมแบบวงแหวน 3 ภาคแบบมีวงจรมีวอร์มอัพเฟอ์มกัณ (CMOS Inverting Amplifier 3-Stage Ring Oscillator).....	29
3.5	การลดผลของความยาวช่องนำกระแสโดยใช้วงจรมีวอร์มอัพเฟอ์มกัณแบบคาสโคด	32
3.5.1	วงจรออสซิลเลเตอร์รูปสามเหลี่ยมแบบวงแหวน 3 ภาคแบบมีวงจรมีวอร์มอัพเฟอ์มกัณ	33
3.5.2	วงจรออสซิลเลเตอร์รูปสามเหลี่ยมแบบวงแหวน 3 ภาคแบบมีวงจรมีวอร์มอัพเฟอ์มกัณ	35
3.6	วงจรมีวอร์มอัพเฟอ์มกัณของแรงดันขีดเริ่มเปลี่ยน (Threshold Voltage Compensated Current Generator)	38
3.7	สรุปท้ายบท.....	40
บทที่ 4	ผลการจำลองการทำงานของวงจร.....	41
4.1	ผลการจำลองการทำงานของวงจรมีวอร์มอัพเฟอ์มกัณของแรงดันขีดเริ่มเปลี่ยน.....	41
4.2	ผลการจำลองการทำงานของวงจรออสซิลเลเตอร์รูปสามเหลี่ยมแบบวงแหวน 3 ภาคแบบคาสโคดเมื่อใช้กระแสจากวงจรมีวอร์มอัพเฟอ์มกัณของแรงดันขีดเริ่มเปลี่ยน	42
4.2.1	ผลการจำลองของวงจรออสซิลเลเตอร์รูปสามเหลี่ยมแบบวงแหวน 3 ภาคแบบมีวงจรมีวอร์มอัพเฟอ์มกัณ	43

4.2.2 ผลการจำลองของวงจรออสซิลเลเตอร์รูปสามเหลี่ยมแบบวงแหวน 3 ภาค แบบมีวงจรมายแยกกัน	48
4.3 ผลของอุณหภูมิ	53
4.4 ผลของแรงดันไฟเลี้ยง	54
4.5 สรุปท้ายบท.....	55
บทที่ 5 การวาดลายวงจร.....	56
5.1 การวาดลายวงจรของวงจรออสซิลเลเตอร์ที่ออกแบบ.....	57
5.2 ผลการจำลองการทำงานของการทำงานของการวาดลายวงจรของวงจรออสซิลเลเตอร์ที่ออกแบบ	60
5.3 การหาขนาดจำกัดของแรงดันไฟเลี้ยงที่ควรใช้ในวงจรออสซิลเลเตอร์ที่ออกแบบ ...	62
5.4 สรุปท้ายบท.....	64
บทที่ 6 ข้อสรุปและข้อเสนอแนะ.....	65
6.1 สรุป.....	65
6.1.1 วงจรจุดชนวนของชmitt (Schmitt Trigger)	66
6.1.2 การออกแบบวงจรหารความถี่และการหาพลังงานของวงจรหารความถี่	67
6.1.3 การออกแบบวงจรมับและวงจรถอดรหัส (Counter and Decoder Circuit)	71
6.1.4 การหาค่าพลังงานทั้งหมดของวงจรแอนะล็อกและวงจรถิจิตัล.....	72
6.2 ข้อเสนอแนะ.....	72
รายการอ้างอิง.....	73
ภาคผนวก.....	75
ประวัติผู้เขียนวิทยานิพนธ์.....	77

สารบัญตาราง

หน้า

ตารางที่ 1-1 เปรียบเทียบค่าต่างๆของวงจรมลิกควอทซ์ วงจร Ring และเป้าหมาย (Target) ของวงจรถูกออกแบบ.....	3
ตารางที่ 2-1 ค่าความจุแฝงทั้งหมดที่เกิดขึ้นในมอสเฟต	8
ตารางที่ 2-2 เปรียบเทียบค่าต่างๆของแต่ละชนิดของมลิกควอทซ์	18
ตารางที่ 3-1 เปอร์เซนต์ความผิดพลาด และค่าความถี่ที่เกิดขึ้นที่ค่า W ต่างๆของ NMOS ของวงจรถูกออกแบบพื้นฐานโดยละเอียดผลของตัวเก็บประจุไม่เชิงเส้นที่เกิดจาก NMOS.....	25
ตารางที่ 3-2 เปอร์เซนต์ความผิดพลาด และค่าความถี่ที่เกิดขึ้นที่ค่า W ต่างๆของ NMOS ของวงจรถูกออกแบบพื้นฐานโดยคิดผลของตัวเก็บประจุไม่เชิงเส้นที่เกิดจาก NMOS	26
ตารางที่ 3-3 เปอร์เซนต์ความผิดพลาดและค่าความถี่ที่เกิดขึ้นที่ค่า W ต่างๆของ NMOS ของวงจรถูกออกแบบมีวงจรมัลติเพล็กซ์โดยคิดผลของตัวเก็บประจุไม่เชิงเส้นที่เกิดจาก NMOS	29
ตารางที่ 3-4 เปอร์เซนต์ความผิดพลาดและค่าความถี่ที่เกิดขึ้นที่ค่า W ต่างๆของ NMOS ของวงจรถูกออกแบบมีวงจรมัลติเพล็กซ์โดยคิดผลของตัวเก็บประจุไม่เชิงเส้นที่เกิดจาก NMOS	31
ตารางที่ 4-1 ขนาดทรานซิสเตอร์ของวงจรถดเชยผลของแรงดันขีดเริ่มเปลี่ยน.....	42
ตารางที่ 4-2 ขนาดทรานซิสเตอร์ของวงจรถดเชยผลของแรงดันขีดเริ่มเปลี่ยนแบบวงแหวน 3 ภาค.....	43

สารบัญภาพ

หน้า

รูปที่ 2-1 สัญลักษณ์แสดงแรงดันของ NMOS และ PMOS	6
รูปที่ 2-2 ตัวเก็บประจุที่เกิดขึ้นในมอสเฟต.....	8
รูปที่ 2-3 ค่าความจุแฝงที่มีผลต่อการออกแบบวงจรในแต่ละย่านการทำงานของมอสเฟต	9
รูปที่ 2-4 วงจรสะท้อนกระแสเบื้องต้นของมอสเฟตชนิด NMOS และ PMOS	10
รูปที่ 2-5 การต่อคาสโคดของวงจรสะท้อนกระแสอย่างง่ายของมอสเฟตชนิด PMOS	11
รูปที่ 2-6 ขั้นตอนการออสซิลเลตเมื่อเทียบกับเวลาของวงจรถูกปรับกลับแบบลบ	12
รูปที่ 2-7 วงจรออสซิลเลเตอร์แบบวงแหวน 3 ภาคที่ใช้ความต้านทานเป็นโหลด.....	13
รูปที่ 2-8 แบบจำลองเชิงเส้นของวงจรออสซิลเลเตอร์แบบวงแหวน 3 ภาค.....	14
รูปที่ 2-9 ตำแหน่งของโพลในกรณีที่มีค่าต่างๆ.....	15
รูปที่ 2-10 วงจรกำเนิดสัญญาณความถี่โดยใช้ผลึกควอตซ์	16
รูปที่ 3-1 วงจรพื้นฐานของออสซิลเลเตอร์รูปสามเหลี่ยมแบบวงแหวน 3 ภาคในอุดมคติ.....	20
รูปที่ 3-2 สัญญาณแรงดันของวงจรออสซิลเลเตอร์รูปสามเหลี่ยมแบบวงแหวน 3 ภาคในอุดมคติ	20
รูปที่ 3-3 สัญญาณแรงดันขาออก V_3 ที่ได้จากการจำลองการทำงานของวงจรในรูปที่ 3-1 เมื่อใช้ $W_n = 3.5 \mu\text{m}$ โดยละเลยผลของตัวเก็บประจุไม่เชิงเส้นที่เกิดจาก NMOS	22
รูปที่ 3-4 สัญญาณแรงดันขาออก V_3 ที่ได้จากการจำลองการทำงานของวงจรในรูปที่ 3-1 เมื่อใช้ $W_n = 3500 \mu\text{m}$ โดยละเลยผลของตัวเก็บประจุไม่เชิงเส้นที่เกิดจาก NMOS	23
รูปที่ 3-5 สัญญาณแรงดันขาออก V_3 ที่ได้จากการจำลองการทำงานของวงจรในรูปที่ 3-1 เมื่อใช้ $W_n = 3.5 \mu\text{m}$ และ $W_n = 3500 \mu\text{m}$ โดยละเลยผลของตัวเก็บประจุไม่เชิงเส้นที่เกิดจาก NMOS	23
รูปที่ 3-6 ผลของ W ของทรานซิสเตอร์ที่เกิดจากวงจรรูปที่ 3-1 โดยละเลยผลของตัวเก็บประจุไม่เชิงเส้นที่เกิดจาก NMOS	24

รูปที่ 3-7 ผลของ W ของทรานซิสเตอร์ที่เกิดจากวงจรรูปที่ 3-1 โดยคิดผลของตัวเก็บประจุไม่เชิงเส้นที่เกิดจาก NMOS	25
รูปที่ 3-8 วงจรออสซิลเลเตอร์รูปสามเหลี่ยมแบบวงแหวน 3 ภาคแบบมีวงจรมัลติเพล็กซ์ 27	27
รูปที่ 3-9 วงจรพิกัดแบบพื้นฐาน	27
รูปที่ 3-10 ความสัมพันธ์ระหว่างแรงดันขาเข้า (V_{I_1}) กับแรงดันขาออก (V_{X_2}) ของวงจรมัลติเพล็กซ์แบบเอาแหล่งกำเนิดกระแสเป็นโหลด	28
รูปที่ 3-11 ผลของ W ของทรานซิสเตอร์ที่เกิดจากวงจรรูปที่ 3-8 โดยคิดผลของตัวเก็บประจุไม่เชิงเส้นที่เกิดจาก NMOS	29
รูปที่ 3-12 วงจรออสซิลเลเตอร์รูปสามเหลี่ยมแบบวงแหวน 3 ภาคแบบมีวงจรมัลติเพล็กซ์ 30	30
รูปที่ 3-13 ผลของ W ของทรานซิสเตอร์ที่เกิดจากวงจรรูปที่ 3-12 โดยคิดผลของตัวเก็บประจุไม่เชิงเส้นที่เกิดจาก NMOS	31
รูปที่ 3-14 เปรียบเทียบผลของ W ของทรานซิสเตอร์ที่เกิดขึ้นในวงจรมัลติเพล็กซ์ทั้ง 3 แบบโดยคิดผลของตัวเก็บประจุไม่เชิงเส้นที่เกิดจาก NMOS	32
รูปที่ 3-15 ความสัมพันธ์ระหว่างความยาวช่องนำกระแสกับความถี่ของวงจรมัลติเพล็กซ์รูปสามเหลี่ยมแบบวงแหวน 3 ภาคแบบมีวงจรมัลติเพล็กซ์ที่ไม่ได้ต่อแบบคาสโคด	33
รูปที่ 3-16 การต่อคาสโคดของวงจรมัลติเพล็กซ์รูปสามเหลี่ยมแบบวงแหวน 3 ภาคแบบมีวงจรมัลติเพล็กซ์เพื่อเชื่อมกับการต่อคาสโคดของวงจรสะท้อนกระแส	34
รูปที่ 3-17 ความสัมพันธ์ระหว่างความยาวช่องนำกระแสกับความถี่ของวงจรมัลติเพล็กซ์ที่ต่อแบบคาสโคดดังรูปที่ 3-16.....	34
รูปที่ 3-18 เปรียบเทียบผลของความยาวช่องนำกระแสที่เกิดขึ้นระหว่างการต่อวงจรมัลติเพล็กซ์เป็นแบบพื้นฐานกับแบบคาสโคดของวงจรมัลติเพล็กซ์แบบมีวงจรมัลติเพล็กซ์.....	35
รูปที่ 3-19 ความสัมพันธ์ระหว่างความยาวช่องนำกระแสกับความถี่ของวงจรมัลติเพล็กซ์รูปสามเหลี่ยมแบบวงแหวน 3 ภาคแบบมีวงจรมัลติเพล็กซ์ที่ไม่ได้ต่อแบบคาสโคด	36

รูปที่ 3-20 การต่อคาสโคดของวงจรรอสซิลเลเตอร์รูปสามเหลี่ยมแบบวงแหวน 3 ภาคแบบมี วงจรมายายผกผันเพื่อเชื่อมกับการต่อคาสโคดของวงจระสะท้อนกระแส	36
รูปที่ 3-21 ความสัมพันธ์ระหว่างความยาวช่องนำกระแสกับความถี่ของวงจรรอสซิลเลเตอร์ที่ต่อ แบบคาสโคดดังรูปที่ 3-20.....	37
รูปที่ 3-22 เปรียบเทียบผลของความยาวช่องนำกระแสที่เกิดขึ้นระหว่างการต่อวงจระสะท้อนกระแส เป็นแบบพื้นฐานกับแบบคาสโคดของวงจรรอสซิลเลเตอร์แบบมีวงจรมายายผกผัน	37
รูปที่ 3-23 วงจรกำเนิดกระแสที่แปรตาม V_{TH} จ่ายกระแสไปยังวงจรรูปที่ 3-16 และรูปที่ 3-20 โดย ได้ชุดเซตผลของความยาวช่องนำกระแส.....	38
รูปที่ 4-1 แผนภาพโดยรวมของวงจรมายายผกผันสัญญาณความถี่.....	41
รูปที่ 4-2 ผลของความต้านทานต่อแรงดันที่ซอสของ M3a	42
รูปที่ 4-3 โครงสร้างของวงจรรอสซิลเลเตอร์รูปสามเหลี่ยมแบบวงแหวน 3 ภาคแบบมีวงจ บัพเฟอร์ผกผันที่ใช้ในการจำลองการทำงาน	43
รูปที่ 4-4 สัญญาณแรงดันเดรน-ซอสของทรานซิสเตอร์ M4 (เส้นประ) กับสัญญาณแรงดันเดรน- ซอสของทรานซิสเตอร์ M5 (เส้นทึบ)	45
รูปที่ 4-5 สัญญาณแรงดันเดรน-ซอสของทรานซิสเตอร์ M5 (เส้นทึบ) กับสัญญาณแรงดันขาออก V_1 (เส้นประ)	45
รูปที่ 4-6 สัญญาณแรงดันเดรน-ซอสของทรานซิสเตอร์ M4 (เส้นประ) กับสัญญาณแรงดันขาออก V_3 (เส้นทึบ).....	46
รูปที่ 4-7 กระแสที่เกิดขึ้นของวงจรมายายผกผันแบบพื้นฐาน (เส้นทึบ) กับแรงดันเดรน-ซอสของ ทรานซิสเตอร์ M4 (เส้นประ).....	47
รูปที่ 4-8 โครงสร้างของวงจรรอสซิลเลเตอร์รูปสามเหลี่ยมแบบวงแหวน 3 ภาคแบบมีวงจรมายาย ผกผันที่ใช้ในการจำลองการทำงาน.....	48
รูปที่ 4-9 สัญญาณแรงดันเดรน-ซอสของทรานซิสเตอร์ M4 (เส้นทึบ) กับสัญญาณแรงดันเดรน- ซอสของทรานซิสเตอร์ M5 (เส้นประ)	49

รูปที่ 4-10 สัญญาณแรงดันแตรน-ซอสของทรานซิสเตอร์ M5 (เส้นประ) กับสัญญาณแรงดันขาออก V_1 (เส้นทึบ).....	50
รูปที่ 4-11 สัญญาณแรงดันแตรน-ซอสของทรานซิสเตอร์ M4 (เส้นทึบ) กับสัญญาณแรงดันขาออก V_3 (เส้นประ).....	50
รูปที่ 4-12 สัญญาณแรงดันขาออก (V_3) ของวงจรออสซิลเลเตอร์พื้นฐานที่ได้จากการจำลองการทำงานของวงจรในรูปที่ 3-1 เมื่อใช้ W_n เท่ากับ 3.5 ไมโครเมตร	52
รูปที่ 4-13 สัญญาณแรงดันขาออก (V_3) ของวงจรออสซิลเลเตอร์รูปสามเหลี่ยมแบบวงแหวน 3 ภาคแบบมีวงจรมายแยกผันที่ได้จากการจำลองการทำงานของวงจรในรูปที่ 4-8 เมื่อใช้ W_n เท่ากับ 3.5 ไมโครเมตร	52
รูปที่ 4-14 ความสัมพันธ์ระหว่างอุณหภูมิกับความถี่ของวงจรออสซิลเลเตอร์รูปสามเหลี่ยมแบบวงแหวน 3 ภาคแบบมีวงจรมายแยกผัน	53
รูปที่ 4-15 ความสัมพันธ์ระหว่างแรงดันไฟเลี้ยงกับความถี่ของวงจรออสซิลเลเตอร์รูปสามเหลี่ยมแบบวงแหวน 3 ภาคแบบมีวงจรมายแยกผัน	54
รูปที่ 5-1 สัญลักษณ์ของวงจรออสซิลเลเตอร์ 3 ภาคที่รับกระแสจากวงจรชดเชยผลของแรงดันขีดเริ่มเปลี่ยน	57
รูปที่ 5-2 ผังวงจรของวงจรออสซิลเลเตอร์ที่ออกแบบ.....	57
รูปที่ 5-3 การวาดลายวงจรใน 1 ภาคของวงจรออสซิลเลเตอร์ที่ออกแบบ.....	58
รูปที่ 5-4 การสกัดข้อมูลจากลายวงจรใน 1 ภาคของวงจรออสซิลเลเตอร์ที่ออกแบบ.....	59
รูปที่ 5-5 การวาดลายวงจรของวงจรออสซิลเลเตอร์ที่ออกแบบทั้ง 3 ภาค	59
รูปที่ 5-6 ผลการจำลองการทำงานของการวาดลายวงจรของวงจรรูปที่ 5-1	61
รูปที่ 5-7 สัญญาณแรงดันขาออกที่ได้จากการจำลองการทำงานของการวาดลายวงจรของวงจรออสซิลเลเตอร์ที่ออกแบบ	61
รูปที่ 5-8 ความสัมพันธ์ระหว่างอุณหภูมิกับความถี่ที่ได้จากการจำลองการทำงานของการวาดลายวงจรของวงจรออสซิลเลเตอร์ที่ออกแบบ	62

รูปที่ 5-9 ผังวงจรของวงจรชดเชยผลของแรงดันขีดเริ่มเปลี่ยน..... 62

รูปที่ 5-10 สัญญาณแรงดันไฟเลี้ยงกับค่ากระแสของวงจรชดเชยผลของแรงดันขีดเริ่มเปลี่ยน 63

รูปที่ 5-11 ค่ากระแสของวงจรชดเชยผลของแรงดันขีดเริ่มเปลี่ยน..... 63

รูปที่ 6-1 แผนภาพโดยรวมของวงจรกำเนิดสัญญาณนาฬิกาให้กับวงจรรนาฬิกาเวลาจริง 65

รูปที่ 6-2 วงจรจุดขนวนของซิมิตต์ 67

รูปที่ 6-3 ความสัมพันธ์ระหว่างแรงดันขาเข้า (V_G) กับแรงดันขาออก (V_o) 67

รูปที่ 6-4 วงจรนับแบบอะซิงโครนัส 68

รูปที่ 6-5 ผังวงจรของวงจรหารความถี่ที่ใช้ในการจำลองการทำงานของโปรแกรมวาดลายวงจร . 69

รูปที่ 6-6 วงจรขยายของรูปที่ 6-5 69

รูปที่ 6-7 ส่วนประกอบภายในของวงจรฟลิปฟลอป..... 69

รูปที่ 6-8 ผลการจำลองการทำงานของวงจรหารความถี่ 70

รูปที่ 6-9 แผนภาพของวงจรรนาฬิกา 71

บทที่ 1

บทนำ

1.1 แนวเหตุผลในการทำวิทยานิพนธ์

วงจรมหาพีคาเวลาจริง (Real Time Clock) หรือ RTC เป็นวงจรมหาพีคาเน็ดสัญญาณเวลาทีสามารถเก็บข้อมูลด้านเวลาต่างๆได้แก่ วันเดือนปี และเวลา โดยทั่วไปจะพบวงจรมหาพีคาเวลาจริงในคอมพิวเตอร์เพื่อแสดงเวลาให้ผู้ใช้ได้อย่างสะดวก และง่ายตาย นอกจากนี้วงจรมหาพีคาเวลาจริงสามารถพบได้มากในวงจรมิเล็กทรอนิกส์อีกด้วย เพื่อใช้เป็นวงจรมหาพีคาเน็ดสัญญาณเวลาให้กับวงจรมิเล็กทรอนิกส์ วงจรมหาพีคาเวลาจริงส่วนมากจะใช้ผลึกควอทซ์ (Crystal) เป็นตัวกำเนิดสัญญาณความถี่ 32.768 กิโลเฮิร์ตซ์ [1] เพราะมีความแม่นยำสูง แต่มีข้อเสียดตรงทีผลึกควอทซ์มีขนาดใหญ่ไม่สามารถนำไปใส่รวมในแผงวงจรรวมได้ จึงได้มีการออกแบบวงจรมหาพีคาเน็ดสัญญาณความถี่แบบใหม่โดยใช้ซี-มอสเฟต (Complementary Metal-Oxide-Semiconductor, C-MOSFET) ขึ้นซึ่งจะมีข้อดีตรงทีมีขนาดเล็กทำให้สามารถนำไปใส่รวมในแผงวงจรรวมได้ ดังนั้นวิทยานิพนธ์ฉบับนี้จึงนำเสนอโครงสร้างของวงจรมหาพีคาเน็ดสัญญาณความถี่ให้กับวงจรมหาพีคาเวลาจริงโดยใช้ซี-มอสเฟตขึ้นแทนผลึกควอทซ์

จากทีได้กล่าวไปแล้วในตอนต้นจะเห็นว่าวงจรมหาพีคาเน็ดสัญญาณความถี่โดยใช้ผลึกควอทซ์ได้ถูกนำมาใช้อย่างแพร่หลายในช่วงแรกๆก่อนทีจะมีการพัฒนางวงจรมหาพีคาเน็ดสัญญาณนาพีคาแบบใช้ซีมอสเฟตขึ้นมา โดยจะยกตัวอย่างเปรียบเทียบค่าต่างๆของผลึกควอทซ์ และวงจรมหาพีคาเน็ดสัญญาณนาพีคาแบบใช้เทคโนโลยีซี-มอสเฟตทีได้ถูกพัฒนามา แสดงดังตารางที 1-1 [2] นอกจากนี้ค่าต่างๆทีได้ถูกพัฒนาขึ้นมาโดยได้ยกตัวอย่างในตารางที 1-1 แล้วยังมีบริษัททีนำมาผลิตขายจริง เช่น บริษัท Maxim [3] โดยบริษัท Maxim นี้ได้ผลิตวงจรมหาพีคาเน็ดสัญญาณความถี่ทั้งแบบทีใช้ผลึกควอทซ์ และแบบทีใช้เทคโนโลยีซี-มอสเฟต โดยในแบบทีใช้ผลึกควอทซ์ แผงวงจรรวมทีขายโดยทั่วไปนั้นจะเป็นวงจรมหาพีคาเวลาจริงทีมีวงจรมหาพีคาเน็ดสัญญาณความถี่แบบใช้ผลึกควอทซ์รวมอยู่ด้วย ซึ่งจะกินกระแสในช่วงการเก็บเวลาต่ำสุดประมาณ 250 nA จะเห็นว่าวงจรมหาพีคาเน็ดกระแสแบบใช้ผลึกควอทซ์จะกินกระแสน้อยมากทีเป็นเช่นนี้เพราะว่าเป็นช่วงทีวงจรมหาพีคาเน็ดยังไม่ทำงาน หรือกล่าวได้ว่าเป็นช่วงทีรอคำสั่ง ดังนั้นจึงนำมาเปรียบเทียบกับแบบทีใช้เทคโนโลยีซี-มอสเฟตทีออกแบบไม่ได้แต่ทีนำมากล่าวถึงเพราะว่าบริษัทส่วนมากมักจะทำบอค่าพลังงานทีน้อยซึ่งเป็นค่าทีวงจรมหาพีคาเน็ดไม่สามารถทำงานได้ และเวลาทีใช้ในการเริ่มต้นทำงานจะใช้เวลานานกว่าวงจรมหาพีคาเน็ดแบบใช้เทคโนโลยีซี-มอสเฟตจะใช้เวลาในการเริ่มต้นทำงานเร็วกว่าวงจรมหาพีคาเน็ดกระแสแบบใช้ผลึกควอทซ์

มาก และจะได้ว่าแบบที่ใช้เทคโนโลยีซี-มอสเฟตส่วนมากจะออกมาขายเฉพาะวงจรถ้าเนติ สัญญาณความถี่อย่างเดียว โดยจะกินกระแสประมาณ $13\mu\text{A}$ โดยจะเป็นค่ากระแสตอนที่วงจรถ่างานแล้ว ดังนั้นวงจรถ้าเนติสัญญาณความถี่ที่นำเสนอในวิทยานิพนธ์นี้จึงได้พัฒนาออกแบบให้กินกระแสต่ำกว่าค่าที่ได้กล่าวมาในข้างต้น

งานวิจัยที่ทำมาก่อนหน้ามีดังนี้ ออกแบบวงจรรอสซิลเลเตอร์รูปสามเหลี่ยมเพื่อชดเชยผลของอุณหภูมิ [4] โดยวงจรมีจะใช้วิธีควบคุมแรงดันเพื่อให้ความถี่ที่ได้มีค่าคงที่ โดยมีช่วงความถี่ที่ใช้ได้เท่ากับ 0.3-5 เมกะเฮิรตซ์ และมีความผิดพลาดเมื่ออุณหภูมิเปลี่ยนไปเท่ากับ 3.33 เปอร์เซ็นต์ โดยใช้เทคโนโลยี 0.35 ไมครอน และยังมีกรออกแบบวงจรรอสซิลเลเตอร์รูปสามเหลี่ยมอย่างแพร่หลายซึ่งได้ชดเชยผลของกระบวนการผลิต อุณหภูมิ ในเทคโนโลยีที่หลากหลาย โดยได้เปรียบเทียบค่าต่างๆใน [5]

วิทยานิพนธ์นี้ได้นำเสนอการออกแบบวงจรถ้าเนติสัญญาณความถี่โดยใช้ซี-มอสเฟตขึ้นโดยทำมาจากวงจรรอสซิลเลเตอร์แบบวงแหวนซึ่งจะให้กำเนิดสัญญาณรูปสามเหลี่ยมที่มีความถี่คงที่ และแม่นยำโดยไม่ต้องใช้ผลึกควอตซ์ โดยใช้หลักการอัดประจุด้วยกระแสคงที่ และคายประจุด้วยสวิตช์สลับกันไป วงจรรอสซิลเลเตอร์แบบวงแหวนที่นำเสนอนี้ประกอบด้วยวงจรถ้าเนติสัญญาณ 3 ภาค (Stage) ต่อพ่วงกันเป็นวงแหวน (Ring) แต่ละภาคใช้ NMOS ขับแหล่งกำเนิดกระแส และตัวเก็บประจุ หาก NMOS ทำงานในภาวะอิ่มตัว (Saturation) อัตราขยายวงรอบ (Loop Gain) ที่ความถี่ต่ำของทั้ง 3 ภาค รวมกัน จะมีค่าสูงกว่า 1 มาก จึงไม่สามารถใช้เงื่อนไขการกำเนิดสัญญาณรูปซายน์ขนาดเล็กที่เรียกว่า Barkhausen Criteria [6] มาวิเคราะห์หาความถี่ของการแกว่ง (Oscillation) ได้ การวิเคราะห์ในวิทยานิพนธ์นี้จึง ประมาณว่า NMOS ทำงานในภาวะ OFF กับ ON (หรือ Deep Triode)

เนื่องจากความถี่ที่เกิดจากวงจรรอสซิลเลเตอร์แบบวงแหวนนั้นมีค่าขึ้นกับค่าของแรงดันขีดเริ่มเปลี่ยน (Threshold Voltage) โดยค่าของแรงดันขีดเริ่มเปลี่ยนจะขึ้นกับกระบวนการเจือสาร (Fabrication Process) และอุณหภูมิ [7] ดังนั้นแหล่งกำเนิดกระแสที่ใช้จะมีขนาดขึ้นกับแรงดันขีดเริ่มเปลี่ยน (Voltage Threshold Compensator Circuit) ซึ่งสามารถชดเชยผลของส่วนกำเนิดสัญญาณทำให้ความถี่ไม่แปรตามแรงดันขีดเริ่มเปลี่ยนได้ และสุดท้ายนำสัญญาณขาออกที่ได้จากวงจรรอสซิลเลเตอร์มาผ่านวงจรถ้าเนติของชมิทต์ (Schmitt trigger Circuit) เพื่อแปลงสัญญาณรูปคลื่นสามเหลี่ยมให้เป็นสัญญาณรูปคลื่นสี่เหลี่ยม ผลการทดสอบโดยสร้างวงจรถ้าเนติเทคโนโลยีระดับ 0.35 ไมครอน ให้กำเนิดความถี่ 32.768 kHz

ตารางที่ 1-1 เปรียบเทียบค่าต่างๆของวงจรมล็ด็ควอทซ์ วงจร Ring และเป้าหมาย (Target) ของวงจรร็ออกแบบ

	Conventional Oscillators		Target
Implementation	Off-Chip	On-Chip	On-Chip
Oscillation Type	Xtal	Ring	Ring
Frequency	1kHz- 100MHz	10MHz- 1GHz	32kHz- 1MHz
Freq. variation	1-100ppm	$\pm 5\%$	$< \pm 1\%$
Current	$10\mu A -$ $100mA$	$10\mu A -$ $100mA$	$80nA -$ $1\mu A$
Size	$< 5cm^3$	$0.01mm^2$	$< 5\mu m^2$

1.2 วัตถุประสงค์ของการวิจัย

1. ศึกษาวงจรร็มอสออสซิลเลเตอร์รูปสามเหลี่ยมแบบวงแหวน 3 ภาค เพื่อใช้เป็นวงจรร็กำเนิดสัญญาณความถี่ให้กับวงจรร็นาฬิกาเวลาจริงโดยไม่ใช้มล็ด็ควอทซ์
2. ออกแบบโครงสร้างของวงจรร็มอสออสซิลเลเตอร์รูปสามเหลี่ยมแบบวงแหวน 3 ภาคชนิดใหม่ ที่รวมวงจรร็ชดเชยผลของแรงดันขั้ดเริ่มเปลี่ยนและลดผลของความยาวขั้ของนำกระแส (λ)
3. ออกแบบวงจรร็นาฬิกาเวลาจริงที่กินพลังงานต่ำโดยใช้วงจรร็มอสออสซิลเลเตอร์แบบวงแหวนที่พัฒนาขึ้น
4. ออกแบบวงจรร็ Layout ในส่วนของวงจรร็มอสออสซิลเลเตอร์

1.3 ขอบเขตของการวิจัย

1. นำเสนอวงจรร็มอสออสซิลเลเตอร์รูปสามเหลี่ยมแบบวงแหวน 3 ภาคแบบคาสโคดที่มีภาคบั้เฟอร์และวงจรร็สร้างกระแสที่แปรตามแรงดันขั้ดเริ่มเปลี่ยนเพื่อสร้างสัญญาณความถี่ให้กับวงจรร็นาฬิกาเวลาจริงโดยชดเชยผลของแรงดันขั้ดเริ่มเปลี่ยนและผลของความยาวขั้ของนำกระแส โดยใช้เทคโนโลยี 0.18 μm หรือ 0.35 μm ทหรานซิสเตอร์
2. ออกแบบวงจรร็มอสออสซิลเลเตอร์ตามข้อ 1 ที่ให้กำเนิดสัญญาณความถี่ 32.768 kHz $\pm 2\%$ และกินกำลังงานไม่เกิน 10 μW
3. ใช้โปรแกรม H-spice ในการจำลองวงจรร็และทดสอบ

4. ออกแบบวงจรนับและวงจรถอดรหัสและประมาณกำลังสูญเสีย
5. ออกแบบวงจร Layout ในส่วนของวงจรซีมอสออสซิลเลเตอร์

1.4 วิธีดำเนินการวิจัย

1. ศึกษาโปรแกรม H-spice ในการจำลองวงจร
2. ศึกษาวงจรซีมอสออสซิลเลเตอร์รูปสามเหลี่ยมแบบวงแหวน 3 ภาค
3. ศึกษาวงจรชดเชยผลของแรงดันขีดเริ่มเปลี่ยนและวงจรจุดขนวนของซิมิตต์
4. ทดสอบวงจรชดเชยผลของแรงดันขีดเริ่มเปลี่ยนและวงจรจุดขนวนของซิมิตต์
5. ออกแบบและทดสอบวงจรซีมอสออสซิลเลเตอร์รูปสามเหลี่ยมแบบวงแหวน 3 ภาค เพื่อชดเชยความผิดพลาดเนื่องจากขนาดของทรานซิสเตอร์ NMOS
6. ออกแบบและทดสอบวงจรซีมอสออสซิลเลเตอร์รูปสามเหลี่ยมแบบวงแหวน 3 ภาค โดยชดเชยผลของแรงดันขีดเริ่มเปลี่ยนและผลของความยาวช่องนำกระแส
7. เขียน CODE VHDL เพื่อหาค่าพลังงานที่ใช้คร่าว ๆ ของวงจรรูปภาพเวลาจริง
8. ออกแบบและทดสอบ วงจรให้กำเนิดสัญญาณความถี่โครงสร้างใหม่
9. ออกแบบวงจร Layout ในส่วนของวงจรซีมอสออสซิลเลเตอร์

1.5 ประโยชน์ที่คาดว่าจะได้รับ

1. ได้รับความรู้เกี่ยวกับภาษา SPICE
2. ได้รับความรู้เกี่ยวกับภาษา VHDL
3. ได้รับความรู้เกี่ยวกับการออกแบบวงจร Layout
4. ได้รับความรู้เกี่ยวกับวงจรชดเชยผลของแรงดันขีดเริ่มเปลี่ยนและวงจรจุดขนวนของซิมิตต์
5. เรียนรู้วิธีการทำงานของวงจรซีมอสออสซิลเลเตอร์รูปสามเหลี่ยมแบบวงแหวน 3 ภาค
6. เรียนรู้วิธีการออกแบบและทดสอบวงจรรวม

1.6 ลำดับขั้นตอนในการเสนอผลการวิจัย

วิทยานิพนธ์ฉบับนี้แบ่งการนำเสนอเนื้อหาออกเป็น 6 บท ได้แก่ บทที่ 1 เป็นบทนำซึ่งกล่าวถึงที่มาและความสำคัญของวิทยานิพนธ์ วัตถุประสงค์ ขอบเขต และวิธีการดำเนินงานวิจัย รวมทั้งประโยชน์ที่คาดว่าจะได้รับ บทที่ 2 กล่าวถึงความรู้พื้นฐานและหลักการต่างๆ ที่เกี่ยวข้องซึ่งจะถูกนำมาใช้ในวิทยานิพนธ์นี้ ตลอดงานวิจัยที่ได้มีผู้ศึกษามาก่อน บทที่ 3 กล่าวถึงวงจรออสซิลเลเตอร์รูปสามเหลี่ยมแบบวงแหวน 3 ภาคพื้นฐาน การจำลองการทำงานในกรณีอุดมคติ และกรณีไม่อุดมคติ วิธีการแก้ไขผลความกว้างของทรานซิสเตอร์ของวงจรที่จะเกิดเมื่อวงจรทำงาน

ในกรณีไม่อุดมคติโดยเสนอรายละเอียดของการตัดแปลงวงจรภาคแอนะล็อกรวมถึงวิธีการคำนวณต่างๆ ได้แก่ พารามิเตอร์ที่จะนำมาใช้ในการออกแบบวงจรและค่ากำลังไฟฟ้าของวงจร บทที่ 4 จะแสดงผลการจำลองการทำงานของวงจรที่ได้ออกแบบโดยจะจำลองการทำงานโดยใช้โปรแกรม H-spice บทที่ 5 กล่าวถึงรายละเอียดการออกแบบเพื่อวาดลายวงจรโดยจะวาดลายวงจรในส่วนของวงจรแอนะล็อกซึ่งประกอบด้วยวงจรออสซิลเลเตอร์รูปสามเหลี่ยมแบบวงแหวน 3 ภาคที่ออกแบบ โดยจะวาดลายวงจรด้วยมือ และวัดขนาดของวงจรที่ผ่านการวาดลายวงจรในส่วนนี้ออกมาด้วย บทที่ 6 กล่าวถึงสรุปผลงานวิจัย และข้อเสนอแนะในการพัฒนาต่อไป โดยได้วัดค่ากำลังงานที่ใช้ของวงจรหาความถี่ซึ่งเป็นวงจรควบคุมภาคดิจิทัลโดยใช้โปรแกรมวาดลายวงจร ซึ่งจะถูกวาดด้วยโปรแกรมช่วยในการสร้างลายอัตโนมัติ



ศูนย์วิทยทรัพยากร
จุฬาลงกรณ์มหาวิทยาลัย

$$\text{จะได้ } I_D = 0$$

ช่วง Triode :

$$\text{เมื่อ } V_{GS} > V_{TH} \text{ และ } V_{DS} < V_{GS} - V_{TH}$$

$$\text{จะได้ } I_D = \mu_n C_{ox} \frac{W}{L} \left[(V_{GS} - V_{TH}) V_{DS} - \frac{1}{2} V_{DS}^2 \right] (1 + \lambda) \quad (2-1)$$

ช่วง Saturation :

$$\text{เมื่อ } V_{GS} > V_{TH} \text{ และ } V_{DS} > V_{GS} - V_{TH}$$

$$\text{จะได้ } I_D = \frac{1}{2} \mu_n C_{ox} \frac{W}{L} (V_{GS} - V_{TH})^2 (1 + \lambda V_{DS}) \quad (2-2)$$

เมื่อ $C_{ox} = \frac{\epsilon_{ox}}{t_{ox}}$ (F/cm²), ϵ_{ox} คือค่าอัตราความจุกระแสไฟฟ้า (Permittivity) ของซิลิกอนไดออกไซด์ (F/cm), t_{ox} คือ ค่าความหนาของชั้นเกตออกไซด์ (cm), μ_n คือ ความสามารถในการเคลื่อนที่ (Mobility) ของอิเล็กตรอน (cm²/V-s), W/L = อัตราส่วนความกว้างต่อความยาวของมอสเฟต (aspect ratio)

พิจารณา PMOS จะได้

ช่วง off :

$$\text{เมื่อ } V_{GS} > V_{TH}$$

$$\text{จะได้ } I_D = 0$$

ช่วง Triode :

$$\text{เมื่อ } V_{GS} < V_{TH} \text{ และ } V_{DS} > V_{GS} - V_{TH}$$

$$\text{จะได้ } I_D = -\mu_p C_{ox} \frac{W}{L} \left[(V_{GS} - V_{TH}) V_{DS} - \frac{1}{2} V_{DS}^2 \right] (1 + \lambda) \quad (2-3)$$

ช่วง Saturation :

$$\text{เมื่อ } V_{GS} < V_{TH} \text{ และ } V_{DS} < V_{GS} - V_{TH}$$

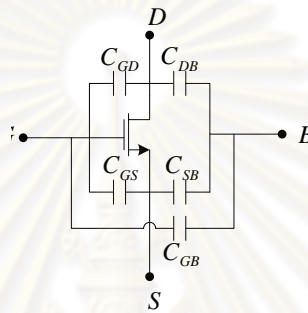
$$\text{จะได้ } I_D = -\frac{1}{2} \mu_p C_{ox} \frac{W}{L} (V_{GS} - V_{TH})^2 (1 + \lambda V_{DS}) \quad (2-4)$$

เมื่อ μ_p คือ ความสามารถในการเคลื่อนที่ (Mobility) ของโฮล (cm²/V-s) และ ค่าของ V_{GS} , V_{DS} , V_{TH} , V_{OD} และ I_D มีค่าเป็นลบ

จากสมการย่านการทำงานในช่วง Triode และในช่วง Saturation ของมอสเฟตทั้งสองชนิดจะเห็นว่าผลของความยาวช่องนำกระแส (λ) มีผลต่อย่านการทำงานของมอสเฟตทั้งสองด้วย

2.1.2 ความจุแฝงภายในมอสเฟต

ในวงจรแอนะล็อกทั่วไป ตัวเก็บประจุที่เกี่ยวข้องกับอุปกรณ์จำเป็นต้องนำมาพิจารณาด้วย สำหรับการออกแบบวงจร โดยตัวเก็บประจุที่จะกล่าวถึงนี้เป็นตัวเก็บประจุแฝงที่เกิดขึ้นเองภายในมอสเฟต โดยตัวเก็บประจุแฝงนี้ [8] จะเกิดขึ้นในรอยต่อของทุก ๆ สองจากสี่ขั้วของมอสเฟตดังรูปที่ 2-2 โดยตัวเก็บประจุที่เกิดขึ้นนั้นเป็นตัวเก็บประจุที่ไม่เชิงเส้น ดังนั้นจึงเป็นค่าที่ไม่ต้องการให้เกิดขึ้นในการออกแบบวงจร และค่าความจุแฝงทั้งหมดที่เกิดขึ้นในมอสเฟตได้แสดงดังตารางที่ 2-1

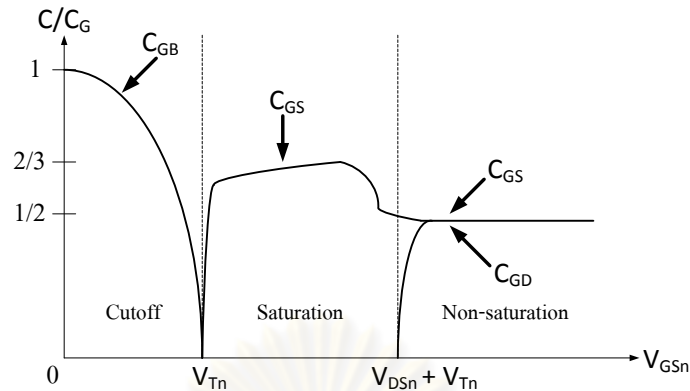


รูปที่ 2-2 ตัวเก็บประจุที่เกิดขึ้นในมอสเฟต

ตารางที่ 2-1 ค่าความจุแฝงทั้งหมดที่เกิดขึ้นในมอสเฟต

Name	Off	Triode	Saturation
Cgd	CGDO × W	1/2×WLC'ox	CGDO × W
Cdb	Cjd	Cjd	Cjd
Cgb	C'oxWLeff + CGBO×L	CGBO × L	CGBO × L
Cgs	CGSO × W	1/2×WLC'ox	2/3×WLC'ox
Csb	Cjs	Cjs	Cjs

จากตารางที่ 2-1 แสดงค่าความจุแฝงทั้งหมดที่เกิดขึ้นระหว่างขั้วของมอสเฟต โดยจะได้ว่าค่าความจุแฝงที่เกิดขึ้นสามารถเกิดได้ในทุกย่านการทำงานของมอสเฟต โดยค่าความจุแฝงที่เกิดขึ้นระหว่างขั้วของมอสเฟตบางค่ามีค่าน้อยมากจนสามารถละทิ้งได้ แต่มีบางค่าที่ไม่สามารถละทิ้งได้หรือกล่าวได้ว่ามีผลต่อการออกแบบวงจร ดังนั้นจึงสรุปค่าความจุแฝงที่มีผลต่อการออกแบบวงจรรออกมาแสดงเป็นกราฟดังรูปที่ 2-3 โดยจะพิจารณาในแต่ละย่านการทำงาน



รูปที่ 2-3 ค่าความจุแฝงที่มีผลต่อการออกแบบวงจรในแต่ละย่านการทำงานของมอสเฟต

คุณสมบัติของตัวเก็บประจุแฝงที่เกิดขึ้นในมอสเฟตมีดังนี้

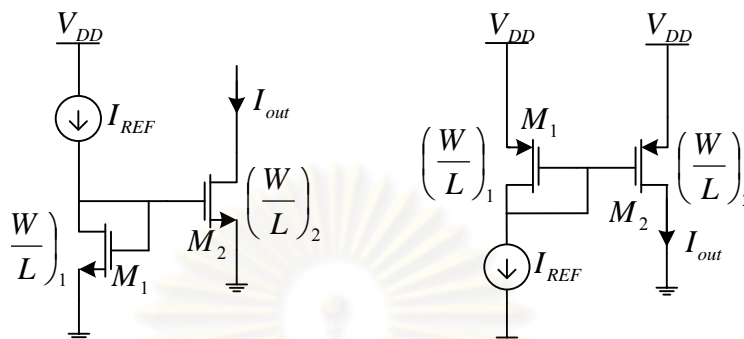
- จำกัดความเร็วในการทำงานของวงจร
- มีค่าเปลี่ยนแปลงไปตามแต่ละย่านการทำงานของมอสเฟต
- สามารถคำนวณได้จากขนาด และรูปร่างของมอสเฟต ค่าคงที่ของสารไดอิเล็กตริก (dielectric) ที่ใช้ทำเกต (Gate) และการโด๊ป (dope) สารเจือ
- มีขนาดแปรผันตรงกับขนาดของมอสเฟต

จากคุณสมบัติของตัวเก็บประจุแฝงที่เกิดขึ้นในมอสเฟตที่ได้กล่าวมานี้จะเห็นว่าตัวเก็บประจุแฝงจะมีค่าขึ้นกับขนาดของมอสเฟตโดยตรง และตัวเก็บประจุแฝงยังเปลี่ยนแปลงตามแรงดันที่ตกคร่อมอีกด้วย ดังนั้นในการออกแบบจึงต้องคำนึงถึงค่าตัวเก็บประจุแฝงที่เกิดขึ้นในมอสเฟตเพื่อที่จะไม่มีปัญหาในการออกแบบวงจร นอกจากนี้ยังมีตัวเก็บประจุอีกหนึ่งประเภทที่มักใช้ในวงจรแอนะล็อกทั่วไปโดยจะเป็นประเภทที่ต้องการนำมาใช้ นั่นคือตัวเก็บประจุเชิงเส้นซึ่งจะมีค่าไม่ขึ้นกับแรงดันที่ตกคร่อม ตัวเก็บประจุประเภทนี้มักนิยมนำมาใช้ในการออกแบบวงจรได้อย่างแพร่หลายอีกทั้งในบางวงจรยังสามารถช่วยลดผลของตัวเก็บประจุไม่เชิงเส้นได้อีกด้วย

2.2 วงจรสะท้อนกระแส (Current Mirror)

ในระบบสัญญาณแอนะล็อก วงจรสะท้อนกระแส คือ วงจรกำเนิดกระแสที่สามารถคัดลอกกระแสไฟฟ้าในสายอ้างอิงกับอีกสายที่ต้องการได้ ส่วนมากวงจรสะท้อนกระแสจะถูกใช้ในกรณีต้องการใช้กระแสที่มาจากแหล่งกำเนิดเดียวกัน เพื่อป้อนเข้าไปที่หลายๆส่วนของวงจร โดยกระแสที่ได้

ในแต่ละส่วนของวงจรจะไม่ผิดเพี้ยนไปจากเดิมซึ่งจะยึดกระแสไฟฟ้าในสายอ้างอิงเป็นตัวหลัก วงจรสะท้อนกระแสเบื้องต้นแสดงดังรูปที่ 2-4



รูปที่ 2-4 วงจรสะท้อนกระแสเบื้องต้นของมอสเฟตชนิด NMOS และ PMOS

หาความสัมพันธ์ของกระแสที่เกิดขึ้นในวงจรสะท้อนกระแสทั้งสองด้านโดยในที่นี้จะยกตัวอย่างของวงจรสะท้อนกระแสเบื้องต้นของมอสเฟตชนิด PMOS ดังแสดงในรูปที่ 2-4 ดังนั้นเขียนสมการได้ดังนี้

$$I_{ref} = -\frac{1}{2} \mu_p C_{OX} \left(\frac{W}{L} \right)_1 (V_{GS} - V_{TH})^2 (1 + \lambda V_{DS1}) \quad (2-5)$$

$$I_{out} = -\frac{1}{2} \mu_p C_{OX} \left(\frac{W}{L} \right)_2 (V_{GS} - V_{TH})^2 (1 + \lambda V_{DS2}) \quad (2-6)$$

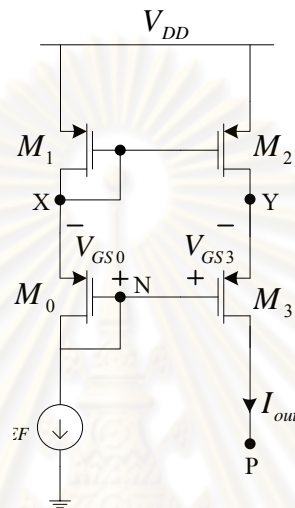
จากสมการที่ (2-5) และ (2-6) จะได้

$$\frac{I_{out}}{I_{ref}} = \frac{(W/L)_2}{(W/L)_1} \times \frac{1 + \lambda V_{DS2}}{1 + \lambda V_{DS1}} \quad (2-7)$$

จากสมการข้างต้นจะเห็นว่าค่าของความยาวช่องนำกระแสมีผลต่อวงจรสะท้อนกระแสเบื้องต้น ดังนั้นจึงได้ใช้วงจรสะท้อนกระแสแบบคาสโคดมาช่วยลดผลของความยาวช่องนำกระแสโดยจะกล่าวต่อไป

2.2.1 วงจรสะท้อนกระแสแบบคาสโคด (Cascode Current Mirror)

จากหัวข้อ 2.2 เมื่อพิจารณาสมการที่ (2-7) จะได้ว่าความยาวของนำกระแสมีผลต่อวงจรสะท้อนกระแสอย่างมากดังนั้นจึงใช้การต่อวงจรแบบคาสโคด (Cascode) เพื่อกำจัดผลของความยาวของนำกระแสทิ้งไป ดังแสดงในรูปที่ 2-5



รูปที่ 2-5 การต่อคาสโคดของวงจรสะท้อนกระแสอย่างง่ายของมอสเฟตชนิด PMOS

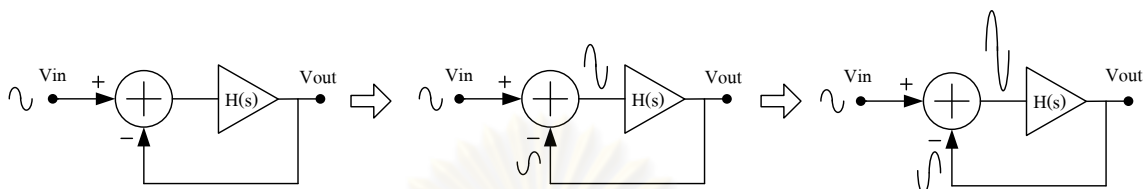
เมื่อต่อโหนด N ที่เกตของทรานซิสเตอร์ M3 ดังรูปที่ 2-5 จะได้ $V_X - |V_{GS0}| = V_Y - |V_{GS3}|$ เช่นนี้ถ้า $(W/L)_3/(W/L)_0 = (W/L)_2/(W/L)_1$ จะทำให้ $|V_{GS3}| = |V_{GS0}|$ และ $V_X = V_Y$ ดังนั้นจะได้ $V_{DS1} = V_{DS2}$ และเมื่อนำไปแทนในสมการที่ (2-7) จะทำให้สามารถกำจัดผลของความยาวของนำกระแสทิ้งไปได้โดยจะได้สมการใหม่ดังสมการที่ (2-8)

$$\frac{I_{out}}{I_{ref}} = \frac{(W/L)_2}{(W/L)_1} \quad (2-8)$$

2.3 เงื่อนไข Barkhausen ของวงจรออสซิลเลเตอร์รูปไซน์

ในหัวข้อนี้ [6] จะกล่าวถึงคุณสมบัติพื้นฐานของออสซิลเลเตอร์ ซึ่งจ่ายสัญญาณออกในลักษณะของรูปไซน์ ซึ่งทฤษฎีที่จะกล่าวถึงนี้ ใช้ได้กับออสซิลเลเตอร์สัญญาณรูปไซน์ทุกแบบ เมื่อวิเคราะห์การออสซิลเลตของวงจรซึ่งจะยกตัวอย่างขั้นตอนการออสซิลเลตเมื่อเทียบกับเวลาของการป้อนกลับแบบลบดังรูปที่ 2-6 โดยจะได้ว่าสัญญาณป้อนกลับของการป้อนกลับแบบลบนี้นี้ คือสัญญาณจำลองที่กลับเฟส (Invert) ของสัญญาณขาเข้า ซึ่งเมื่อนำสัญญาณป้อนกลับมาลบกับสัญญาณขาเข้า

จะได้สัญญาณที่มีขนาดใหญ่ขึ้น ดังนั้นวงจรจึงสามารถทำงานต่อเนื่องโดยการนำกลับมาสร้างใหม่ได้ โดยสัญญาณที่ได้จะมีขนาดใหญ่ขึ้นจนออกสติกเลต และสำหรับวงจรมีการป้อนกลับแบบลบนี้จะมีการเลื่อนเฟส (Phase Shift) เท่ากับ 180 องศา



รูปที่ 2-6 ขั้นตอนการออกสติกเลตเมื่อเทียบกับเวลาของวงจรมีการป้อนกลับแบบลบ

หาค่าฟังก์ชันถ่ายโอน (Transfer Function) ของวงจรมีการป้อนกลับแบบลบ (Unity-Gain Negative Feedback Circuit) จากรูปที่ 2-6 ได้ดังนี้

$$\frac{V_{out}}{V_{in}}(s) = \frac{H(s)}{1 + H(s)} \quad (2-9)$$

จากสมการที่ (2-9) กำหนดให้ $s = j\omega_0$ และถ้า $H(j\omega_0) = -1$ จะได้ว่าค่าฟังก์ชันถ่ายโอนจะเข้าสู่ค่าอนันต์ที่ ω_0 ซึ่งไม่นิยาม ดังนั้นวงจรจะออกสติกเลตได้เมื่อเป็นไปตามเงื่อนไข 2 ข้อดังนี้

$$\text{เกณฑ์ของขนาด : } |H(j\omega_0)| \geq 1 \quad (2-10)$$

$$\text{เกณฑ์ของเฟส : } |\angle H(j\omega_0)| = 180^\circ \quad (2-11)$$

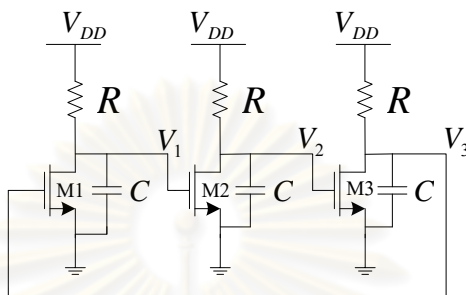
เมื่อ $H(j\omega_0)$ คือ อัตราขยายวงรอบ (Loop Gain) ของวงจรมีการออกสติกเลตเตอร์

จากสมการที่ (2-10) และสมการที่ (2-11) เป็นเงื่อนไขสำหรับการออกสติกเลตของการกำเนิดสัญญาณรูปไซน์ขนาดเล็กที่เรียกว่าเงื่อนไข Barkhausen (Barkhausen Criteria)

โดยทั่วไปส่วนการทำงานของวงจรมีการออกสติกเลตเตอร์จะอาศัยการป้อนกลับแบบบวก (Positive Feedback) ซึ่งทำให้สัญญาณที่ความถี่หนึ่งมีขนาดใหญ่ขึ้นจนสามารถให้กำเนิดสัญญาณความถี่นั้นได้เอง โดยสัญญาณขาออกที่ได้จะเป็นสัญญาณรายคาบซึ่งจะอยู่ในรูปแบบของแรงดัน ซึ่งจะใช้หลักการเดียวกับการป้อนกลับแบบลบดังที่ได้กล่าวไปแล้ว

2.4 วงจรออสซิลเลเตอร์รูปไซน์แบบวงแหวน 3 ภาค

ในหัวข้อนี้จะพิจารณาวงจรออสซิลเลเตอร์แบบวงแหวน 3 ภาคที่ให้กำเนิดสัญญาณรูปไซน์ [6] โดยจะพิจารณาดังต่อไปนี้



รูปที่ 2-7 วงจรออสซิลเลเตอร์แบบวงแหวน 3 ภาคที่ใช้ความต้านทานเป็นโหลด

จากวงจรในรูปที่ 2-7 คำนวณค่าอัตราขยายวงรอบในแต่ละภาคจะได้เท่ากับ $-\frac{A_0}{(1 + \frac{s}{\omega_0})}$

โดยในการคำนวณนี้จะละทิ้งผลของตัวเก็บประจุไม่เชิงเส้น ดังนั้นจะได้ค่าอัตราขยายวงรอบของทั้ง 3 ภาคมีค่าเท่ากับ

$$H(s) = -\frac{A_0^3}{(1 + \frac{s}{\omega_0})^3} \quad (2-12)$$

วงจรจะออสซิลเลตก็ต่อเมื่อความถี่ของการแกว่ง (Oscillation) ขึ้นกับการเลื่อนเฟสเท่ากับ 180 องศา ดังนั้นแต่ละภาคจะมีการเลื่อนเฟสเท่ากับ 60 องศา หาค่าความถี่ของการแกว่งที่เกิดขึ้นได้ ดังนี้

$$\tan^{-1} \frac{\omega_{osc}}{\omega_0} = 60^\circ \quad (2-13)$$

หรือ

$$\omega_{osc} = \sqrt{3}\omega_0 \quad (2-14)$$

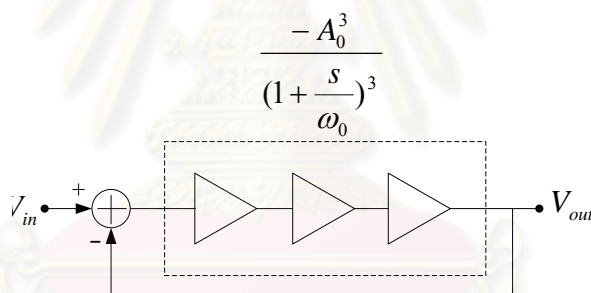
ขนาดของอัตราขยายวงรอบที่มีค่าน้อยที่สุดที่จะออสซิลเลตได้จะต้องมีค่าเท่ากับ 1 ดังนั้น จะ
ได้

$$\frac{A_0^3}{\left[\sqrt{1 + \left(\frac{\omega_{osc}}{\omega_0} \right)^2} \right]^3} = 1 \quad (2-15)$$

จากสมการที่ (2-14) กับ (2-15) จะได้

$$A_0 = 2 \quad (2-16)$$

ดังนั้นสรุปได้ว่าวงจรออสซิลเลเตอร์แบบวงแหวน 3 ภาคต้องการอัตราขยายของแต่ละภาคที่
ความถี่ต่ำเท่ากับ 2 แต่ถ้าจะพิจารณารณินี้ที่ $A_0 \neq 2$ จากเงื่อนไข Barkhausen จะได้ว่าถ้า $A_0 < 2$
วงจรจะไม่ออสซิลเลต แต่ถ้า $A_0 > 2$ จะเกิดผลดังต่อไปนี้



รูปที่ 2-8 แบบจำลองเชิงเส้นของวงจรออสซิลเลเตอร์แบบวงแหวน 3 ภาค

ค่าฟังก์ชันถ่ายโอน (Transfer Function) ของวงจรถูกแปลงแบบลบจากสมการที่ (2-9) เมื่อ
แทนค่าของสมการที่ (2-12) ลงไปดังแสดงในรูปที่ 2-8 ประกอบ จะได้

$$\frac{V_{out}}{V_{in}}(s) = \frac{-A_0^3}{(1 + s/\omega_0)^3} \quad (2-17)$$

$$= \frac{-A_0^3}{(1 + s/\omega_0)^3 + A_0^3} \quad (2-18)$$

คิดที่ตัวส่วน จะได้

$$\left(1 + \frac{s}{\omega_0}\right)^3 + A_0^3 = \left(1 + \frac{s}{\omega_0} + A_0\right) \left[\left(1 + \frac{s}{\omega_0}\right)^2 - \left(1 + \frac{s}{\omega_0}\right)A_0 + A_0^2\right] \quad (2-19)$$

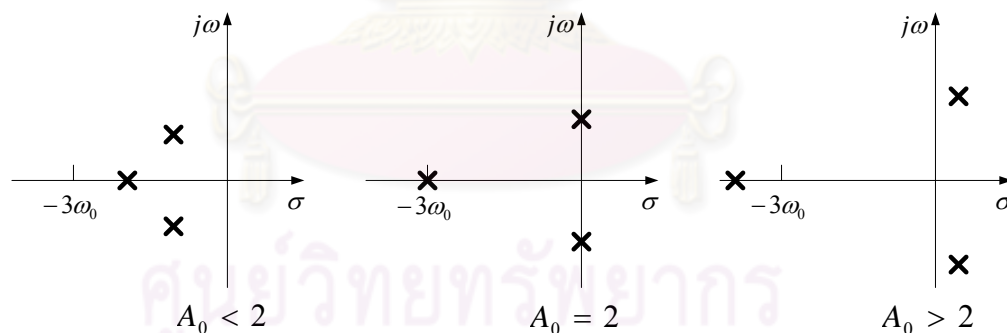
ดังนั้น จะได้โพล (poles) ทั้งหมด 3 โพลดังนี้

$$s_1 = (-A_0 - 1)\omega_0 \quad (2-20)$$

$$s_{2,3} = \left[\frac{A_0(1 \pm j\sqrt{3})}{2} - 1\right]\omega_0 \quad (2-21)$$

เมื่อค่าของ A_0 มีค่าเป็นบวก โพลแรกเมื่อพิจารณาในรูปของเอ็กซ์โพเนนเชียล (exponential) : $\exp[(-A_0 - 1)\omega_0 t]$ จะสามารถละทิ้งได้ในจุดอิมิตัว (Steady State) โดยจะแสดงตำแหน่งของโพลในกรณีที่มีค่าต่างๆ ในรูปที่ 2-9 ดังนั้นเมื่อละทิ้งผลของ s_1 จะได้

$$V_{out}(t) = a \exp\left(\frac{A_0 - 2}{2}\omega_0 t\right) \cos\left(\frac{A_0\sqrt{3}}{2}\omega_0 t\right) \quad (2-22)$$

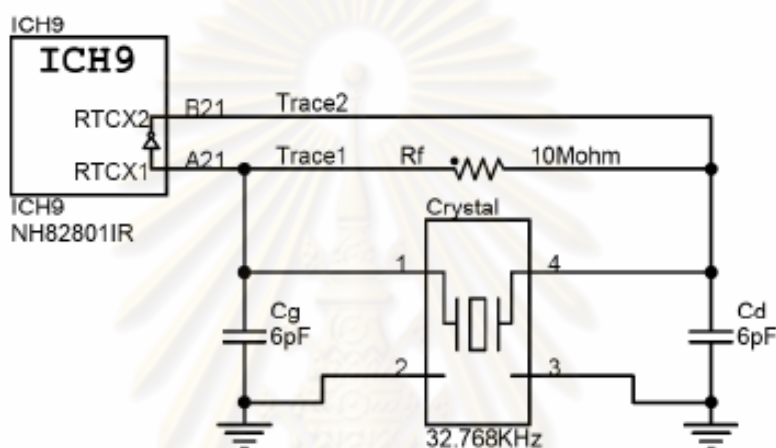


รูปที่ 2-9 ตำแหน่งของโพลในกรณีที่มีค่าต่างๆ

ดังนั้นจะได้ว่าถ้า $A_0 = 2$ สัญญาณที่ได้จะเป็นสัญญาณรูปไซน์พอดี แต่ถ้า $A_0 > 2$ สัญญาณที่ได้จะเริ่มไม่เป็นรูปไซน์ เพราะค่าของเอ็กซ์โพเนนเชียล จะมีค่าลู่เข้าสู่ค่าอนันต์ ดังนั้นในกรณีที่ $A_0 > 2$ จึงไม่สามารถพิจารณาโดยใช้เงื่อนไข Barkhausen ได้

2.5 ออสซิลเลเตอร์แบบควบคุมความถี่ด้วยผลึก (Crystal controlled Oscillators) และความแม่นยำของผลึกควอทซ์

วงจรรอสซิลเลเตอร์มีหลายแบบด้วยกันแต่ในที่นี้ได้นำมากล่าวเพียงแต่วงจรรอสซิลเลเตอร์แบบควบคุมความถี่ด้วยผลึก เพราะเนื่องจากวงจรรอสซิลเลเตอร์แบบควบคุมความถี่ด้วยผลึกนี้ได้ถูกใช้กันอย่างแพร่หลายสำหรับเป็นวงจรรำนำเนตสัญญาณความถี่ที่เป็นเช่นนี้เพราะก่อนผลึกมีความแม่นยำมาก โดยจะยกตัวอย่างวงจรรอสซิลเลเตอร์แบบควบคุมความถี่ด้วยผลึกดังรูปที่ 2-10 [1]



รูปที่ 2-10 วงจรรำนำเนตสัญญาณความถี่โดยใช้ผลึกควอทซ์

ก่อนผลึกที่จะใช้ในการควบคุมความถี่ [9] เราจะนิยมใช้ผลึกที่มีคุณสมบัติพิโซอิเล็กทริก (Piezoelectric crystals) มากกว่าผลึกควอทซ์ที่มีคุณสมบัติประเภทอื่น เช่น แมกนีโตสตริกตีฟ (Magneto-strictive) เพราะว่ามีความสะดวกในการใช้งานมากที่สุด โดยแผ่นผลึก (Crystal wafer) ที่พิโซอิเล็กทริกจะมีคุณสมบัติหลักคือ เมื่อผิวทั้งสองข้างของแผ่นผลึกถูกบีบหรืออัดด้วยแรงกล จะเกิดแรงดันไฟฟ้าตกคร่อมผิวทั้งสอง ปรากฏการณ์ดังกล่าวมักเกิดจากลักษณะการเรียงตัวของอะตอมในโครงสร้างของผลึก เมื่อมีแรงกดมาบีบหรืออัด จะทำให้อะตอมในโครงสร้างของผลึกมีการขยับตัวเล็กน้อย ทำให้มีความไม่สมดุลของประจุไฟฟ้าเกิดขึ้นในโครงสร้างของผลึก ซึ่งจะปรากฏผลลัพธ์เป็นแรงดันตกคร่อมผิวของแผ่นผลึก โดยค่าของแรงดันต่อหน่วยของแรงกลจะขึ้นอยู่กับชนิดของผลึกนั้นๆ

ค่าQ (Quality factor) [10] คือ ค่าประสิทธิภาพ สามารถคำนวณได้จากสูตรดังนี้ คือ

$$Q = \frac{f_0}{BW} \quad (2-23)$$

และ
$$BW = f_{c2} - f_{c1} = |f_{c1} - f_{c2}|, \quad (2.24)$$

$$f_0 = \sqrt{f_{c2} \times f_{c1}} \quad (2.25)$$

โดยที่ BW คือค่าของแถบความถี่ที่ต้องการให้ผ่าน, f_0 คือค่าของความถี่ศูนย์กลาง, f_{c1} คือค่าของความถี่ตัดด้านต่ำ, f_{c2} คือค่าความถี่ตัดด้านสูง

หรือเราออกแบบค่า BW และ f_0 โดยสามารถหาค่า f_{c1} และ f_{c2} ได้จากสูตรดังนี้ คือ

$$f_{c1} = \sqrt{\frac{BW^2}{4} + (f_0)^2} - \left(\frac{BW}{2}\right), \quad (2.26)$$

$$f_{c2} = f_{c1} + BW \quad (2.27)$$

สารพีโซอิเล็กทริกซึ่งเป็นคุณสมบัติของผลึกที่เราานิยมใช้ในการควบคุมความถี่ของออสซิลเลเตอร์มี 2 ประเภท คือ

1. ผลึกควอทซ์ (Quartz crystal) หรือ SiO_2 ในลักษณะของผลึก ซึ่งในปัจจุบันนี้เราจะไม่ใช้ผลึกควอทซ์จากธรรมชาติ เพราะมักจะมีจุดเสื่อมในโครงผลึก (Crystal defects) มาก ซึ่งจะมีผลทำให้ค่า Q ต่ำ แต่เราจะนิยมใช้ผลึกควอทซ์ที่ได้จากการสังเคราะห์แทน เพราะมีคุณภาพสูงและราคาถูก ทั้งยังใช้งานที่ความถี่สูงได้อีกด้วย

2. สารเซรามิก (หรือกระเบื้อง) บางชนิด เช่น PZT (Lead-Zirconate-Titanate) ซึ่งเมื่อได้ผ่านกระบวนการโพลิง (Poling) ที่ถูกต้อง คือ ผ่านสนามไฟฟ้า DC ณ อุณหภูมิสูง แล้วปล่อยให้เย็นลงภายใต้สนามไฟฟ้า DC นั้น จะมีคุณสมบัติเป็นสารพีโซอิเล็กทริกซึ่งจะมีราคาถูกกว่าผลึกควอทซ์มาก และมีประสิทธิภาพในการเปลี่ยนพลังงานกลไปเป็นพลังงานไฟฟ้าและเปลี่ยนพลังงานไฟฟ้ามาเป็นพลังงานกลสูงกว่าผลึกควอทซ์มากเช่นกัน แต่ค่า Q จะสู้ผลึกควอทซ์ไม่ได้ โดยเฉพาะที่ความถี่สูง

ดังนั้นในวงจรรักษาเวลาจริงส่วนมากจึงได้นิยมนำผลึกควอทซ์มาใช้ในการให้กำเนิดสัญญาณความถี่ โดยถ้าจัดจำพวกตามความแตกต่างของวิธีการควบคุมอุณหภูมิผลึกควอทซ์จะแบ่งตามความสามารถในการชดเชยอุณหภูมิโดยเรียงจากน้อยไปมากโดยมี 4 ชนิด [11] ดังนี้ SPXO (Simple Packaged Crystal Oscillator), TCXO (Temperature Compensation Crystal

Oscillator), OCXO (Oven Controlled Crystal Oscillator) และ DOCXO (Double Oven Controlled Crystal Oscillator) ตามลำดับ

การสั่นของผลึกควอตซ์คือส่วนประกอบที่สำคัญมากของการให้กำเนิดสัญญาณความถี่ โดยค่าความถี่ของผลึกควอตซ์ที่ได้นั้นจะขึ้นกับขนาดของผลึกควอตซ์ที่ใช้ โดยสามารถเขียนสมการแสดงความสัมพันธ์ได้ดังนี้

$$f_0 = \frac{2.7 \times 10^8}{L} \quad (2-28)$$

โดยที่

$$f_0 = \text{ความถี่เรโซแนนซ์ (เฮิรตซ์)}$$

$$L = \text{ขนาดของผลึกควอตซ์ (เมตร)}$$

จากสมการที่ 2-28 จะได้ว่าถ้ายิ่งขนาดของผลึกควอตซ์มีค่าน้อยเท่าไรหรือความถี่ของการสั่นของผลึกควอตซ์จะมีค่าเพิ่มขึ้นเท่านั้น

ตารางที่ 2-2 เปรียบเทียบค่าต่างๆของแต่ละชนิดของผลึกควอตซ์

	Quartz Oscillators		
	TCXO	MCXO	OCXO
Accuracy (sec per year)	2×10^{-6}	5×10^{-8}	1×10^{-8}
Temp. Stab. (sec/range, °C)	5×10^{-7} (-55 to +85)	3×10^{-8} (-55 to +85)	1×10^{-9} (-55 to +85)
Stability, $\sigma_y(\tau)$ ($\tau = 1s$)	1×10^{-9}	3×10^{-10}	1×10^{-12}
Size (cm^3)	10	30	20-200
Power (W)	0.04	0.04	0.6

ต่อมาจะกล่าวถึงคุณสมบัติของแต่ละชนิดของผลึกควอตซ์อย่างคร่าวๆ ดังนี้ เริ่มจาก SPXO เป็นชนิดที่ถูกใช้อย่างกว้างขวาง ไม่สามารถวัดโดยละทิ้งผลของอุณหภูมิบนการเปลี่ยนแปลงของ

ความถี่ได้ มีค่าคงตัว (stability) ของความถี่เท่ากับ $10^{-4} - 10^{-5}$ ซึ่งเป็นค่าที่ต่ำที่สุดในตระกูลของผลึกควอตซ์แต่มีราคาถูกที่สุด, TCXO สามารถชดเชยอุณหภูมิที่เป็นตัวรบกวนความถี่ของผลึกควอตซ์ได้ มีค่าคงตัวของความถี่เท่ากับ $10^{-6} - 10^{-7}$ และ OCXO มีค่าคงตัวของความถี่สูงที่สุด แสดงตารางเปรียบเทียบค่าต่างๆของแต่ละชนิดของผลึกควอตซ์ [11] ดังตารางที่ 2-2

2.6 สรุปท้ายบท

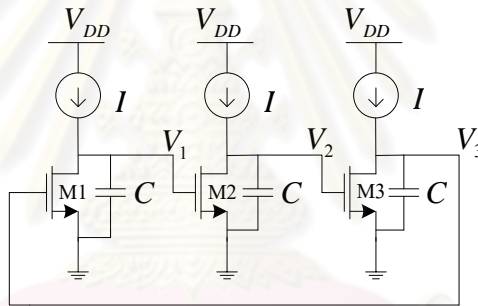
ในบทนี้กล่าวถึงทฤษฎีพื้นฐานที่เกี่ยวข้องกับวงจรรอสซิลเลเตอร์รูปสามเหลี่ยมแบบวงแหวน 3 ภาคซึ่ง ได้แก่ สัญลักษณ์ และสมบัติแรงดันกระแสในแต่ละย่านการทำงานของมอสเฟต รวมไปถึงผลของความยาวช่องนำกระแสที่เกิดขึ้น และได้อธิบายถึงหลักการของวงจระสะท้อนกระแสเบื้องต้นและการแก้ไขผลของความยาวช่องนำกระแสที่เกิดกับวงจระสะท้อนกระแสเบื้องต้นโดยการต่อวงจระแบบคาสโคด และกล่าวถึงเงื่อนไข Barkhausen ของวงจรรอสซิลเลเตอร์รูปไซน์ วงจรรอสซิลเลเตอร์รูปไซน์แบบวงแหวน 3 ภาค และในตอนท้ายได้กล่าวถึงงานวิจัยที่ได้มีผู้ศึกษามาก่อนหน้าซึ่งเกี่ยวกับความแม่นยำและการควบคุมความถี่ของผลึกควอตซ์

บทที่ 3

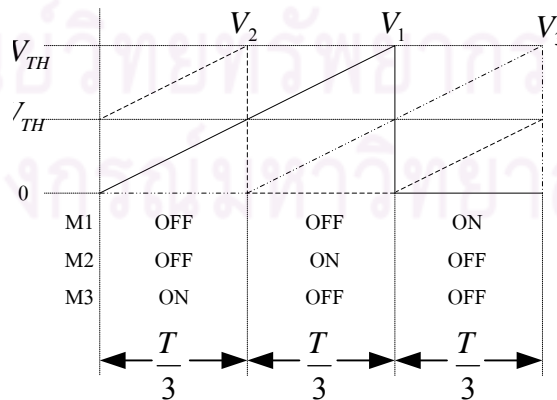
วงจรออสซิลเลเตอร์รูปสามเหลี่ยมแบบวงแหวน 3 ภาค

ในบทนี้จะกล่าวถึงวงจรออสซิลเลเตอร์รูปสามเหลี่ยมแบบวงแหวน 3 ภาค โดยจะเริ่มตั้งแต่การวิเคราะห์วงจรพื้นฐานในอุดมคติรวมไปถึงวงจรออสซิลเลเตอร์ที่นำเสนอในวิทยานิพนธ์นี้ซึ่งได้แก่วงจรออสซิลเลเตอร์รูปสามเหลี่ยมแบบวงแหวน 3 ภาคแบบมีวงจรบัฟเฟอร์ผกผัน และวงจรวงจรออสซิลเลเตอร์รูปสามเหลี่ยมแบบวงแหวน 3 ภาคแบบมีวงจรรขยายผกผัน และในตอนท้ายจะวิเคราะห์วงจรกำเนิดกระแสที่นำมาใช้

3.1 วงจรพื้นฐานในอุดมคติ



รูปที่ 3-1 วงจรพื้นฐานของออสซิลเลเตอร์รูปสามเหลี่ยมแบบวงแหวน 3 ภาคในอุดมคติ



รูปที่ 3-2 สัญญาณแรงดันของวงจรวงจรออสซิลเลเตอร์รูปสามเหลี่ยมแบบวงแหวน 3 ภาคในอุดมคติ

วงจรพื้นฐานของออสซิลเลเตอร์รูปสามเหลี่ยมแบบวงแหวน 3 ภาคแสดงดังรูปที่ 3-1 จะได้ว่า หาก NMOS ทำงานในภาวะอิ่มตัว (Saturation) อัตราขยายวงรอบ (Loop Gain) ที่ความถี่ต่ำของทั้ง 3 ภาครวมกันจะมีค่าเป็นอนันต์ ซึ่งมีค่าสูงกว่า 1 มาก จึงไม่สามารถใช้เงื่อนไขการกำเนิดสัญญาณรูปซายน์ขนาดเล็กที่เรียกว่าเงื่อนไข Barkhausen มาวิเคราะห์หาความถี่ของการแกว่งได้ ดังนั้นจึงได้วิเคราะห์สัญญาณขนาดใหญ่ดังที่จะกล่าวต่อไป

จากรูปที่ 3-1 ได้แสดงวงจรพื้นฐานของวงจรออสซิลเลเตอร์รูปสามเหลี่ยมแบบวงแหวน 3 ภาคโดยใช้หลักการอัดประจุด้วยกระแสคงที่ และคายประจุด้วยสวิตช์สลับกันไป ซึ่งจะประกอบด้วย วงจรขยายสัญญาณ 3 ภาค (Stage) ต่อพ่วงกันเป็นวงแหวน (Ring) แต่ละภาคใช้ NMOS ขับแหล่งกำเนิดกระแส และตัวเก็บประจุ ในสภาวะการออสซิลเลตแบบคงตัวจะวิเคราะห์ได้ว่า NMOS จะทำงานในสภาวะ ON พร้อมกันตั้งแต่ 2 ตัวขึ้นไปไม่ได้ เราจึงสรุปได้ว่าในช่วงเวลาหนึ่งคาบ (T) NMOS แต่ละตัวจะผลัดกัน ON เป็นเวลา $T/3$ ดังแสดงในรูปที่ 3-2 และแรงดันขาเข้าของ NMOS แต่ละตัวจะมีค่าเพิ่มขึ้นเป็นเส้นตรงแบบเชิงเส้นเริ่มจาก 0 โดยมีความชันเท่ากับ $\frac{I}{C}$ โดย NMOS แต่ละตัวจะเริ่ม ON เมื่อแรงดันขาเข้ามีค่าเท่ากับแรงดันขีดเริ่มเปลี่ยน (Threshold Voltage หรือ V_{TH}) และจะ OFF เมื่อแรงดันขาเข้ามีค่าเท่ากับสองเท่าของแรงดันขีดเริ่มเปลี่ยน ในขณะที่ NMOS ตัวหนึ่ง ON นั้น ตัวที่เหลือจะ OFF ทำให้ได้สัญญาณรูปสามเหลี่ยมแบบฟันเลื่อยที่มีคาบ T ตามสมการที่ (3-2)

$$\frac{I}{C} \times \frac{2T}{3} = 2V_{TH} \quad (3-1)$$

หรือ

$$T = \frac{3V_{TH}C}{I} \quad (3-2)$$

ดังนั้นความถี่ของออสซิลเลเตอร์จึงเท่ากับ

$$f = \frac{I}{3CV_{TH}} \quad (3-3)$$

เนื่องจากวงจรที่จะนำเสนอในวิทยานิพนธ์นี้ได้ออกแบบมาเพื่อให้กำเนิดสัญญาณความถี่ให้กับวงจรมอดูเลเตอร์ ดังนั้นความถี่ที่ได้จะต้องมีค่าเท่ากับ 32.768 กิโลเฮิรตซ์และออกแบบให้ตัว

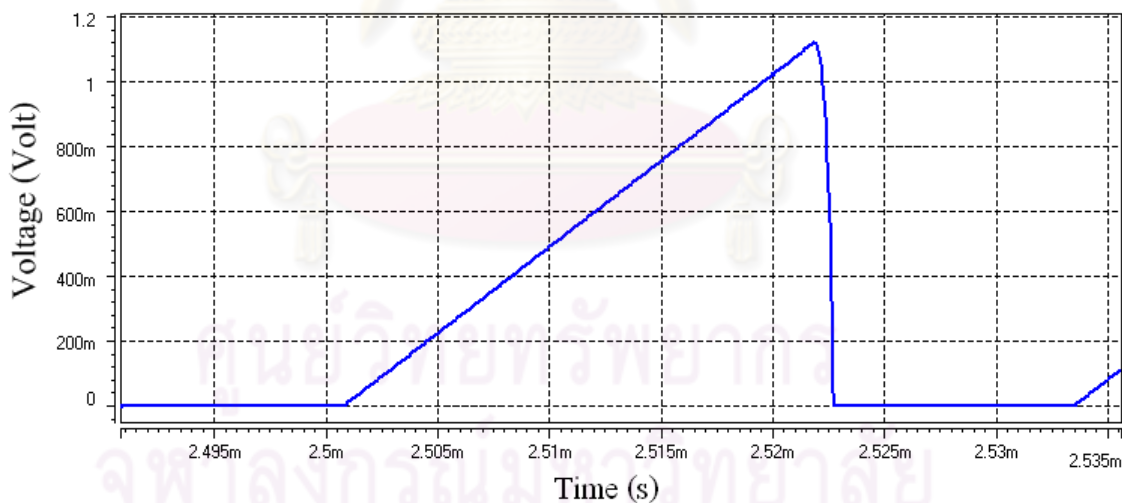
เก็บประจุ (C) มีค่าเท่ากับ 1 pF โดยจะใช้เทคโนโลยี 0.35 ไมครอน ดังนั้นแรงดันขีดเริ่มเปลี่ยน (V_{TH}) ที่นำมาใช้จะมีค่าเท่ากับ 0.55065 โวลต์ และนำค่าที่ออกแบบนี้มาแทนลงในสมการที่ (3-3) เพื่อคำนวณหาค่ากระแสที่จ่ายให้กับวงจรรอสซิลเลเตอร์ดังนี้

$$I = 3 \times (32.768 \text{ kHz}) \times (1 \text{ pF}) \times (0.55065) = 54.13 \text{ นาโนแอมป์}$$

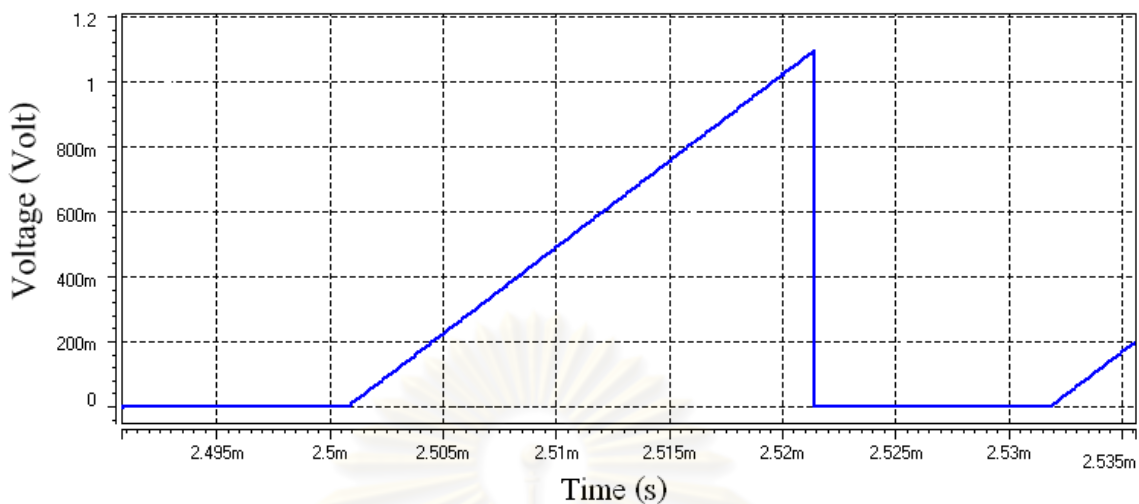
ดังนั้นค่ากระแสที่ใช้จ่ายให้กับวงจรรอสซิลเลเตอร์เพื่อให้กำเนิดสัญญาณความถี่ 32.768 กิโลเฮิร์ตซ์จะมีค่าเท่ากับ 54.13 นาโนแอมป์

3.2 ผลของความกว้างของทรานซิสเตอร์

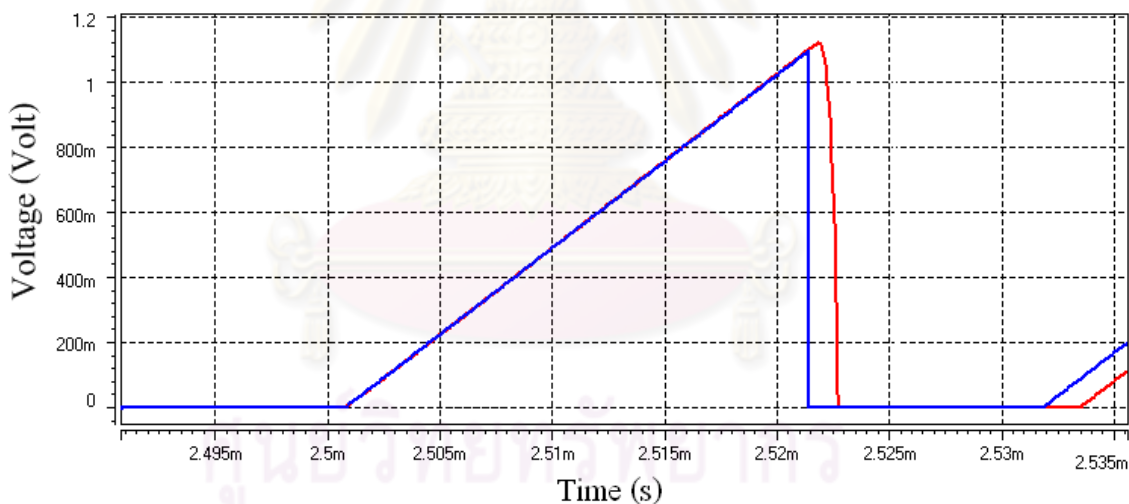
ในหัวข้อนี้จะกล่าวถึงการวิเคราะห์สัญญาณแรงดันที่ได้จากวงจรพื้นฐานของออสซิลเลเตอร์รูปสามเหลี่ยมแบบวงแหวน 3 ภาคที่แสดงในรูปที่ 3-1 ซึ่งจะวิเคราะห์ในกรณีที่วงจรมิเป็นอุดมคติ โดยผลที่ได้จะมีปัญหาเกิดขึ้นในกรณีที่ออกแบบให้ความกว้าง (W) ของ NMOS มีค่าน้อยคือ คาบของสัญญาณจากออสซิลเลเตอร์ที่เกิดขึ้นนั้น จะมากกว่าค่าตามสมการที่ (3-2) เล็กน้อย [12] เพราะตัวเก็บประจุ C ไม่สามารถคายประจุให้แรงดันตกจาก $2V_{TH}$ เป็น 0 ได้ทันทีดังแสดงในรูปที่ 3-3



รูปที่ 3-3 สัญญาณแรงดันขาออก V_3 ที่ได้จากการจำลองการทำงานของวงจรในรูปที่ 3-1 เมื่อใช้ $W_n = 3.5 \mu\text{m}$ โดยละเลยผลของตัวเก็บประจุไม่เชิงเส้นที่เกิดจาก NMOS



รูปที่ 3-4 สัญญาณแรงดันขาออก V_3 ที่ได้จากการจำลองการทำงานของวงจรรูปที่ 3-1 เมื่อใช้ $W_n = 3500 \mu m$ โดยละเอียดผลของตัวเก็บประจุไม่เชิงเส้นที่เกิดจาก NMOS



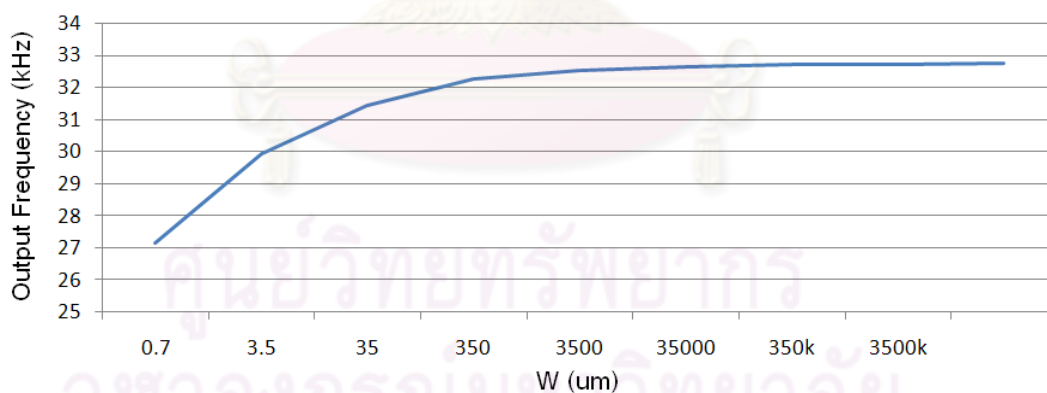
รูปที่ 3-5 สัญญาณแรงดันขาออก V_3 ที่ได้จากการจำลองการทำงานของวงจรรูปที่ 3-1 เมื่อใช้ $W_n = 3.5 \mu m$ และ $W_n = 3500 \mu m$ โดยละเอียดผลของตัวเก็บประจุไม่เชิงเส้นที่เกิดจาก NMOS

โดยกระแสที่คายประจุออกจากตัวเก็บประจุ C นั้น ได้มาจากกระแสของ NMOS ซึ่งแปรตาม W ของมัน ยิ่ง W มีค่าน้อยเท่าใดจะทำให้กระแสเดรนของ NMOS มีค่าน้อยลงตาม ทำให้ค่ากระแสเดรนดังกล่าวไม่มากพอที่จะทำให้สัญญาณแรงดันขาออกที่ได้ตกจาก $2V_{TH}$ เป็น 0 ทันที โดยจะเห็นว่า

ช่วงเวลาคาบประจุจะยิ่งกว้างขึ้น และในกรณีที่ทรานซิสเตอร์มีขนาดใหญ่ (ค่า W มาก) ค่าความต้านทานภายในของทรานซิสเตอร์จะน้อยทำให้ตัวเก็บประจุสามารถคายประจุได้เร็วขึ้นดังรูปที่ 3-4

ดังนั้นสัญญาณแรงดันที่ได้เมื่อพิจารณาช่วงคายประจุของทรานซิสเตอร์ขนาดใหญ่จึงมีความชันมากกว่าสัญญาณแรงดันที่ได้ในช่วงคายประจุของทรานซิสเตอร์ขนาดเล็ก และเปรียบเทียบสัญญาณแรงดันขาออก V_3 ที่ได้จากการจำลองการทำงานของวงจรในรูปที่ 3-1 เมื่อใช้ $W_n = 3.5 \mu\text{m}$ และ $W_n = 3500 \mu\text{m}$ โดยแสดงดังรูปที่ 3-5 ซึ่งทำให้เห็นความแตกต่างที่ได้อย่างชัดเจนของสัญญาณแรงดันที่ได้จากช่วงคายประจุของทรานซิสเตอร์ NMOS ที่ใช้ W ต่างกัน

เราจึงสรุปได้ว่าความถี่ของวงจรออสซิลเลเตอร์พื้นฐานที่ได้นี้ จึงมีค่าลดลงเมื่อ W มีค่าลดลง ดังแสดงในรูปที่ 3-6 และตารางที่ 3-1 ซึ่งจะแสดงค่าเปอร์เซ็นต์ความผิดพลาดของความถี่ที่ได้ในกรณีที่ W มีค่าต่างๆ เปรียบเทียบกับค่าความถี่ที่ออกแบบ โดยจะเห็นว่าหากต้องการให้ได้ความถี่ใกล้เคียงสมการที่ (3-3) จะต้องให้ W มีขนาดอย่างน้อย $3500 \mu\text{m}$ หรือ W/L มีค่ามากกว่า 5000 ซึ่งในการออกแบบเพื่อที่จะนำมาใช้งานจริงไม่สามารถออกแบบขนาดของทรานซิสเตอร์ให้มีค่ามากขนาดนี้ได้ โดยผลการจำลองการทำงานที่ได้ในกรณีข้างต้นนี้จะละเลยผลของตัวเก็บประจุไม่เชิงเส้นที่เกิดจาก NMOS

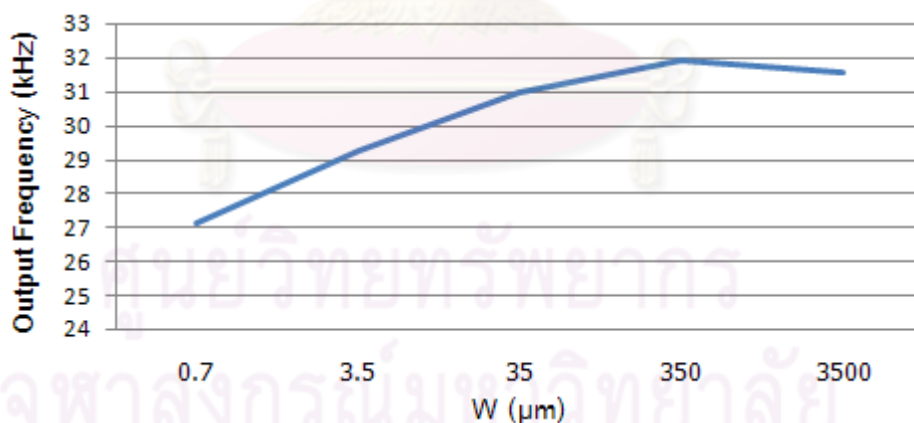


รูปที่ 3-6 ผลของ W ของทรานซิสเตอร์ที่เกิดจากวงจรรูปที่ 3-1 โดยละเลยผลของตัวเก็บประจุไม่เชิงเส้นที่เกิดจาก NMOS

ตารางที่ 3-1 เปรอ์เซ็นต์ความผิดพลาด และค่าความถี่ที่เกิดขึ้นที่ค่า W ต่างๆของ NMOS ของวงจร ออสซิลเลเตอร์พื้นฐานโดยละเอียดผลของตัวเก็บประจุไม่เชิงเส้นที่เกิดจาก NMOS

$W(\mu\text{m})$	Output Frequency (kHz)	ความผิดพลาด(%)
0.7	27.1518	17.13928223
3.5	29.2827	10.6362915
35	31.1526	4.92980957
350	32.0513	2.187194824
3500	32.4473	0.97869873

สุดท้ายนี้ได้แสดงผลการจำลองการทำงานของวงจรออสซิลเลเตอร์พื้นฐานวงจรเดิมแต่จะคิดผลของตัวเก็บประจุไม่เชิงเส้นที่เกิดจาก NMOS ด้วยโดยจะแสดงค่าความถี่ที่ได้เมื่อเปลี่ยนค่า W ต่างๆของ NMOS ดังรูปที่ 3-7 และตารางที่ 3-2 จะเห็นว่าเมื่อ W ของ NMOS มีค่าเพิ่มมากขึ้น สัญญาณความถี่ที่ได้จะมีค่าเพิ่มขึ้นและลดลง ที่เป็นเช่นนี้เพราะเกิดจากตัวเก็บประจุไม่เชิงเส้นที่เกิดขึ้นภายใน NMOS ซึ่งตัวเก็บประจุไม่เชิงเส้นที่เกิดภายในทรานซิสเตอร์จะแปรตามขนาดของทรานซิสเตอร์ของมัน จะได้ว่าเมื่อ W ของ NMOS เริ่มมีค่าเพิ่มขึ้นมากจนถึงค่าหนึ่งที่จะทำให้ตัวเก็บประจุไม่เชิงเส้นมีค่ามากจนมีผลต่อวงจร ดังนั้นความถี่ที่ได้จึงมีค่าลดลง ด้วยเหตุผลนี้เองจึงไม่นิยมออกแบบขนาดของทรานซิสเตอร์ให้มีขนาดใหญ่มาก



รูปที่ 3-7 ผลของ W ของทรานซิสเตอร์ที่เกิดจากวงจรรูปที่ 3-1 โดยคิดผลของตัวเก็บประจุไม่เชิงเส้นที่เกิดจาก NMOS

ตารางที่ 3-2 เปอร์เซ็นต์ความผิดพลาด และค่าความถี่ที่เกิดขึ้นที่ค่า W ต่างๆของ NMOS ของวงจร ออสซิลเลเตอร์พื้นฐานโดยคิดผลของตัวเก็บประจุไม่เชิงเส้นที่เกิดจาก NMOS

W(μm)	Output Frequency (kHz)	ความผิดพลาด(%)
0.7	27.1521	17.1383667
3.5	29.2827	10.6362915
35	31.009	5.368041992
350	31.9426	2.518920898
3500	31.6115	3.52935791

3.3 วงจรออสซิลเลเตอร์รูปสามเหลี่ยมแบบวงแหวน 3 ภาคแบบมีวงจรมัลติเฟอ์มกผัน (CMOS Inverting Buffer 3-Stage Ring Oscillator)

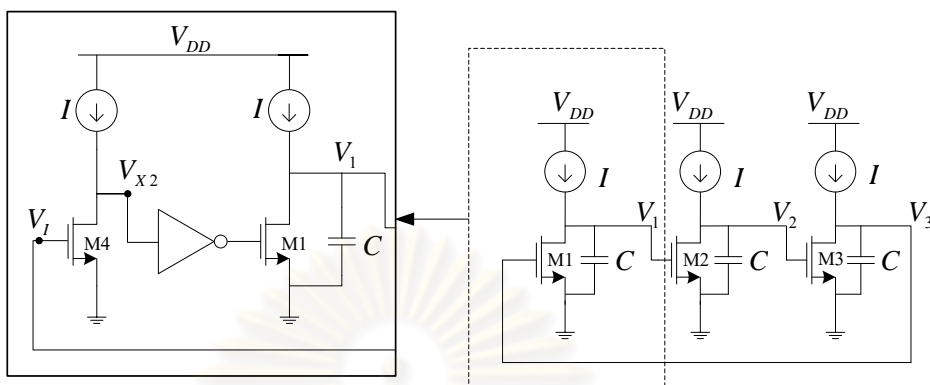
จากวงจรพื้นฐานของวงจรออสซิลเลเตอร์รูปสามเหลี่ยมแบบวงแหวน 3 ภาค จะเห็นว่ามี NMOS เพียงแค่หนึ่งตัวเท่านั้นที่ทำหน้าที่อัดประจุ และคายประจุในแต่ละภาค จึงทำให้เกิดปัญหาเมื่อ ออกแบบขนาดของทรานซิสเตอร์ไม่ใหญ่พอที่จะทำให้สัญญาณแรงดันที่ได้สามารถคายประจุให้ แรงดันตกจาก $2V_{TH}$ ลงมาที่ 0 ได้ทันที ดังนั้นจึงได้มีการดัดแปลงวงจรใหม่เรียกว่าวงจรออสซิลเลเตอร์ รูปสามเหลี่ยมแบบวงแหวน 3 ภาคแบบมีวงจรมัลติเฟอ์มกผัน โดยจะออกแบบจำนวนของ ทรานซิสเตอร์เพิ่มขึ้นเพื่อมาช่วยในการอัดประจุและคายประจุ ดังแสดงในรูปที่ 3-8 โดยจะดัดแปลง วงจรขยายแต่ละภาคโดยแทรกวงจรผกผันที่ประกอบด้วย วงจรผกผัน (Inverter) แบบเอาแหล่งกำเนิด กระแสเป็นโหลด กับ วงจรผกผันแบบพื้นฐานเข้าระหว่างสัญญาณแรงดันขาเข้ากับเกตของ NMOS ที่ ขั้วกระแส (I) และตัวเก็บประจุ (C) ซึ่งจะทำให้แรงดันที่ขาเกตของ NMOS ตัวหลัก (M1, M2 และ M3) มีความชันเพิ่มขึ้นจึงส่งผลให้กระแสเดรนของ NMOS มีค่าเพิ่มขึ้น ทำให้ไม่จำเป็นต้องออกแบบ ให้ขนาดของทรานซิสเตอร์ NMOS ตัวหลักให้มีขนาดใหญ่ก็สามารถทำให้สัญญาณแรงดันที่ได้คาย ประจุให้แรงดันตกจาก $2V_{TH}$ ลงมาที่ 0 ได้ทันที ในรูปที่ 3-9 ได้แสดงส่วนประกอบภายในของวงจร ผกผันแบบพื้นฐานที่นำมาใช้ในการดัดแปลง และในการออกแบบวงจรมัลติเฟอ์มกผันนี้ยังคำนึงถึงการประหยัด พลังงานอีกด้วยโดยจากการที่ต่อวงจรผกผันแบบพื้นฐานโดยจะกล่าวต่อไป

ในหัวข้อ 3.1 เราได้คำนวณหาค่าของกระแสที่จ่ายให้กับวงจรออสซิลเลเตอร์เพื่อกำเนิด สัญญาณความถี่ 32.768 กิโลเฮิร์ตซ์มาแล้ว ดังนั้นต่อไปจะนำค่ากระแสที่จ่ายให้กับวงจร ออสซิลเลเตอร์ที่คำนวณได้นั้นมาใช้ในการคำนวณหาค่ากำลังงานไฟฟ้าของวงจรออสซิลเลเตอร์รูป สามเหลี่ยมแบบวงแหวน 3 ภาคโดยใช้สูตรการคำนวณ ดังนี้

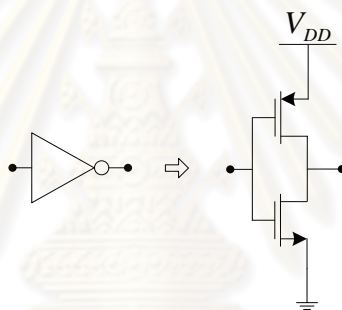
จาก

$$P = I_{\text{avg}} \times V_{DD}$$

(3-4)



รูปที่ 3-8 วงจรออสซิลเลเตอร์รูปสามเหลี่ยมแบบวงแหวน 3 ภาคแบบมีวงจรมัลติเพล็กซ์



รูปที่ 3-9 วงจรมัลติเพล็กซ์แบบพื้นฐาน

หาค่ากำลังงานไฟฟ้าทั้งหมดของวงจรรูปสามเหลี่ยมแบบวงแหวน 3 ภาคแบบมีวงจรมัลติเพล็กซ์จากรูปที่ 3-8 ดังนี้ จากที่ได้กล่าวมาแล้วว่าวงจรจะประกอบด้วยวงจรมัลติเพล็กซ์เอาแหล่งกำเนิดกระแสไฟฟ้าเป็นโหลด กับ วงจรมัลติเพล็กซ์พื้นฐาน แต่เนื่องจากวงจรมัลติเพล็กซ์พื้นฐานมีการสับสวิตช์ไปมาทำให้กระแสของวงจรมัลติเพล็กซ์พื้นฐานมีค่าสูงเฉพาะตอนที่สับสวิตช์เท่านั้น แต่ช่วงเวลาในการสับสวิตช์นั้นสั้นมาก ดังนั้นกระแสที่เกิดขึ้นในช่วงเวลาการสับสวิตช์จึงมีผลน้อยมากต่อวงจร จึงได้ว่าวงจรมัลติเพล็กซ์พื้นฐานจะกินกำลังไฟฟ้าน้อยมากจนแทบจะไม่มีผลต่อวงจรเลย ดังนั้นในการคำนวณนี้จึงไม่คิดค่ากระแสของวงจรมัลติเพล็กซ์พื้นฐานเพราะถือว่ามีค่าน้อยมากแทบไม่มีผล ดังนั้นจะได้

$$I_{\text{avg}} = I_{M3a} + I_{M4a} + I_{M10} + I_{M11} + I_{M12} + I_{M13} + I_{M14} + I_{M15} + I_{M16} + I_{M17} + I_{M18}$$

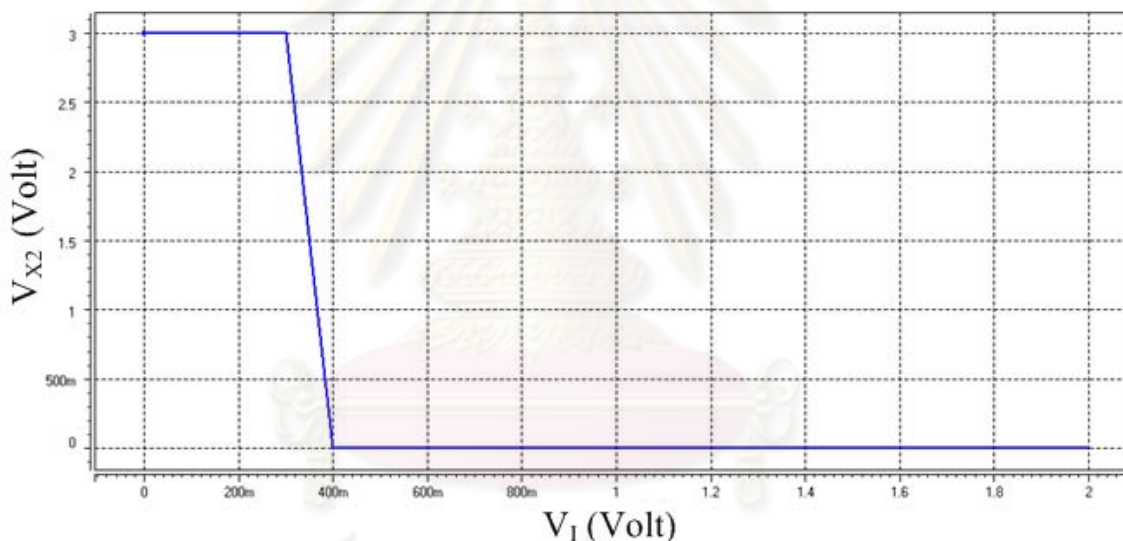
$$= [54.13 \times (20) + 54.13 + 54.13 + 0 + 54.13 + 54.13 + 0 + 54.13 + 54.13 + 0 + 54.13]nA$$

$$\therefore I_{\text{ss}} = 1.4615\mu A$$

นำมาแทนค่าลงในสมการที่ (3-4) จะได้

$$Power = 1.4615\mu A \times 3.3V = 4.82\mu W$$

จากรูปที่ 3-10 แสดงผลการจำลองการทำงานของวงจรมกผันแบบเอาแหล่งกำเนิดกระแสเป็นโหลดจากโปรแกรม H-spice ไว้ด้วย โดยจะแสดงความสัมพันธ์ระหว่างแรงดันขาเข้า (V_I) กับแรงดันขาออก (V_{X2}) จะเห็นว่าเมื่อแรงดัน V_I มีค่าเท่ากับแรงดันขีดเริ่มเปลี่ยน (V_{TH}) แรงดัน V_{X2} จะเริ่มตกทันทีเป็นผลทำให้สัญญาณแรงดันที่ได้มีความชันเพิ่มขึ้น



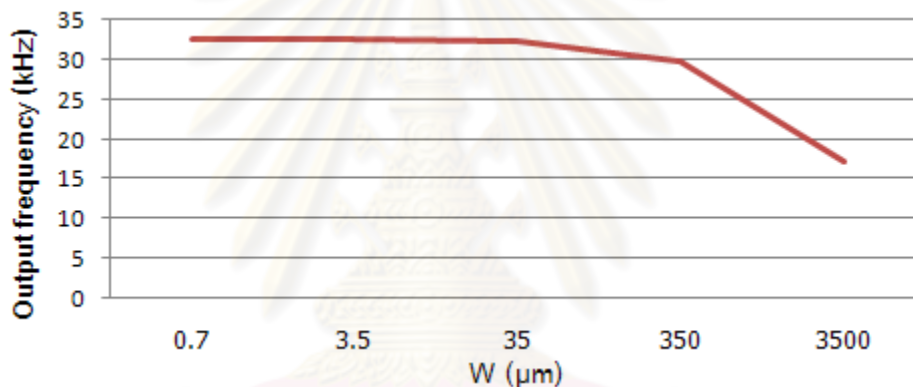
รูปที่ 3-10 ความสัมพันธ์ระหว่างแรงดันขาเข้า (V_I) กับแรงดันขาออก (V_{X2}) ของวงจรมกผันแบบเอาแหล่งกำเนิดกระแสเป็นโหลด

จากตารางที่ 3-3 ได้แสดงว่าวงจรรวมซิลิโคนเทคโนโลยีสามเหลี่ยมแบบวงแหวน 3 ภาคแบบมีวงจรมกผันเฟิร์มนี้ สามารถแก้ไขปัญหาค่าความกว้างของทรานซิสเตอร์ NMOS ได้จริงตามที่ได้กล่าวมา โดยจะได้ว่าที่ค่า W ของ NMOS เท่ากับ 3.5 ไมโครเมตรจะมีความผิดพลาดของความถี่เพียงแค่ 0.68 เปอร์เซ็นต์ ซึ่งต่างจากกรณีของวงจรรวมซิลิโคนเทคโนโลยีพื้นฐานซึ่งจะมีความผิดพลาดของความถี่เท่ากับ 10.63 เปอร์เซ็นต์ที่ค่า W ของ NMOS เท่ากัน โดยในกรณีนี้ได้คิดผลของตัวเก็บประจุไม่เชิงเส้นด้วย เพราะเนื่องจากการวิเคราะห์เพื่อนำไปใช้ในการออกแบบจริง ดังนั้นในกรณีที่ W ของ

NMOS มีค่ามากความถี่ที่ได้จึงมีค่าลดลงดังรูปที่ 3-11 ซึ่งจะเกิดจากผลของตัวเก็บประจุไม่เชิงเส้นนั่นเอง

ตารางที่ 3-3 เปอร์เซ็นต์ความผิดพลาดและค่าความถี่ที่เกิดขึ้นที่ค่า W ต่างๆของ NMOS ของวงจรออสซิลเลเตอร์แบบมีวงจรรีฟเฟอรัคชันโดยคิดผลของตัวเก็บประจุไม่เชิงเส้นที่เกิดจาก NMOS

W(μm)	Output Frequency (kHz)	ความผิดพลาด(%)
0.7	32.5056	0.80078125
3.5	32.5439	0.683898926
35	32.2257	1.654968262
350	29.6654	9.468383789
3500	17.0862	47.85705566

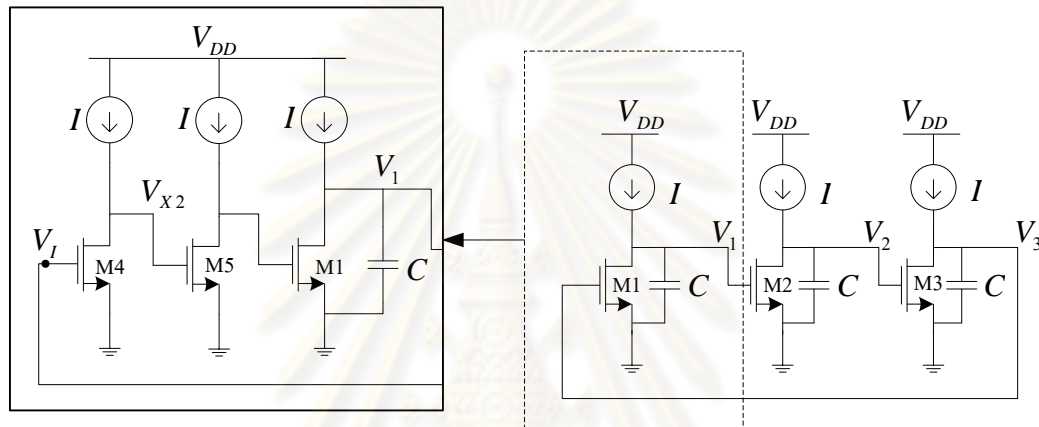


รูปที่ 3-11 ผลของ W ของทรานซิสเตอร์ที่เกิดจากวงจรรูปที่ 3-8 โดยคิดผลของตัวเก็บประจุไม่เชิงเส้นที่เกิดจาก NMOS

3.4 วงจรออสซิลเลเตอร์รูปสามเหลี่ยมแบบวงแหวน 3 ภาคแบบมีวงจรรายยผกผัน (CMOS Inverting Amplifier 3-Stage Ring Oscillator)

ในหัวข้อนี้จะกล่าวถึงวงจรออสซิลเลเตอร์รูปสามเหลี่ยมแบบวงแหวน 3 ภาคแบบมีวงจรรายยผกผัน ซึ่งเป็นวงจรที่สามารถชดเชยผลของความกว้างของทรานซิสเตอร์ได้อีกหนึ่งวงจร โดยได้ดัดแปลงโดยการเพิ่มจำนวนของทรานซิสเตอร์มากขึ้นอีก โดยดัดแปลงวงจรรายยผกผันแต่ละภาคโดยการแทรกวงจรรายยผกผันแบบเอาแหล่งกำเนิดกระแสเป็นโหลด 2 วงจรเข้าระหว่างสัญญาณแรงดันขาเข้ากับขาเกตของ NMOS ที่ขับกระแส (I) และตัวเก็บประจุ (C) ดังแสดงในรูปที่ 3-12 โดยจะทำให้แรงดันที่ขาเกตของ NMOS ตัวหลัก (M1, M2 และ M3) มีความชันเพิ่มขึ้น เนื่องจากได้เพิ่มทรานซิสเตอร์มากกว่าหนึ่งตัวมาทำหน้าที่ในการอัดประจุและคายประจุจึงส่งผลให้กระแสเดรนของ NMOS มีค่า

เพิ่มขึ้น ทำให้ไม่จำเป็นต้องออกแบบให้ขนาดของทรานซิสเตอร์ NMOS ตัวหลักให้มีขนาดใหญ่ก็สามารถทำให้สัญญาณแรงดันที่ได้คายประจุให้แรงดันตกจาก $2V_{TH}$ ลงมาที่ 0 ได้ทันที แต่การต่อในลักษณะการต่อของวงจรมีจะกินกำลังงานไฟฟ้ามากกว่าวงจรรอสซิลเลเตอร์รูปสามเหลี่ยมแบบวงแหวน 3 ภาคแบบมีวงจรมีเพอร์คัพชั่น เนื่องจากในแต่ละภาคได้เพิ่มด้วยวงจรมักแบบเอาแหล่งกำเนิดกระแสเป็นโหนดทั้ง 2 วงจรซึ่งจะต้องคิดค่ากำลังงานไฟฟ้าของทั้ง 2 วงจรโดยจะกล่าวต่อไป



รูปที่ 3-12 วงจรรอสซิลเลเตอร์รูปสามเหลี่ยมแบบวงแหวน 3 ภาคแบบมีวงจรมักแบบ

นำค่ากระแสที่จ่ายให้กับวงจรรอสซิลเลเตอร์ที่คำนวณได้ในหัวข้อ 3.1 เช่นกัน มาใช้ในการหาค่ากำลังไฟฟ้าของวงจรรอสซิลเลเตอร์รูปสามเหลี่ยมแบบวงแหวน 3 ภาคแบบมีวงจรมักแบบโดยในกรณีการออกแบบของวงจรมีจะไม่มีการละทิ้งค่าของกระแส เนื่องจากเกิดจากการต่อเพิ่มของวงจรมักแบบเอาแหล่งกำเนิดไฟฟ้าเป็นโหนดเพียงอย่างเดียว ดังนั้นคำนวณหาค่ากำลังไฟฟ้าได้ดังนี้

$$\begin{aligned}
 I_{\text{rms}} &= I_{M3a} + I_{M4a} + I_{M10} + I_{M11} + I_{M12} + I_{M13} + I_{M14} + I_{M15} + I_{M16} + I_{M17} + I_{M18} \\
 &= [54.13 \times (20) + 54.13 + 54.13 + 54.13 + 54.13 + 54.13 + 54.13 + 54.13 \\
 &\quad + 54.13 + 54.13 + 54.13] \text{nA}
 \end{aligned}$$

$$\therefore I_{\text{rms}} = 1.624 \mu\text{A}$$

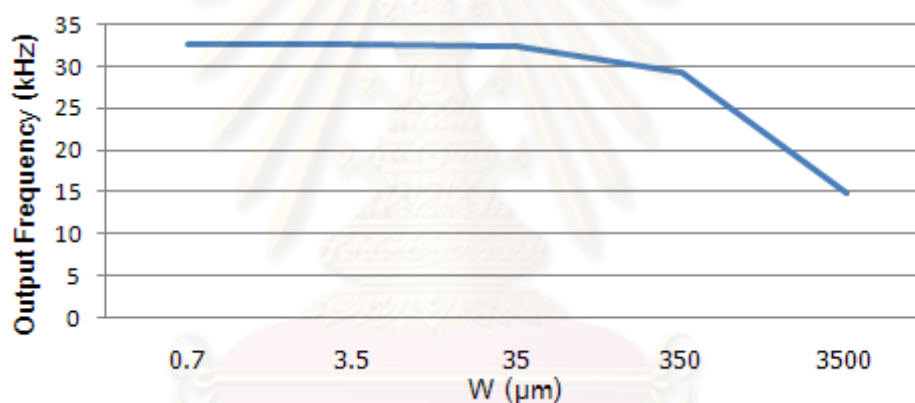
และจากสมการที่ (3-9) เพราะฉะนั้น จะได้

$$\text{Power} = 1.624 \mu\text{A} \times 3.3\text{V} = 5.36 \mu\text{W}$$

จากค่าของกำลังไฟฟ้าที่คำนวณได้ในส่วนของภาคแอนะล็อกของวงจรออสซิลเลเตอร์รูปสามเหลี่ยมแบบวงแหวน 3 ภาคแบบมีวงจรมัลติเพล็กซ์กับแบบมีวงจรมัลติเพล็กซ์จะเห็นว่าแบบมีวงจรมัลติเพล็กซ์ จะกินกำลังไฟฟ้ามมากกว่าแบบมีวงจรมัลติเพล็กซ์

ตารางที่ 3-4 เปอร์เซ็นต์ความผิดพลาดและค่าความถี่ที่เกิดขึ้นที่ค่า W ต่างๆของ NMOS ของวงจรออสซิลเลเตอร์แบบมีวงจรมัลติเพล็กซ์โดยคิดผลของตัวเก็บประจุไม่เชิงเส้นที่เกิดจาก NMOS

W(μm)	Output Frequency (kHz)	ความผิดพลาด(%)
0.7	32.523	0.747680664
3.5	32.5582	0.640258789
35	32.2379	1.617736816
350	29.2332	10.78735352
3500	14.942	54.40063477

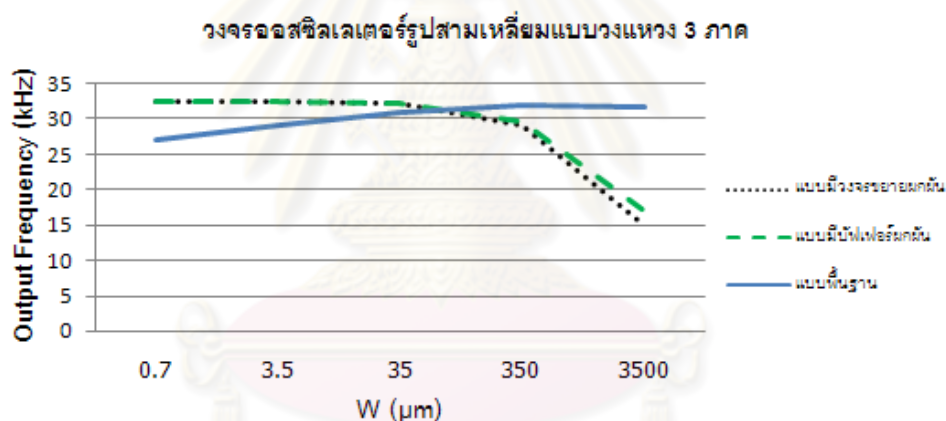


รูปที่ 3-13 ผลของ W ของทรานซิสเตอร์ที่เกิดจากวงจรรูปที่ 3-12 โดยคิดผลของตัวเก็บประจุไม่เชิงเส้นที่เกิดจาก NMOS

จากตารางที่ 3-4 ได้แสดงว่าวงจรออสซิลเลเตอร์รูปสามเหลี่ยมแบบวงแหวน 3 ภาคแบบมีวงจรมัลติเพล็กซ์นี้ สามารถแก้ไขปัญหาค่าความถี่ของทรานซิสเตอร์ NMOS ได้จริงตามที่ได้กล่าวมา โดยจะได้ว่าที่ค่า W ของ NMOS เท่ากับ 3.5 ไมโครเมตรจะมีความผิดพลาดของความถี่เพียงแค่ 0.64 เปอร์เซ็นต์ จะได้ว่ามีค่าความผิดพลาดของความถี่น้อยกว่าของวงจรออสซิลเลเตอร์รูปสามเหลี่ยมแบบวงแหวน 3 ภาคแบบมีวงจรมัลติเพล็กซ์ และต่างจากกรณีของวงจรออสซิลเลเตอร์แบบพื้นฐานซึ่งจะมีความผิดพลาดของความถี่เท่ากับ 10.63 เปอร์เซ็นต์ที่ค่า W ของ NMOS เท่ากัน โดยในกรณีนี้ได้คิดผลของตัวเก็บประจุไม่เชิงเส้นด้วย เพราะเนื่องจากต้องการวิเคราะห์เพื่อนำไปใช้ใน

การออกแบบจริง ดังนั้นในกรณีที่ W ของ NMOS มีค่ามากความถี่ที่ได้จึงมีค่าลดลงดังรูปที่ 3-13 ซึ่งจะเกิดจากผลของตัวเก็บประจุไม่เชิงเส้นนั่นเอง

เปรียบเทียบผลของความกว้างของทรานซิสเตอร์ที่เกิดขึ้นในวงจรออสซิลเลเตอร์รูปสามเหลี่ยมแบบวงแหวน 3 ภาคทั้ง 3 แบบดังรูปที่ 3-14 โดยคิดผลของตัวเก็บประจุไม่เชิงเส้นที่เกิดจาก NMOS ซึ่งจะเห็นว่าเมื่อ W มีค่าน้อยค่าความถี่ที่ได้ของวงจรที่ดัดแปลงทั้งสองวงจรจะมีค่าใกล้เคียงกับค่าของความถี่ที่ต้องการมากกว่าความถี่ที่ได้จากวงจรออสซิลเลเตอร์แบบพื้นฐานอย่างเห็นได้ชัด และในกรณีที่ W มีค่ามากขึ้นจะเห็นว่าความถี่ที่ได้ของวงจรออสซิลเลเตอร์แบบพื้นฐานจะมีความมากกว่าความถี่ที่ได้จากวงจรที่ดัดแปลงทั้งสองวงจร ที่เป็นเช่นนี้เนื่องจากจำนวนของทรานซิสเตอร์ในวงจรออสซิลเลเตอร์พื้นฐานมีจำนวนน้อยกว่าวงจรที่ดัดแปลงทั้งสองวงจร ดังนั้นผลของตัวเก็บประจุไม่เชิงเส้นที่เกิดขึ้นจึงน้อยไปด้วย



รูปที่ 3-14 เปรียบเทียบผลของ W ของทรานซิสเตอร์ที่เกิดขึ้นในวงจรออสซิลเลเตอร์ทั้ง 3 แบบโดยคิดผลของตัวเก็บประจุไม่เชิงเส้นที่เกิดจาก NMOS

ดังนั้นสามารถสรุปได้ว่าวงจรที่ดัดแปลงทั้งสองวงจรสามารถแก้ไขผลของความกว้างของทรานซิสเตอร์ที่เกิดกับวงจรออสซิลเลเตอร์พื้นฐานได้

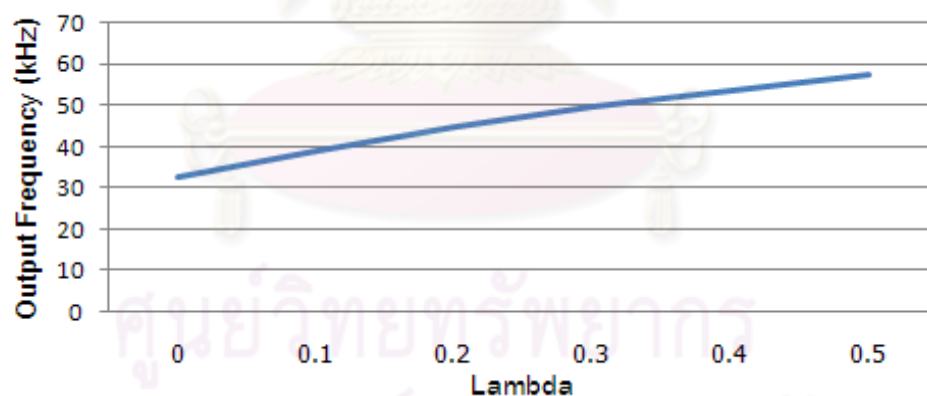
3.5 การลดผลของความยาวช่องนำกระแสโดยใช้วงจรสะท้อนกระแสแบบคาสโคด

ในหัวข้อนี้ได้กล่าวถึงผลของความยาวช่องนำกระแสที่มีผลต่อความถี่ของวงจรออสซิลเลเตอร์รูปสามเหลี่ยมแบบวงแหวน 3 ภาคทั้งสองแบบ ได้แก่ แบบมีวงจรรบัพเฟอรั่มผกผัน และแบบมีวงจรรายผกผันเมื่อนำมาต่อกับวงจรกำเนิดกระแสเบื้องต้น และการแก้ไขผลของความยาวช่อง

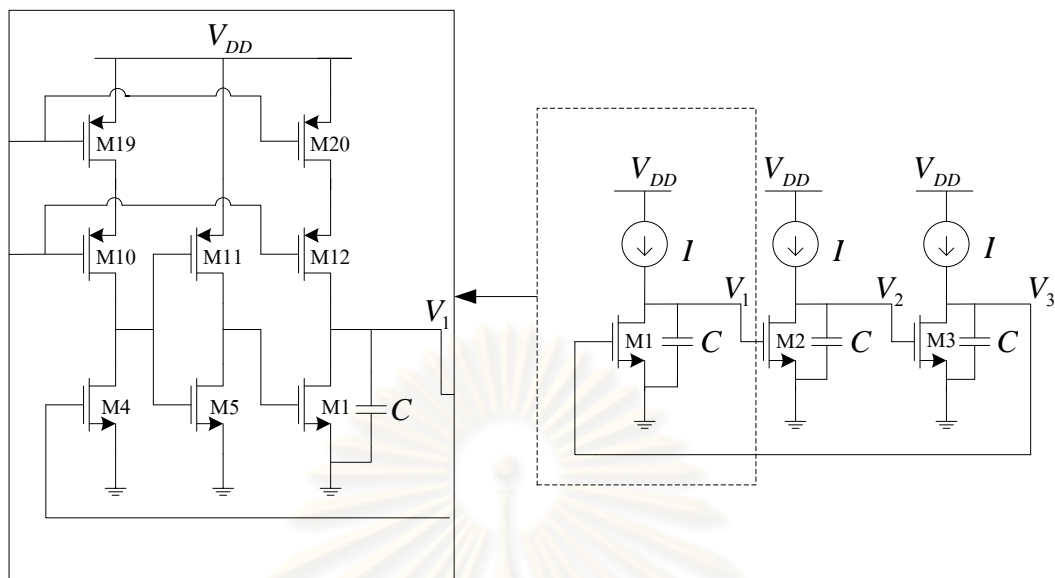
นำกระแสที่เกิดขึ้น ซึ่งสามารถแก้ไขได้โดยการต่อวงจรสะท้อนกระแสเป็นแบบคาสโคด ดังนั้นจึงต้อง
ดัดแปลงวงจรออสซิลเลเตอร์ทั้งสองแบบนี้ใหม่เพื่อให้สามารถต่อกับวงจรสะท้อนกระแสที่เป็นแบบ
คาสโคดได้โดยจะกล่าวต่อไป

3.5.1 วงจรออสซิลเลเตอร์รูปสามเหลี่ยมแบบวงแหวน 3 ภาคแบบมีวงจรมีวงจรมีเฟออร์มิกัน

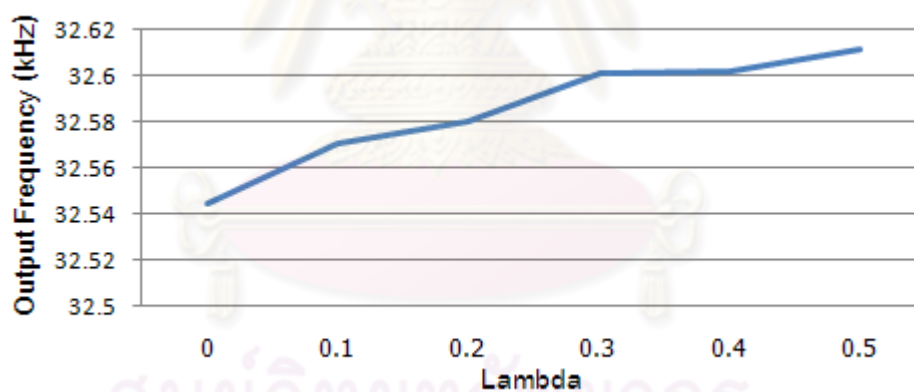
เนื่องจากกระแสที่จ่ายให้กับวงจรออสซิลเลเตอร์รูปสามเหลี่ยมแบบวงแหวน 3 ภาคแบบมี
วงจรมีเฟออร์มิกันดังรูปที่ 3-8 ต้องใช้วงจรสะท้อนกระแสเบื้องต้นเป็นตัวจ่ายกระแสให้ส่วนต่างๆของ
วงจรที่ออกแบบ เพราะกระแสที่จ่ายนั้นมาจากแหล่งกำเนิดเดียวกัน แต่วงจรสะท้อนกระแสเบื้องต้น
มีข้อด้อยตรงที่กระแสขาออกที่ได้จากวงจรสะท้อนกระแสเบื้องต้นจะขึ้นอยู่กับค่าความยาวช่อง
นำกระแสมาก ทำให้กระบวนการเจือสารซึ่งมีผลต่อความยาวช่องนำกระแสจึงพลอยมีผลต่อกระแส
ขาออกที่เกิดจากวงจรสะท้อนกระแสเบื้องต้นด้วย จึงส่งผลให้ความถี่ที่ได้จากวงจรออสซิลเลเตอร์รูป
สามเหลี่ยมแบบวงแหวน 3 ภาคแบบมีวงจรมีเฟออร์มิกันมีค่าเปลี่ยนแปลงตามดังรูปที่ 3-15 ดังนั้น
ในวงจรที่ออกแบบนี้จึงต่อวงจรสะท้อนกระแสเป็นแบบคาสโคดดังรูปที่ 3-16 เพื่อช่วยลดผลของความ
ยาวช่องนำกระแสได้ดังรูปที่ 3-17



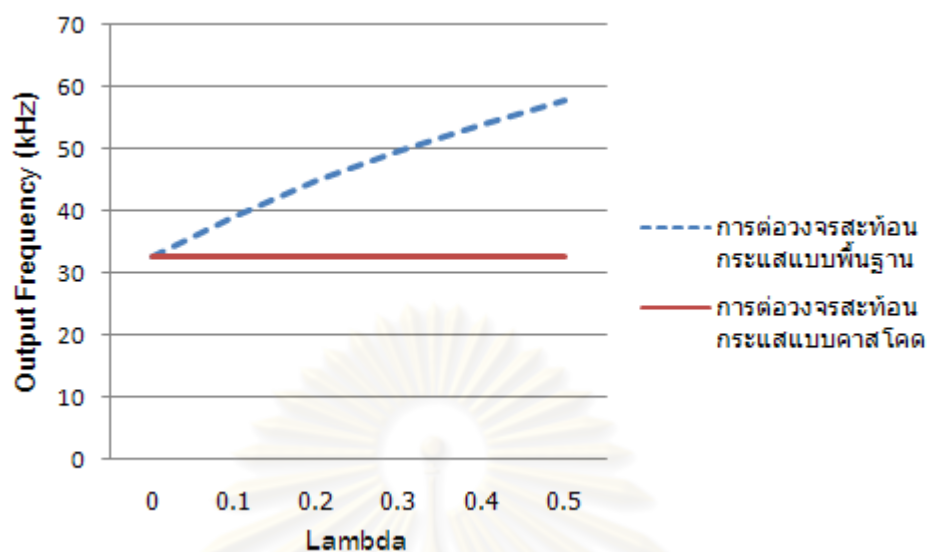
รูปที่ 3-15 ความสัมพันธ์ระหว่างความยาวช่องนำกระแสกับความถี่ของวงจรออสซิลเลเตอร์รูป
สามเหลี่ยมแบบวงแหวน 3 ภาคแบบมีวงจรมีเฟออร์มิกันที่ไม่ได้ต่อแบบคาสโคด



รูปที่ 3-16 การต่อคาสโคดของวงจรรอสซิลเลเตอร์รูปสามเหลี่ยมแบบวงแหวน 3 ภาคแบบมีวงจรบัพเฟอร์ผูกผันเพื่อเชื่อมกับการต่อคาสโคดของวงจระสะท้อนกระแส



รูปที่ 3-17 ความสัมพันธ์ระหว่างความยาวช่องนำกระแสกับความถี่ของวงจรรอสซิลเลเตอร์ที่ต่อแบบคาสโคดดังรูปที่ 3-16



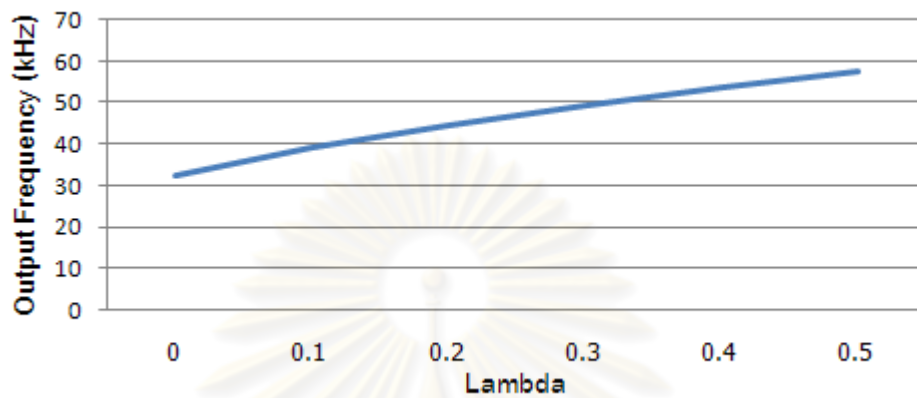
รูปที่ 3-18 เปรียบเทียบผลของความยาวช่องนำกระแสที่เกิดขึ้นระหว่างการต่อวงจรสะท้อนกระแสเป็นแบบพื้นฐานกับแบบคาสโคดของวงจรออสซิลเลเตอร์แบบมีวงจรรีบเฟอ์รผกผัน

เปรียบเทียบผลที่เกิดขึ้นของวงจรออสซิลเลเตอร์ในกรณีการต่อวงจรสะท้อนกระแสเบื้องต้นกับกรณีการต่อวงจรสะท้อนกระแสเป็นแบบคาสโคดของวงจรออสซิลเลเตอร์รูปสามเหลี่ยมแบบวงแหวน 3 ภาคแบบมีวงจรรีบเฟอ์รผกผัน ดังรูปที่ 3-18 ซึ่งจะแสดงให้เห็นว่าการต่อวงจรสะท้อนกระแสแบบคาสโคดจะสามารถช่วยลดผลของความยาวช่องนำกระแสในวงจรได้มากเมื่อเปรียบเทียบกับกรณีการต่อวงจรสะท้อนกระแสเบื้องต้น ในกรณีนี้ได้เปรียบเทียบผลการจำลองการทำงานใน Level 1 เพราะสามารถกำหนดค่าของความยาวช่องนำกระแสได้

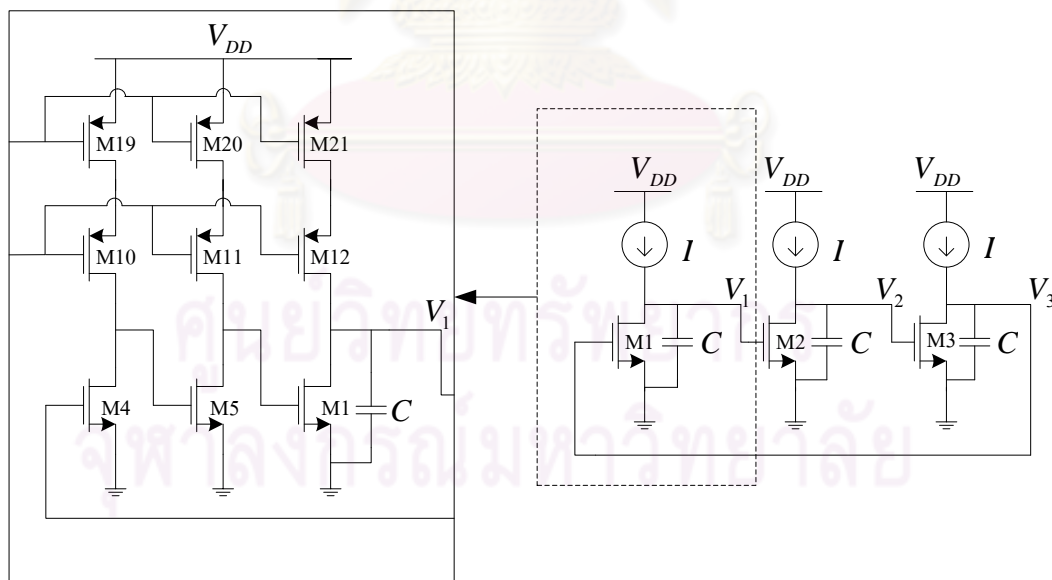
3.5.2 วงจรออสซิลเลเตอร์รูปสามเหลี่ยมแบบวงแหวน 3 ภาคแบบมีวงจรรีบเฟอ์รผกผัน

จากเหตุผลเดียวกันจากในหัวข้อ 3.5.1 นั่นคือกระแสที่จ่ายให้กับวงจรออสซิลเลเตอร์รูปสามเหลี่ยมแบบวงแหวน 3 ภาคแบบมีวงจรรีบเฟอ์รผกผันในรูปที่ 3-12 นั้นต้องใช้วงจรสะท้อนกระแสเบื้องต้นเป็นตัวจ่ายกระแสให้ส่วนต่างๆของวงจรที่ออกแบบ เพราะกระแสที่ใช้จ่ายนั้นมาจากแหล่งกำเนิดเดียวกัน แต่วงจรสะท้อนกระแสเบื้องต้นมีข้อดีโดยตรงที่กระแสขาออกที่ได้จากวงจรสะท้อนกระแสเบื้องต้นจะขึ้นอยู่กับค่าความยาวช่องนำกระแส ทำให้กระบวนการเจือสารซึ่งมีผลต่อความยาวช่องนำกระแสจึงพลอยมีผลต่อกระแสขาออกที่เกิดจากวงจรสะท้อนกระแสเบื้องต้นด้วย จึงส่งผลให้ความถี่ที่ได้จากวงจรออสซิลเลเตอร์รูปสามเหลี่ยมแบบวงแหวน 3 ภาคแบบมีวงจรรีบเฟอ์รผกผัน

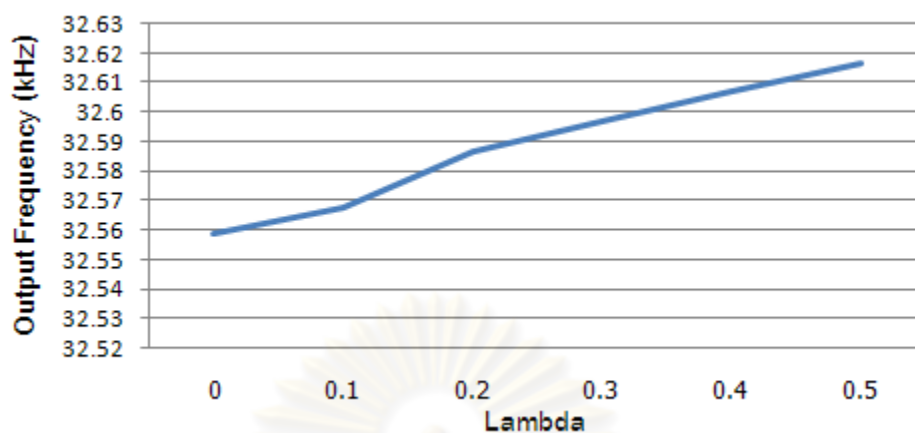
ผกผันมีค่าเปลี่ยนแปลงตามดังรูปที่ 3-19 ดังนั้นในวงจรที่ออกแบบนี้จึงต่อวงจรสะท้อนกระแสเป็นแบบคาสโคดดังรูปที่ 3-20 เพื่อช่วยลดผลของความยาวช่องนำกระแสได้ดังรูปที่ 3-21



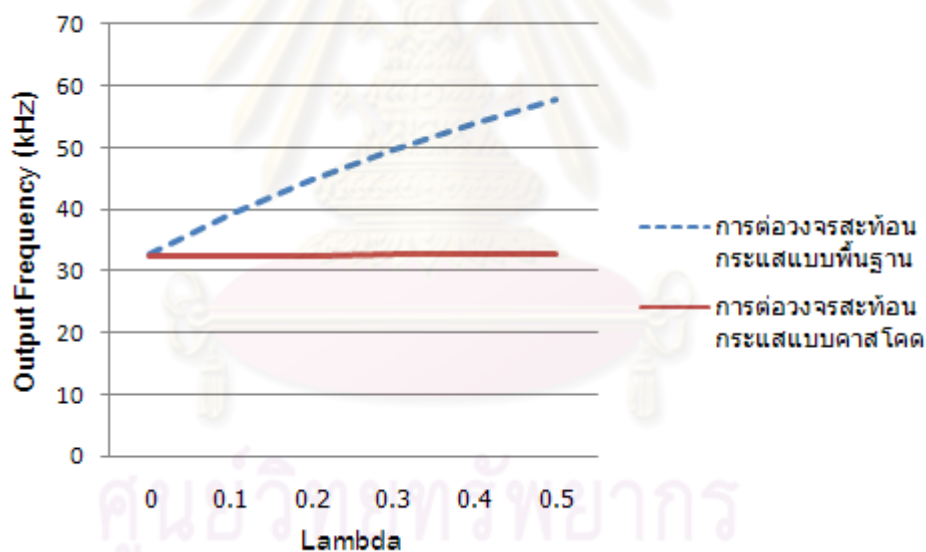
รูปที่ 3-19 ความสัมพันธ์ระหว่างความยาวช่องนำกระแสกับความถี่ของวงจรรอสซิลเลเตอร์รูปสามเหลี่ยมแบบวงแหวน 3 ภาคแบบมีวงจรรขยายผกผันที่ไม่ได้ต่อแบบคาสโคด



รูปที่ 3-20 การต่อคาสโคดของวงจรรอสซิลเลเตอร์รูปสามเหลี่ยมแบบวงแหวน 3 ภาคแบบมีวงจรรขยายผกผันเพื่อเชื่อมกับการต่อคาสโคดของวงจรสะท้อนกระแส



รูปที่ 3-21 ความสัมพันธ์ระหว่างความยาวช่องนำกระแสกับความถี่ของวงจรออสซิลเลเตอร์ที่ต่อแบบคาสโคดดังรูปที่ 3-20



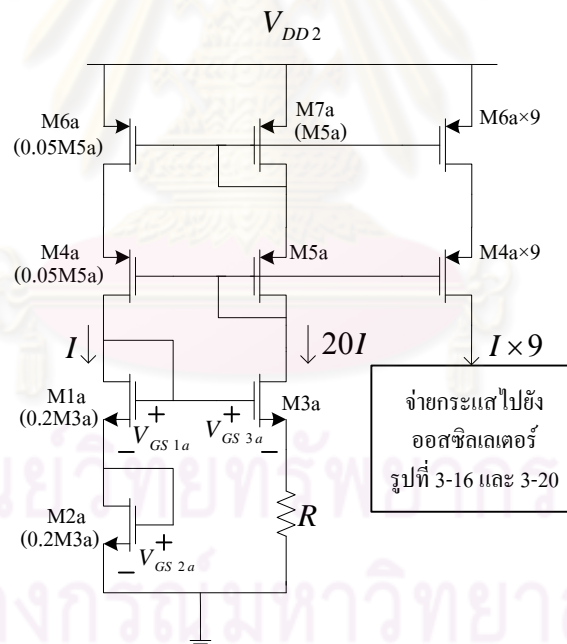
รูปที่ 3-22 เปรียบเทียบผลของความยาวช่องนำกระแสที่เกิดขึ้นระหว่างการต่อวงจรสะท้อนกระแสเป็นแบบพื้นฐานกับแบบคาสโคดของวงจรออสซิลเลเตอร์แบบมีวงจรรขยายผกผัน

เปรียบเทียบผลที่เกิดขึ้นของวงจรออสซิลเลเตอร์ในกรณีที่ต่อวงจรสะท้อนกระแสเบื้องต้นกับกรณีที่ต่อวงจรสะท้อนกระแสเป็นแบบคาสโคดของวงจรออสซิลเลเตอร์รูปสามเหลี่ยมแบบวงแหวน 3 ภาคแบบมีวงจรรขยายผกผัน ดังรูปที่ 3-22 ซึ่งจะแสดงให้เห็นว่าการต่อวงจรสะท้อนกระแสแบบคาสโคดจะสามารถช่วยลดผลของความยาวช่องนำกระแสในวงจรได้มากเมื่อเปรียบเทียบกับ การต่อวงจร

สะท้อนกระแสเบื้องต้น ในกรณีนี้ได้เปรียบเทียบผลการจำลองการทำงานใน Level 1 เพราะสามารถกำหนดค่าของความยาวช่องนำกระแสได้

3.6 วงจรชดเชยผลของแรงดันขีดเริ่มเปลี่ยน (Threshold Voltage Compensated Current Generator)

วงจรออสซิลเลเตอร์รูปสามเหลี่ยมแบบวงแหวน 3 ภาคที่ออกแบบดังรูปที่ 3-8 และรูปที่ 3-12 เมื่อชดเชยผลของความยาวช่องนำกระแสแล้ว ยังมีข้อด้อยอีกประการหนึ่งคือ คาบ (T) หรือความถี่ (f) ของสัญญาณขึ้นอยู่กับ V_{TH} ดังสมการที่ (3-2) และ (3-3) ทำให้กระบวนการเจือสาร (Fabrication Process) และอุณหภูมิ [7] ซึ่งมีผลต่อ V_{TH} พลอยมีผลต่อความถี่ของวงจรด้วย ดังนั้นในหัวข้อนี้จึงเสนองจรกำเนิดกระแส (I) ที่แปรตาม V_{TH} [13] เพื่อลดผลของ V_{TH} ที่มีผลต่อความถี่ โดยจะใช้วงจรมีเป็นวงจรมกำเนิดกระแสดังแสดงในรูปที่ 3-23 โดยจากอัตราส่วนของขนาดที่ได้ ออกแบบไว้ในรูปที่ 3-23 จะได้



รูปที่ 3-23 วงจรกำเนิดกระแสที่แปรตาม V_{TH} จ่ายกระแสไปยังวงจรรูปที่ 3-16 และรูปที่ 3-20 โดยได้ชดเชยผลของความยาวช่องนำกระแส

$$V_{GS2a} + V_{GS1a} = V_{GS3a} + 20IR \quad (3-5)$$

หรือ

$$(V_{GS2a} - V_{TH}) + (V_{GS1a} - V_{TH}) = (V_{GS3a} - V_{TH}) + (20IR - V_{TH}) \quad (3-6)$$

แทนค่า

$$V_{GS} - V_{TH} = \sqrt{\frac{2I_D}{\mu C_{ox} \frac{W}{L}}} \quad (3-7)$$

และ

$$I_{D2} = I_{D1} = \frac{I_{D3}}{20} \quad (3-8)$$

ลงในสมการที่ (3-6) จะได้ว่า

$$20IR = V_{TH} = 0 \quad (3-9)$$

หรือ

$$I = \frac{V_{TH}}{20R} \quad (3-10)$$

แทนค่า I ลงในสมการที่ (3-2) จะได้

$$T = \frac{1}{f} = 60RC \quad (3-11)$$

ดังนั้นจากสมการที่ (3-11) จะได้ว่า T และ f จะไม่ขึ้นกับ V_{TH}

เมื่อนำวงจรขดเคเบิลของแรงดันขีดเริ่มเปลี่ยนมาใช้เป็นวงจรถ่ายสัญญาณให้กับวงจรออสซิลเลเตอร์ที่ดัดแปลง โดยนำค่าตัวเก็บประจุที่ออกแบบและความถี่ที่ต้องการแทนลงไป ในสมการที่ (3-11) จะได้ความต้านทาน (R) ที่ใช้ในวงจรถ่ายสัญญาณ ดังนี้

$$R = \frac{1}{60 \times (32.768 \text{ kHz}) \times (1 \text{ pF})} = 508.626 \text{ k}\Omega$$

นำค่าความต้านทานที่คำนวณได้ในข้างต้นมาใช้ในการออกแบบ โดยในการจำลองผลการทำงานนั้นเราจะเลือกออกแบบโดยการใช่วิธีปรับค่าความต้านทาน โดยจะเริ่มปรับจากค่าความต้านทานที่คำนวณได้ เพื่อหาค่าความต้านทานที่ทำให้ความถี่ที่ได้ใกล้เคียงกับค่าความถี่ที่ต้องการมากที่สุด เพื่อที่จะนำค่าความต้านทานที่ได้มาใช้ในการผลิตจริง

3.7 สรุปท้ายบท

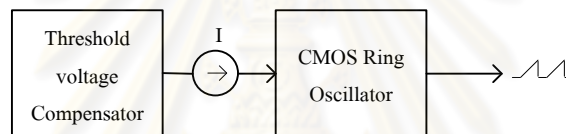
ในบทนี้จะกล่าวถึงวงจรออสซิลเลเตอร์รูปสามเหลี่ยมแบบวงแหวน 3 ภาคพื้นฐานโดยจะวิเคราะห์หาสมการความถี่ออกมาซึ่งจะพิจารณาในกรณีที่วงจรอยู่ในอุดมคติ และได้แสดงสัญญาณแรงดันที่ได้จากผลการจำลองการทำงานของวงจรออสซิลเลเตอร์พื้นฐานในกรณีที่วงจรไม่เป็นอุดมคติ โดยสัญญาณแรงดันที่ได้สามารถวิเคราะห์ได้ว่าเกิดผลความกว้างของทรานซิสเตอร์ จึงได้แก้ไขโดยดัดแปลงวงจรออสซิลเลเตอร์รูปสามเหลี่ยมแบบวงแหวน 3 ภาคแบบมีวงจรบัฟเฟอร์ผกผัน กับวงจรออสซิลเลเตอร์รูปสามเหลี่ยมแบบวงแหวน 3 ภาคแบบมีวงจรขยายผกผันที่สามารถชดเชยผลของความกว้างของทรานซิสเตอร์ได้ และได้ดัดแปลงโดยต่อวงจรแบบคาสโคดเพื่อชดเชยผลของความยาวช่องนำกระแสอีกด้วย และสุดท้ายได้ชดเชยผลของแรงดันขั้วเริ่มเปลี่ยนโดยนำวงจรชดเชยผลของแรงดันขั้วเริ่มเปลี่ยนมาเป็นวงจรกำเนิดกระแสให้กับวงจรออสซิลเลเตอร์ที่ออกแบบ โดยจะกล่าวถึงผลการจำลองการทำงานในบทต่อไป

ศูนย์วิทยทรัพยากร
จุฬาลงกรณ์มหาวิทยาลัย

บทที่ 4

ผลการจำลองการทำงานของวงจร

ในงานวิจัยนี้ได้ออกแบบวงจรถูกกำเนิดสัญญาณนาฬิกาซึ่งจะประกอบด้วย 2 วงจรดังแสดงในรูปที่ 4-1 โดยวงจรแรกได้แก่ วงจรออสซิลเลเตอร์รูปสามเหลี่ยมแบบวงแหวน 3 ภาคเป็นวงจรหลักที่ออกแบบ แต่เนื่องจากความถี่หรือคาบที่ได้จากวงจรออสซิลเลเตอร์ที่ใช้นั้นมีค่าขึ้นกับค่าของแรงดันขีดเริ่มเปลี่ยน โดยที่ค่าของแรงดันขีดเริ่มเปลี่ยนจะเปลี่ยนแปลงตามกระบวนการเจือสาร และ อุณหภูมิ ดังนั้นจึงได้ลดผลของแรงดันขีดเริ่มเปลี่ยนโดยนำวงจรที่สองคือวงจรชดเชยผลของแรงดันขีดเริ่มเปลี่ยนมาต่อกับวงจรออสซิลเลเตอร์ที่ออกแบบ



รูปที่ 4-1 แผนภาพโดยรวมของวงจรถูกกำเนิดสัญญาณความถี่

วงจรออสซิลเลเตอร์รูปสามเหลี่ยมแบบวงแหวน 3 ภาคซึ่งเป็นวงจรหลักในการให้กำเนิดสัญญาณความถี่นี้จะมียูสองแบบด้วยกันโดยได้กล่าวไว้ในบทที่ 3 โดยวงจรออสซิลเลเตอร์นี้ได้ถูกออกแบบมาเพื่อกินพลังงานต่ำ และเพื่อให้สามารถใช้งานร่วมกับวงจรชดเชยผลของแรงดันขีดเริ่มเปลี่ยนได้ ซึ่งทำให้มีข้อจำกัดเกิดขึ้น คือ วงจรจะทำงานได้ในภาวะที่มีแรงดันไฟเลี้ยงไม่ต่ำกว่า 2.5 โวลต์ ซึ่งจะกล่าวไว้ในบทที่ 5 แรงดันไฟเลี้ยงสามารถเปลี่ยนแปลงได้ขณะทำงาน และต้องการออกแบบให้กินกำลังงานไม่เกิน 10 ไมโครวัตต์ ในบทนี้จะกล่าวถึงผลการจำลองการทำงานของวงจรถูกกำเนิดสัญญาณที่ได้ออกแบบไว้ โดยวงจรถูกออกแบบใช้เทคโนโลยี 0.35 ไมโครเมตร จะจำลองการทำงานโดยใช้โปรแกรม H-spice

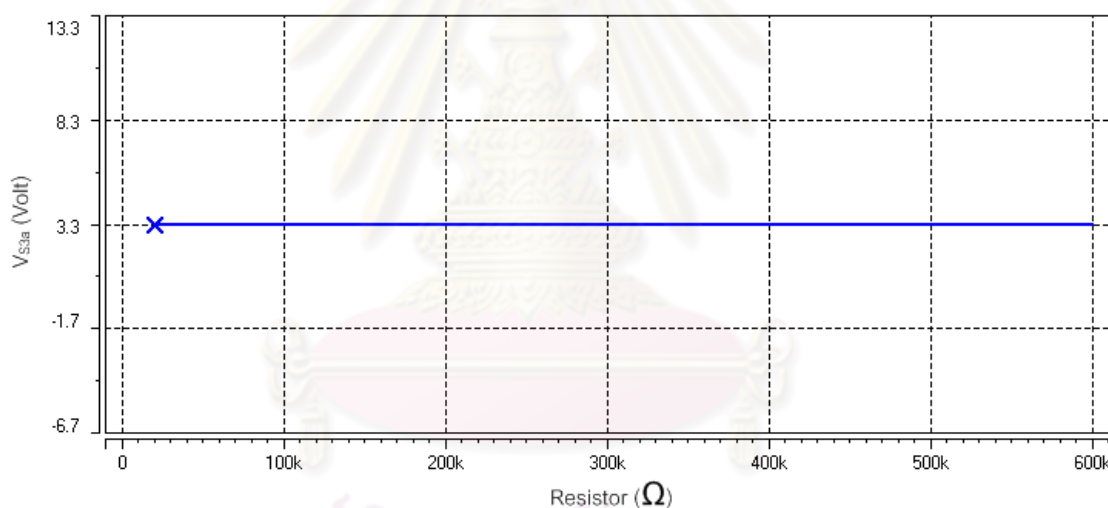
4.1 ผลการจำลองการทำงานของวงจรชดเชยผลของแรงดันขีดเริ่มเปลี่ยน

เนื่องจากได้ออกแบบให้วงจรถูกกำเนิดสัญญาณรูปสามเหลี่ยมแบบวงแหวน 3 ภาครับกระแสจากวงจรชดเชยผลของแรงดันขีดเริ่มเปลี่ยน ดังนั้นจึงได้ทดสอบวงจรถูกกำเนิดสัญญาณโดยศึกษาผลของความต้านทาน โดยจะใช้ค่าในตารางที่ 4-1 ใช้แรงดันไฟเลี้ยงเท่ากับ 3.3 โวลต์ อุณหภูมิ 27 องศาเซลเซียสทดสอบใน Level 53 โดยเปลี่ยนค่าความต้านทานจาก 2 k Ω ถึง 600k Ω

จะได้ผลการจำลองการทำงานดังรูปที่ 4-2 ซึ่งจะแสดงความสัมพันธ์ระหว่างความต้านทานกับแรงดันที่ซอสของ M3a ของวงจรในรูปที่ 3-23 โดยจะเห็นว่าค่าความต้านทานไม่มีผลต่อการทำงานของวงจร ดังนั้นในการจำลองการทำงานที่จะกล่าวถึงต่อไปเราจะสามารถกำหนดค่าของความต้านทานนี้ได้ตามต้องการ

ตารางที่ 4-1 ขนาดทรานซิสเตอร์ของวงจรชุดเซตผลของแรงดันขีดเริ่มเปลี่ยน

Size(μm)	NMOS			PMOS			
	M1a	M2a	M3a	M4a	M5a	M6a	M7a
W	0.7	0.7	3.5	0.7	14	0.7	14
L	0.7	0.7	0.7	0.7	0.7	0.7	0.7



รูปที่ 4-2 ผลของความต้านทานต่อแรงดันที่ซอสของ M3a

4.2 ผลการจำลองการทำงานของวงจรออสซิลเลเตอร์รูปสามเหลี่ยมแบบวงแหวน 3 ภาคแบบคาสโคดเมื่อใช้กระแสจากวงจรชุดเซตผลของแรงดันขีดเริ่มเปลี่ยน

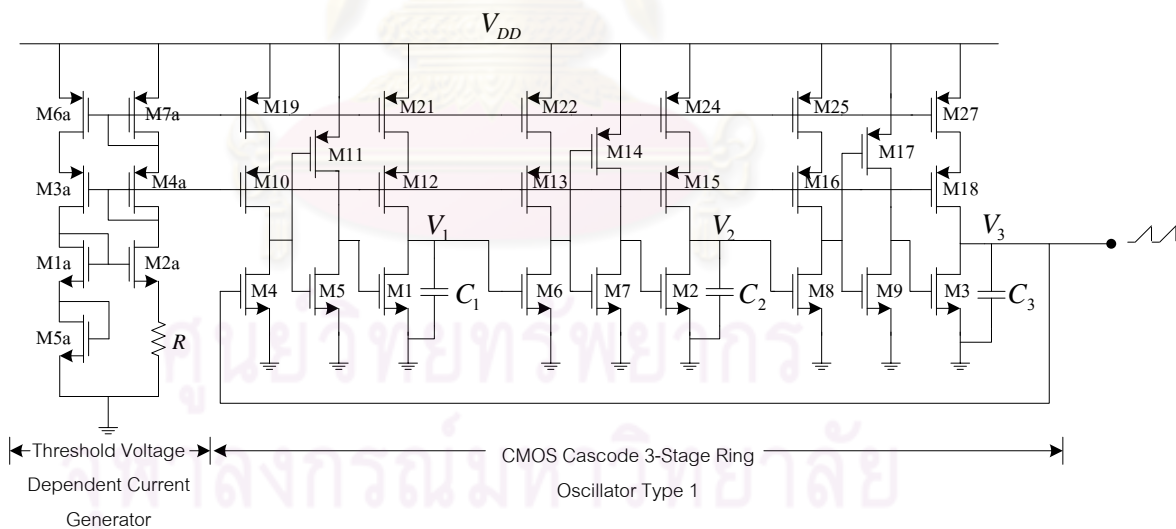
วงจรออสซิลเลเตอร์รูปสามเหลี่ยมแบบวงแหวน 3 ภาคได้ออกแบบทั้งหมด 2 แบบด้วยกัน ดังที่ได้กล่าวมาแล้วในบทที่ 3 ซึ่งจะเขียนวงจรตามรูปที่ 4-3 และรูปที่ 4-8 โดยออกแบบให้มีความถี่ 32.768 กิโลเฮิรตซ์ เพื่อให้ทดแทนวงจรถ่ายสัญญาณความถี่ให้กับวงจรมอดูเลชันความถี่ที่ใช้ผลึกควอตซ์ โดยจะจำลองค่าของความถี่ให้ได้ตามที่ออกแบบโดยการปรับค่าความต้านทานซึ่งได้กล่าวไว้

แล้วในหัวข้อที่ 3.6 และศึกษาผลกระทบต่างๆที่จะเปลี่ยนแปลงได้เมื่อเข้าสู่กระบวนการผลิตหรือสภาพแวดล้อมภายนอกเปลี่ยนแปลง ได้แก่ การเปลี่ยนแปลงของอุณหภูมิ และค่าแรงดันไฟเลี้ยง ในการจำลองการทำงานนี้จะใช้ค่าในตารางที่ 4-2 แรงดันไฟเลี้ยงเท่ากับ 3.3 โวลต์ ตัวเก็บประจุมีค่าเท่ากับ 1 พิโคฟารัด อุณหภูมิ 27 องศาเซลเซียสโดยจะทดสอบใน Level 53 และหาค่าความผิดพลาดไปจากสมการที่ (3-11) ของความถี่ใน Level 1 เพื่อแสดงว่าผลที่ได้จากการจำลองการทำงานเป็นจริงตามสมการที่ (3-11)

ตารางที่ 4-2 ขนาดทรานซิสเตอร์ของวงจรรอสซิลเลเตอร์รูปสามเหลี่ยมแบบวงแหวน 3 ภาค

Size(μm)	NMOS	PMOS
W	3.5	0.7
L	0.7	0.7

4.2.1 ผลการจำลองของวงจรรอสซิลเลเตอร์รูปสามเหลี่ยมแบบวงแหวน 3 ภาคแบบมีวงจรบัฟเฟอร์ผกผัน



รูปที่ 4-3 โครงสร้างของวงจรรอสซิลเลเตอร์รูปสามเหลี่ยมแบบวงแหวน 3 ภาคแบบมีวงจรบัฟเฟอร์ผกผันที่ใช้ในการจำลองการทำงาน

โครงสร้างของวงจรออสซิลเลเตอร์รูปสามเหลี่ยมแบบวงแหวน 3 ภาคแบบมีวงจรมัลติเพล็กซ์ที่ใช้ในการจำลองการทำงานแสดงดังรูปที่ 4-3 โดยได้แบ่งการจำลองการทำงานของวงจรออกเป็น 2 ส่วน ดังนี้ ส่วนที่ 1 ได้ทดสอบโดยออกแบบค่าพารามิเตอร์จากสมการที่ (3-11) และดูค่าความผิดพลาดของค่าที่ได้จากผลการจำลองการทำงานใน Level 1 เปรียบเทียบกับค่าที่ได้จากการคำนวณของสมการที่ (3-11) ส่วนที่ 2 แสดงผลการจำลองการทำงานของวงจรใน Level 53 ซึ่งได้แก่สัญญาณแรงดันที่ส่วนต่างๆและสัญญาณขาออกของวงจรรวมทั้งค่ากำลังไฟฟ้าทั้งหมดของวงจร

ส่วนที่ 1: Level 1

หาค่าความผิดพลาดของค่าที่ได้มาจากการจำลองการทำงานของวงจรออสซิลเลเตอร์รูปสามเหลี่ยมแบบวงแหวน 3 ภาคแบบมีวงจรมัลติเพล็กซ์เทียบกับสมการที่ (3-11) ดังนี้

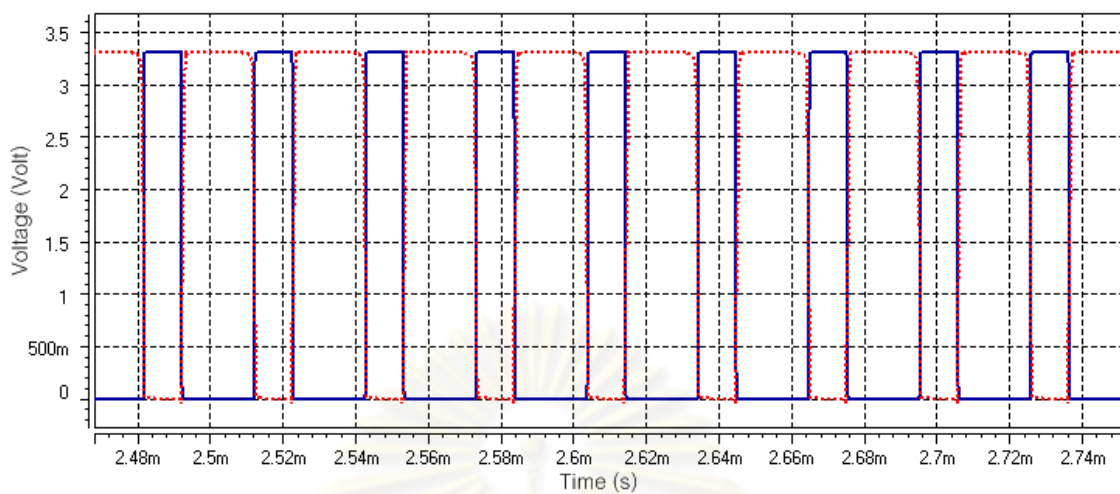
เมื่อวัดค่าความถี่ของผลการจำลองการทำงานจากสัญญาณแรงดันขาออกจะได้เท่ากับ 32543.9 เฮิรตซ์

$$\therefore \text{ความผิดพลาด} = \left(\frac{32768 - 32543.9}{32768} \right) \times 100\% = 0.68 \%$$

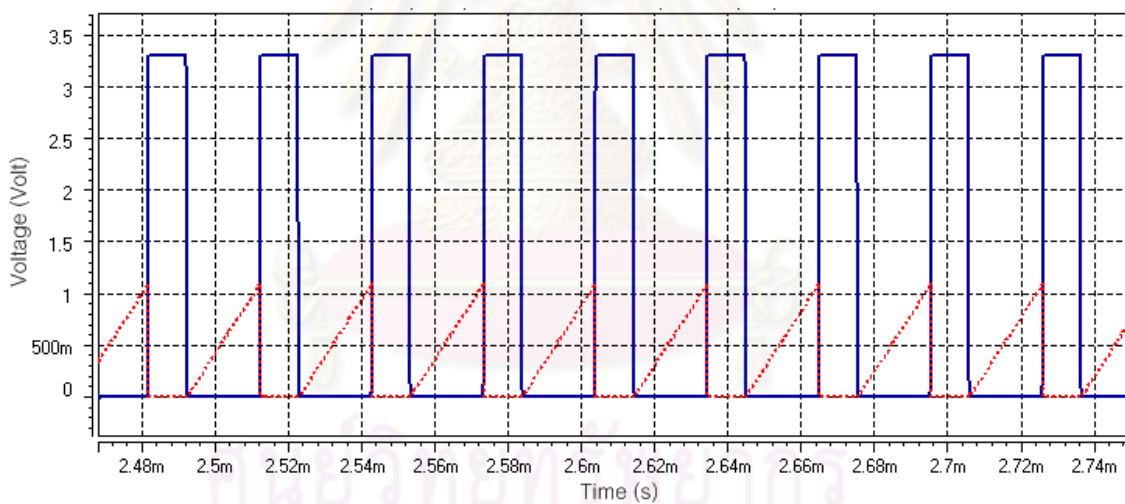
ความผิดพลาดนี้เกิดได้จากการวัดค่าจากผลการจำลองการทำงานซึ่งเราต้องกำหนดเองด้วยสายตา ดังนั้นจึงไม่มีความแม่นยำเพียงพอ ทำให้ค่าความถี่ที่ได้ออกมาผิดไปจากสูตรได้

ส่วนที่ 2: Level 53

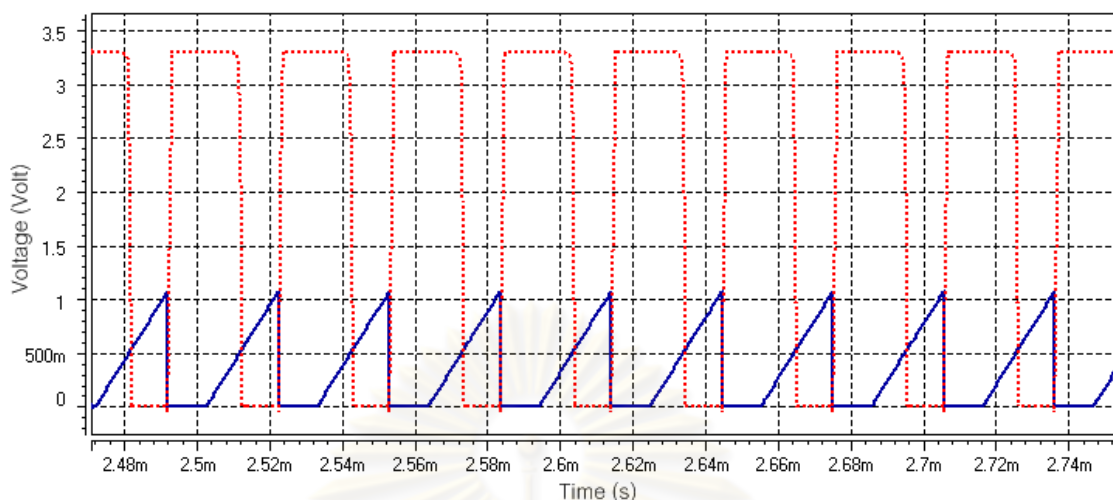
ผลการจำลองการทำงานของวงจรมัลติเพล็กซ์ที่ 4-3 แสดงสัญญาณแรงดันที่จุดต่างๆ รวมทั้งคาบของสัญญาณขาออก ดังนี้



รูปที่ 4-4 สัญญาณแรงดันแตรน-ซอสของทรานซิสเตอร์ M4 (เส้นประ) กับสัญญาณแรงดันแตรน-ซอสของทรานซิสเตอร์ M5 (เส้นทึบ)



รูปที่ 4-5 สัญญาณแรงดันแตรน-ซอสของทรานซิสเตอร์ M5 (เส้นทึบ) กับสัญญาณแรงดันขาออก V_1 (เส้นประ)



รูปที่ 4-6 สัญญาณแรงดันเดรน-ซอสของทรานซิสเตอร์ M4 (เส้นประ) กับสัญญาณแรงดันขาออก V_3 (เส้นทึบ)

เมื่อเราออกแบบวงจรตามรูปที่ 4-3 ทำให้แรงดันเดรน-ซอสของทรานซิสเตอร์ M4 มีค่าเพิ่มขึ้นเท่ากับ V_{DD} และแรงดันเดรน-ซอสของทรานซิสเตอร์ M5 จะได้สัญญาณที่กลับกันดังรูปที่ 4-4 จึงส่งผลให้กระแสเดรนของทรานซิสเตอร์ M1 เพิ่มขึ้น และจากผลการจำลองในรูปที่ 4-5 จะได้ว่า เมื่อแรงดันเดรน-ซอสของทรานซิสเตอร์ M5 มีค่าเพิ่มขึ้นเท่ากับ V_{DD} จะทำให้กระแสเดรนของทรานซิสเตอร์ M1 มีค่าเพิ่มขึ้น ดังนั้นจึงทำให้แรงดันขาออก V_1 คายประจุจาก $2V_{th}$ ลงมาที่ 0 ทันที และสุดท้ายจากรูปที่ 4-6 ได้แสดงให้เห็นสัญญาณแรงดันเดรน-ซอสของ M4 จะมีค่าลดลงเท่ากับ 0 เมื่อสัญญาณแรงดันขาออก V_3 ที่อยู่ในช่วงอัดประจุมีค่าเท่ากับ V_{th} ซึ่งทำให้ M4 เริ่มเปิด (ON) และเมื่อสัญญาณแรงดันขาออก V_3 มีค่าเพิ่มขึ้นเท่ากับ $2V_{th}$ สัญญาณแรงดันเดรน-ซอสของ M4 มีค่าเพิ่มขึ้นเท่ากับ V_{DD} เพราะ M4 จะเริ่มปิด (OFF) เนื่องจากเป็นช่วงที่ตัวเก็บประจุที่แรงดันขาออก V_3 ได้คายประจุจนหมด ซึ่งการต่อวงจรดังรูปที่ 4-3 จะช่วยเพิ่มอัตราขยายวงรอบของแต่ละภาคจึงส่งผลให้กระแสเดรนของแต่ละภาคเพิ่มขึ้น ดังนั้นสัญญาณแรงดันขาออก V_3 ที่ได้จึงลดลงจาก $2V_{th}$ เป็น 0 ทันทีและรอบจนกระทั่งสัญญาณแรงดันขาออก V_3 ในช่วงอัดประจุมีค่าเท่ากับ V_{th} ใหม่ถึงจะเริ่มเปิดใหม่อีกครั้งหนึ่งซึ่งจะเห็นว่าสามารถแก้ปัญหาผลของความกว้างของทรานซิสเตอร์ได้

จากที่กล่าวมาแล้วในหัวข้อที่ 3.6 เราจะปรับค่าความต้านทานเพื่อให้ได้ค่าความถี่ที่ใกล้เคียงกับค่าที่ต้องการมากที่สุด เพราะเนื่องจากการจำลองผลการทำงานใน Level 53 จะมีสมการที่ซับซ้อน

มากเกินไปที่จะคำนวณมือได้ ดังนั้นค่าที่ได้จึงไม่เป็นไปตามสมการที่ (3-11) เหมือนกับการจำลอง ผลการทำงานใน Level 1 เราจึงต้องใช้วิธีปรับค่าความต้านทานแทนเพื่อให้ได้ความถี่ออกมาใกล้เคียง กับค่าที่ต้องการมากที่สุด

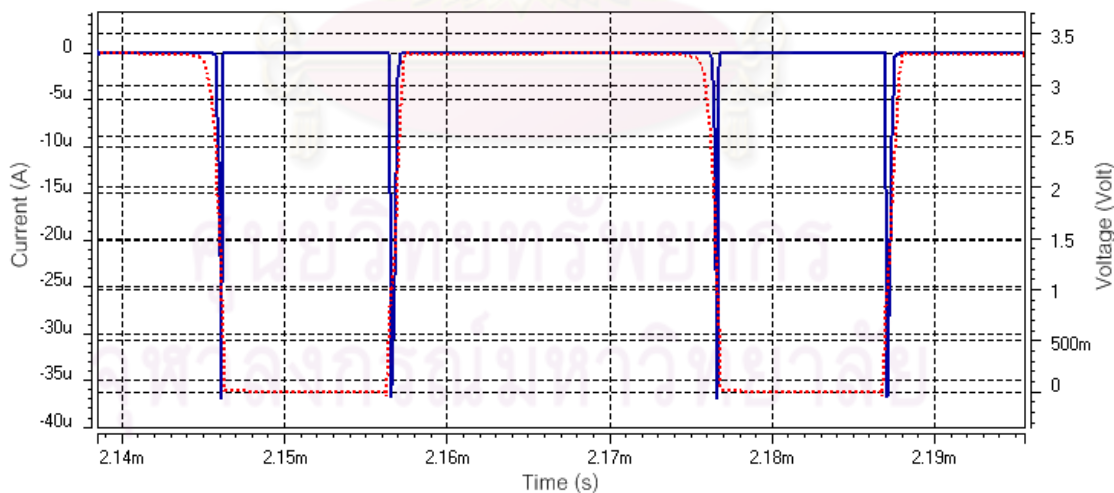
ทำการวัดค่าของคาบจากผลการจำลองการทำงานของสัญญาณแรงดันขาออก V_3 เมื่อปรับ ค่าความต้านทานแล้ว โดยใช้ความต้านทานเท่ากับ 452.675 กิโลโอห์ม จะได้คาบเท่ากับ 30.5162 ไมโครวินาที และจะคำนวณเป็นค่าความถี่ได้เท่ากับ 32769.48 เฮิร์ตซ์ ดังนั้นจะหาค่าความผิดพลาด ของความถี่ที่ได้มาจากผลการจำลองการทำงานของวงจรออสซิลเลเตอร์รูปสามเหลี่ยมแบบวงแหวน 3 ภาคแบบมีวงจรมัลติเพล็กซ์เทียบกับค่าความถี่ที่ต้องการ ได้ดังนี้

เมื่อวัดค่าความถี่ของผลการจำลองการทำงานได้เท่ากับ 32769.48 เฮิร์ตซ์

$$\therefore \text{ความผิดพลาด} = \left(\frac{32768 - 32769.48}{32768} \right) \times 100\% = 0.004 \%$$

ค่ากำลังไฟฟ้าที่วัดได้จากการจำลองการทำงาน จะได้

ค่ากำลังไฟฟ้าเท่ากับ 10.47 ไมโครวัตต์

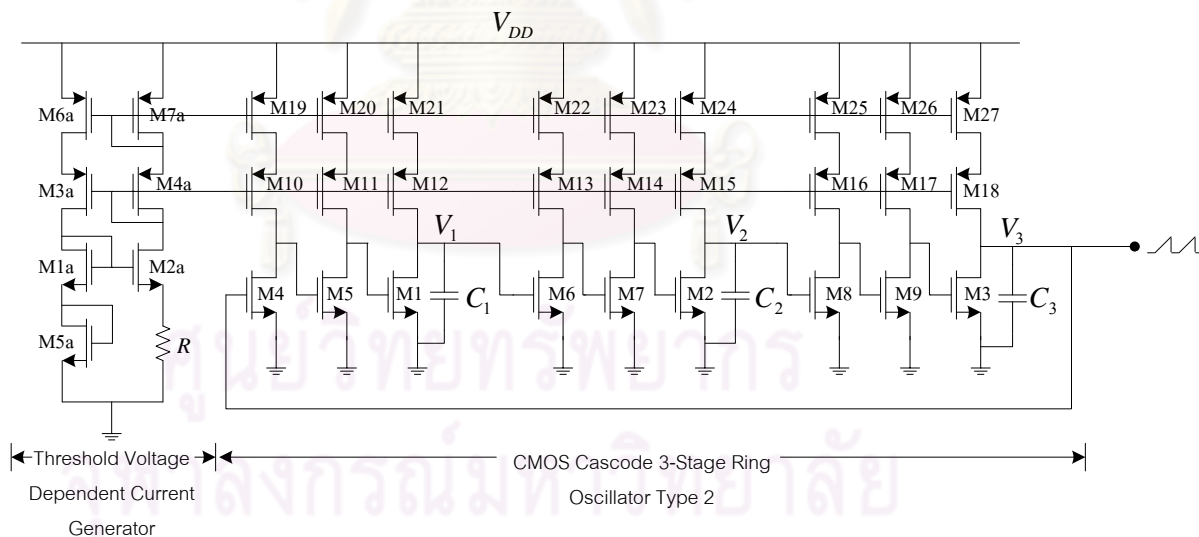


รูปที่ 4-7 กระแสที่เกิดขึ้นของวงจรพหุคูณแบบพื้นฐาน (เส้นทึบ) กับแรงดันเดรน-ซอสของทรานซิสเตอร์ M4 (เส้นประ)

จากการจำลองการทำงานจะเห็นว่าค่ากำลังไฟฟ้าที่วัดได้มีค่าเท่ากับ 10.47 ไมโครวัตต์ เป็นค่าที่สูง และไม่ตรงกับค่าที่คำนวณมาได้ในหัวข้อที่ 3.3 ที่เป็นเช่นนี้เกิดเนื่องจากกระแสที่เกิดขึ้นในช่วงเวลาการสับสวิตช์ของวงจรมกผันแบบพื้นฐานที่เกิดขึ้นเป็นช่วงๆ นั้นมีค่ามากซึ่งมีค่าเท่ากับ 37 ไมโครแอมป์ดังรูปที่ 4-7 จึงทำให้ค่ากำลังไฟฟ้าของวงจรมีค่ามาก

4.2.2 ผลการจำลองของวงจรรอสซิลเลเตอร์รูปสามเหลี่ยมแบบวงแหวน 3 ภาคแบบมีวงจรมกผัน

โครงสร้างของวงจรรอสซิลเลเตอร์รูปสามเหลี่ยมแบบวงแหวน 3 ภาคแบบมีวงจรมกผันที่ใช้ในการจำลองการทำงานของวงจรแสดงดังรูปที่ 4-8 โดยได้แบ่งการจำลองการทำงานของวงจรมกผันเป็น 2 ส่วนเหมือนกับในหัวข้อ 4.2.1 ดังนี้ ส่วนที่ 1 ได้ทดสอบโดยออกแบบค่าพารามิเตอร์จากสมการที่ (3-11) และดูค่าความผิดพลาดของความถี่ที่ได้จากผลการจำลองการทำงานใน Level 1 เปรียบเทียบกับความถี่ที่ได้จากการคำนวณของสมการที่ (3-11) ส่วนที่ 2 แสดงผลการจำลองการทำงานของวงจรใน Level 53 ซึ่งได้แก่สัญญาณแรงดันที่ส่วนต่างๆ และสัญญาณขาออกของวงจรรวมทั้งค่ากำลังไฟฟ้าทั้งหมดของวงจร



รูปที่ 4-8 โครงสร้างของวงจรรอสซิลเลเตอร์รูปสามเหลี่ยมแบบวงแหวน 3 ภาคแบบมีวงจรมกผัน
มกผันที่ใช้ในการจำลองการทำงาน

ส่วนที่ 1: Level 1

หาค่าความผิดพลาดของค่าที่ได้มาจากผลการจำลองการทำงานของวงจรออสซิลเลเตอร์รูปสามเหลี่ยมแบบวงแหวน 3 ภาคแบบมีวงจรถยายผกผันเทียบกับสมการที่ (3-11) ดังนี้

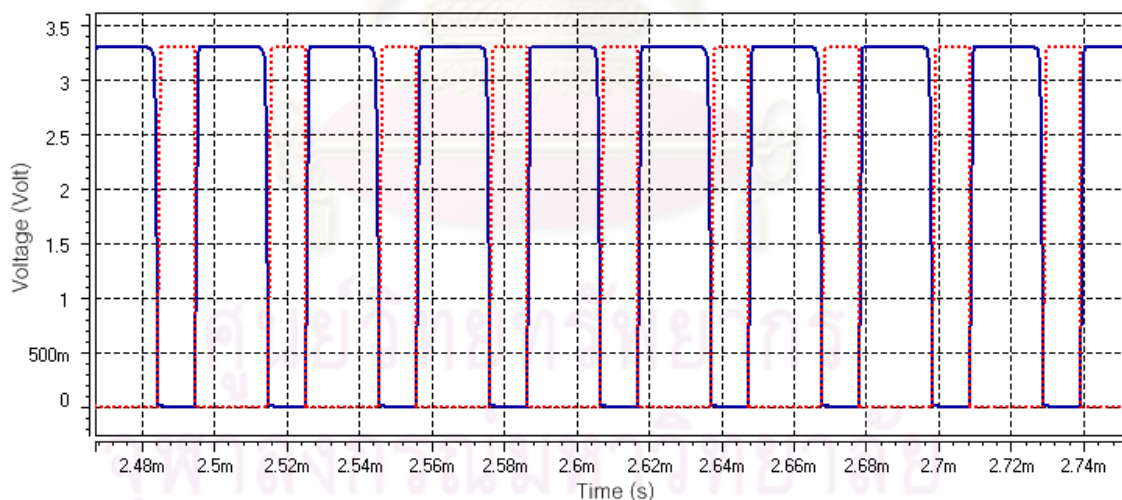
เมื่อวัดค่าความถี่ของผลการจำลองการทำงานจากสัญญาณแรงดันขาออกจะได้เท่ากับ 32558.2 เฮิรตซ์

$$\therefore \text{ความผิดพลาด} = \left(\frac{32768 - 32558.2}{32768} \right) \times 100\% = 0.64 \%$$

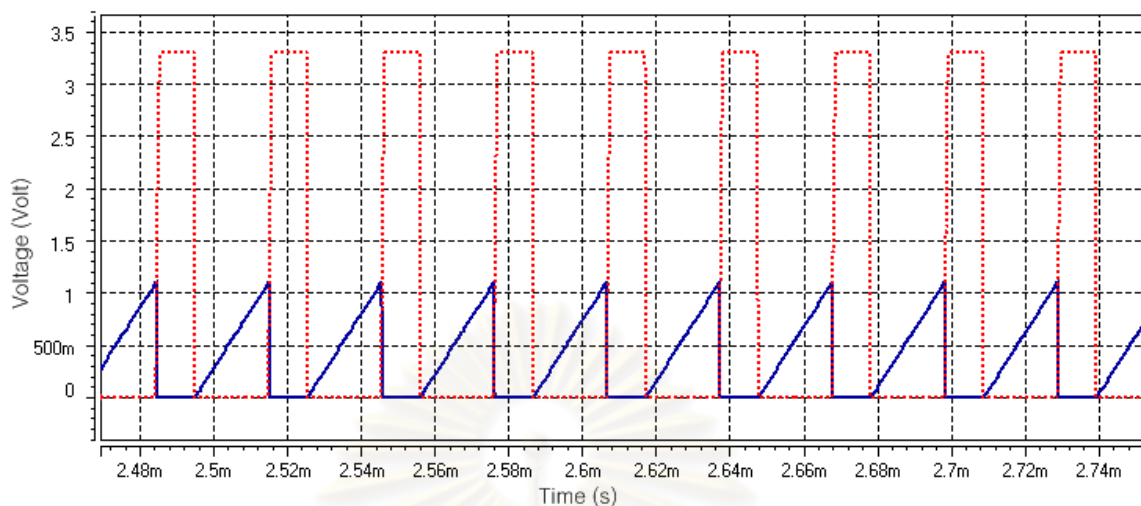
ความผิดพลาดนี้เกิดได้จากการวัดค่าจากผลการจำลองการทำงานซึ่งเราต้องกำหนดเองด้วยสายตา ดังนั้นจึงไม่มีความแม่นยำเพียงพอ ทำให้ค่าความถี่ที่ได้ออกมาผิดไปจากสูตรได้

ส่วนที่ 2: Level 53

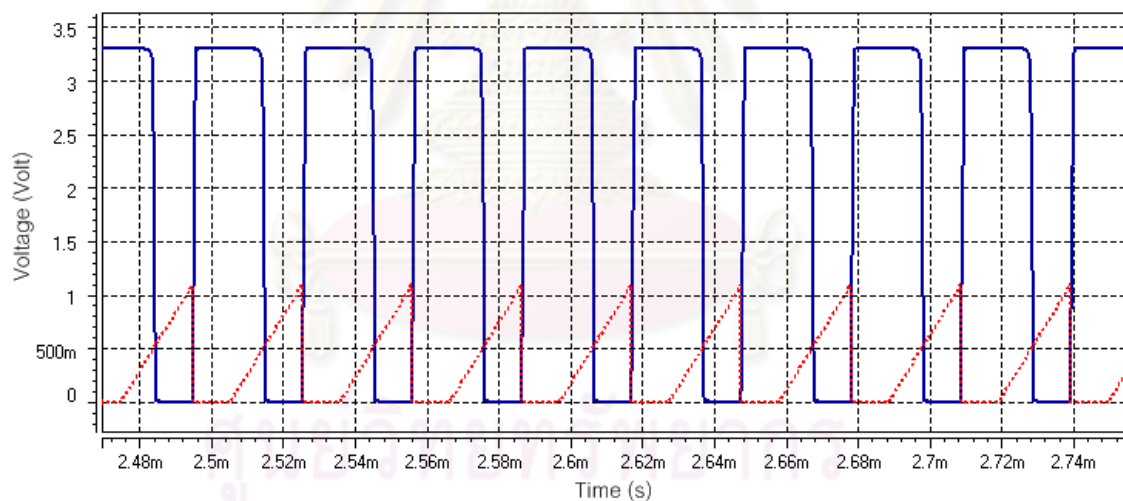
ผลการจำลองการทำงานของวงจรรูปที่ 4-8 แสดงสัญญาณแรงดันที่จุดต่างๆ รวมทั้งคาบของสัญญาณขาออก ดังนี้



รูปที่ 4-9 สัญญาณแรงดันแตรน-ซอสของทรานซิสเตอร์ M4 (เส้นทึบ) กับสัญญาณแรงดันแตรน-ซอสของทรานซิสเตอร์ M5 (เส้นประ)



รูปที่ 4-10 สัญญาณแรงดันเดรน-ซอสของทรานซิสเตอร์ M5 (เส้นประ) กับสัญญาณแรงดันขาออก V_1 (เส้นทึบ)



รูปที่ 4-11 สัญญาณแรงดันเดรน-ซอสของทรานซิสเตอร์ M4 (เส้นทึบ) กับสัญญาณแรงดันขาออก V_3 (เส้นประ)

เมื่อเราออกแบบวงจรตามรูปที่ 4-8 ทำให้แรงดันเดรน-ซอสของทรานซิสเตอร์ M4 มีค่าเพิ่มขึ้นเท่ากับ V_{DD} และแรงดันเดรน-ซอสของทรานซิสเตอร์ M5 จะได้สัญญาณที่กลับกันดังรูปที่ 4-9 จึงส่งผลให้กระแสเดรนของทรานซิสเตอร์ M1 เพิ่มขึ้น จากผลการจำลองในรูปที่ 4-10 จะได้ว่า เมื่อแรงดัน

เดรน-ซอสของทรานซิสเตอร์ M5 มีค่าเพิ่มขึ้นเท่ากับ V_{DD} จะทำให้กระแสเดรนของทรานซิสเตอร์ M1 มีค่าเพิ่มขึ้น ดังนั้นจึงทำให้แรงดันขาออก V_1 คายประจุจาก $2V_{th}$ ลงมาที่ 0 ทันที และสุดท้ายจากรูปที่ 4-11 ได้แสดงให้เห็นสัญญาณแรงดันเดรน-ซอสของ M4 จะมีค่าลดลงเท่ากับ 0 เมื่อสัญญาณแรงดันขาออก V_3 ที่อยู่ในช่วงอัดประจุมีค่าเท่ากับ V_{th} ซึ่งทำให้ M4 เริ่มเปิด(ON) และเมื่อสัญญาณแรงดันขาออก V_3 มีค่าเพิ่มขึ้นเท่ากับ $2V_{th}$ สัญญาณแรงดันเดรน-ซอสของ M4 มีค่าเพิ่มขึ้นเท่ากับ V_{DD} เพราะ M4 จะเริ่มปิด (OFF) เนื่องจากเป็นช่วงที่ตัวเก็บประจุที่แรงดันขาออก V_3 ได้คายประจุจนหมด ซึ่งการต่อวงจรดังรูปที่ 4-8 จะช่วยเพิ่มอัตราขยายวงรอบของแต่ละภาคจึงส่งผลให้กระแสเดรนของแต่ละภาคเพิ่มขึ้น ดังนั้นสัญญาณแรงดันขาออก V_3 ที่ได้จึงลดลงจาก $2V_{th}$ เป็น 0 ทันทีและรอจนกระทั่งสัญญาณแรงดันขาออก V_3 ในช่วงอัดประจุมีค่าเท่ากับ V_{th} ใหม่ถึงจะเริ่มเปิดใหม่อีกครั้งหนึ่งซึ่งจะเห็นว่าสามารถแก้ปัญหาผลของความกว้างของทรานซิสเตอร์ได้ จากที่กล่าวมานี้จะเห็นได้ว่าวงจรออสซิลเลเตอร์รูปสามเหลี่ยมแบบวงแหวน 3 ภาคแบบมีวงจขยายผลผันนั้นมีส่วนการทำงานของวงจรแบบเดียวกับวงจรออสซิลเลเตอร์รูปสามเหลี่ยมแบบวงแหวน 3 ภาคแบบมีวงจรับฟเฟอร์ผัน

ออกแบบวงจรโดยใช้วิธีปรับค่าความต้านทานแทนเพื่อให้ได้ความถี่ออกมาใกล้เคียงกับค่าที่ต้องการมากที่สุด จะทำแบบเดียวกับกรณีของวงจรออสซิลเลเตอร์รูปสามเหลี่ยมแบบวงแหวน 3 ภาคแบบมีวงจรับฟเฟอร์ผันดังนี้ ทำการวัดค่าของคาบจากผลการจำลองการทำงานของสัญญาณแรงดันขาออก V_3 เมื่อปรับค่าความต้านทานแล้ว โดยใช้ความต้านทานเท่ากับ 448 กิโลโอห์ม จะได้คาบเท่ากับ 30.5175 ไมโครวินาที และจะคำนวณเป็นค่าความถี่ได้เท่ากับ 32768.08 เฮิร์ตซ์ จะหาค่าความผิดพลาดของความถี่ที่ได้มาจากผลการจำลองการทำงานของวงจรออสซิลเลเตอร์รูปสามเหลี่ยมแบบวงแหวน 3 ภาคแบบมีวงจขยายผลผันเทียบกับค่าความถี่ที่ต้องการ ได้ดังนี้

เมื่อวัดค่าความถี่ของผลการจำลองการทำงานได้เท่ากับ 32768.08 เฮิร์ตซ์

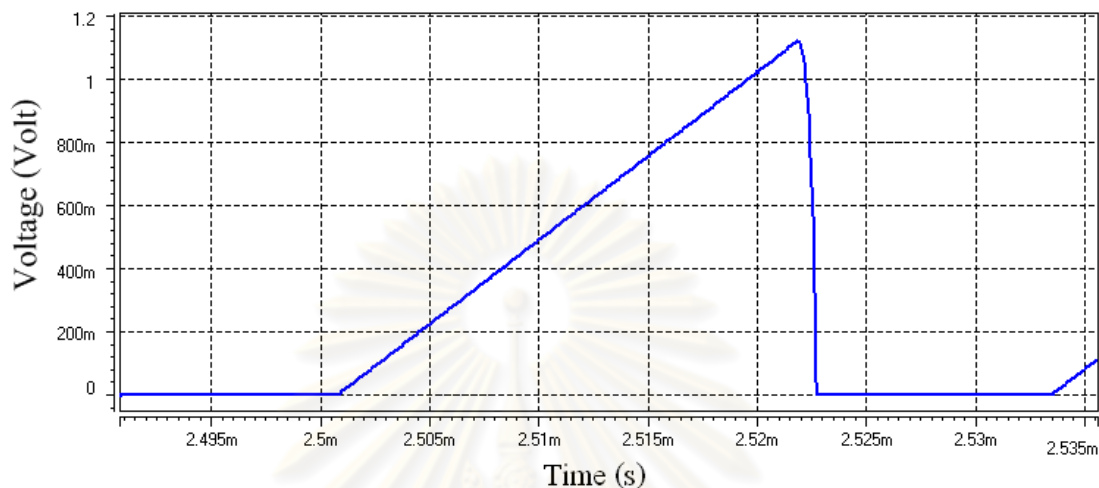
$$\therefore \text{ความผิดพลาด} = \left(\frac{32768 - 32768.08}{32768} \right) \times 100\% = 0.0002\%$$

ค่ากำลังไฟฟ้าที่วัดได้จากการจำลองการทำงาน จะได้

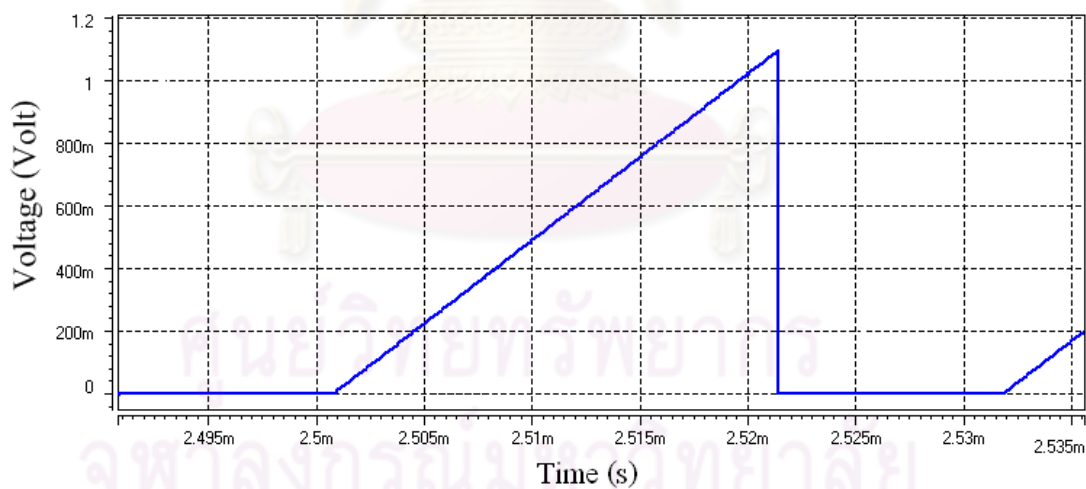
$$\text{ค่ากำลังไฟฟ้า} = 5.08 \text{ ไมโครวัตต์}$$

จากค่ากำลังไฟฟ้าที่วัดได้จากการจำลองการทำงานในข้างต้นจะเห็นว่ามีความน้อยตรงตามเงื่อนไขที่ต้องการออกแบบ และใกล้เคียงกับค่าที่คำนวณได้ในหัวข้อที่ 3.4 ดังนั้นในวิทยานิพนธ์นี้จึง

ออกแบบวงจรออสซิลเลเตอร์รูปสามเหลี่ยมแบบวงแหวน 3 ภาคแบบมีวงจรถายผกผันเพื่อเป็นวงจรให้กำเนิดสัญญาณความถี่ให้กับวงจรถายผกผันเวลาจริง



รูปที่ 4-12 สัญญาณแรงดันขาออก (V_3) ของวงจรออสซิลเลเตอร์พื้นฐานที่ได้จากการจำลองการทำงานของวงจรในรูปที่ 3-1 เมื่อใช้ W_n เท่ากับ 3.5 ไมโครเมตร

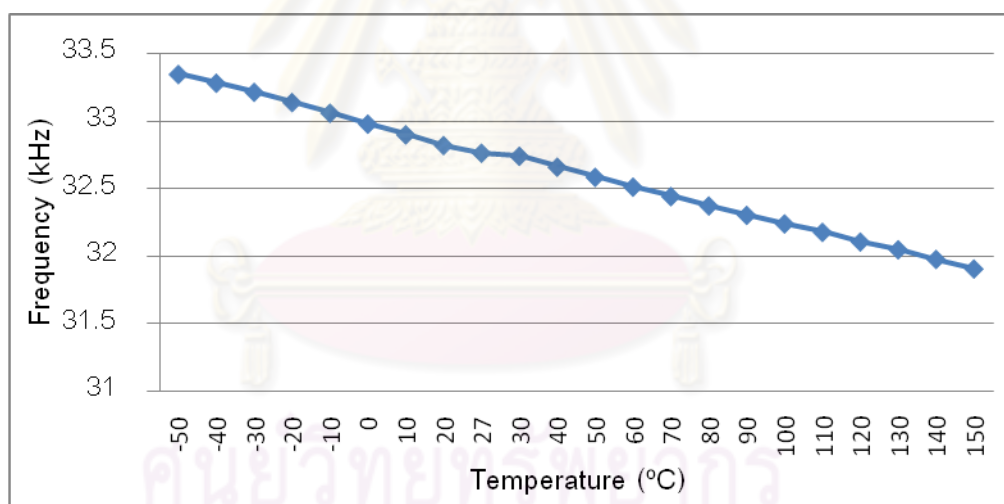


รูปที่ 4-13 สัญญาณแรงดันขาออก (V_3) ของวงจรออสซิลเลเตอร์รูปสามเหลี่ยมแบบวงแหวน 3 ภาคแบบมีวงจรถายผกผันที่ได้จากการจำลองการทำงานของวงจรในรูปที่ 4-8 เมื่อใช้ W_n เท่ากับ 3.5 ไมโครเมตร

เมื่อเปรียบเทียบสัญญาณแรงดันขาออกของวงจรรอสซิลเลเตอร์พื้นฐานดังรูปที่ 4-12 กับวงจรรอสซิลเลเตอร์รูปสามเหลี่ยมแบบวงแหวน 3 ภาคแบบมีวงจรรขยายผกผันที่ได้ออกแบบดังรูปที่ 4-13 จะพบว่าสัญญาณแรงดันขาออกของวงจรรอสซิลเลเตอร์ที่ออกแบบสามารถคายประจุได้ทันทีโดยออกแบบที่ค่าความกว้างของ NMOS (W_n) เท่ากับ 3.5 ไมโครเมตรเหมือนกัน

นอกจากเราจะทดสอบค่าของความถี่และค่าของกำลังไฟฟ้าให้ได้ค่าที่อยู่ในช่วงตามต้องการแล้วนั้น ยังต้องคำนึงถึงกระบวนการผลิตและการเปลี่ยนแปลงของสภาพแวดล้อมภายนอกอีกด้วย เพราะการเปลี่ยนแปลงทั้งสองอย่างนี้จะมีผลต่อพารามิเตอร์ภายในของวงจรรที่ออกแบบโดยตรง โดยจะทำให้สัญญาณความถี่ที่ออกมาไม่แม่นยำได้ ดังนั้นจึงต้องคำนึงถึงพารามิเตอร์ภายในที่เปลี่ยนแปลงตามกระบวนการผลิตและสภาพแวดล้อมภายนอก ได้แก่ อุณหภูมิ และค่าแรงดันไฟเลี้ยง โดยจะกล่าวต่อไป

4.3 ผลของอุณหภูมิ



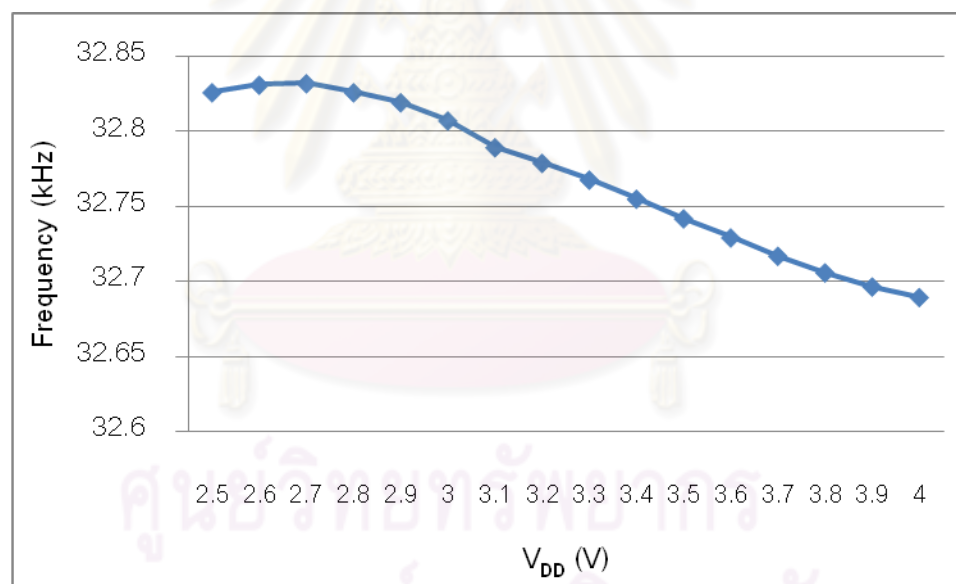
รูปที่ 4-14 ความสัมพันธ์ระหว่างอุณหภูมิกับความถี่ของวงจรรอสซิลเลเตอร์รูปสามเหลี่ยมแบบวงแหวน 3 ภาคแบบมีวงจรรขยายผกผัน

จากที่ได้กล่าวมาแล้วในหัวข้อ 4.2.2 เราได้เลือกวงจรรอสซิลเลเตอร์รูปสามเหลี่ยมแบบวงแหวน 3 ภาคแบบมีวงจรรขยายผกผันเพื่อใช้เป็นวงจรรให้กำเนิดสัญญาณความถี่ ดังนั้นในหัวข้อนี้จึงได้แสดงผลของอุณหภูมิที่เกิดขึ้นของวงจรรอสซิลเลเตอร์รูปสามเหลี่ยมแบบวงแหวน 3 ภาคแบบมีวงจรรขยายผกผัน โดยจะได้ว่าเนื่องจากอุณหภูมิมีผลโดยตรงกับค่าของแรงดันขีดเริ่มเปลี่ยนซึ่งได้กล่าว

ไปแล้วในบทที่ 2 เราจึงขอแสดงผลของแรงดันขีดเริ่มเปลี่ยนโดยการต่อวงจรทดสอบผลของแรงดันขีดเริ่มเปลี่ยนเป็นตัวให้กำเนิดกระแสให้กับวงจรออสซิลเลเตอร์ที่ออกแบบซึ่งจะสามารถทดสอบผลของอุณหภูมิได้ โดยแสดงความสัมพันธ์ระหว่างอุณหภูมิกับความถี่ของวงจรออสซิลเลเตอร์รูปสามเหลี่ยมแบบวงแหวน 3 ภาคแบบมีวงจรถายผกผันดังรูปที่ 4-14 ซึ่งจะได้ว่าในช่วงอุณหภูมิระหว่าง -50 ถึง 110 องศาเซลเซียสเป็นค่าที่ยอมรับได้เพราะมีความผิดพลาดของความถี่ไม่เกิน $\pm 2\%$ จึงสรุปได้ว่าวงจรให้กำเนิดสัญญาณความถี่ที่ออกแบบนี้สามารถใช้ได้ในช่วงอุณหภูมิระหว่าง -50 ถึง 110 องศาเซลเซียส

4.4 ผลของแรงดันไฟเลี้ยง

แรงดันไฟเลี้ยงสามารถเปลี่ยนแปลงได้ขณะที่วงจรทำงาน ดังนั้นเราจึงแสดงผลของแรงดันไฟเลี้ยงที่มีผลต่อวงจรออสซิลเลเตอร์รูปสามเหลี่ยมแบบวงแหวน 3 ภาคแบบมีวงจรถายผกผันดังรูปที่ 4-15



รูปที่ 4-15 ความสัมพันธ์ระหว่างแรงดันไฟเลี้ยงกับความถี่ของวงจรออสซิลเลเตอร์รูปสามเหลี่ยมแบบวงแหวน 3 ภาคแบบมีวงจรถายผกผัน

ซึ่งวงจรออสซิลเลเตอร์ที่ออกแบบนี้มีข้อจำกัดในการใช้ค่าของแรงดันไฟเลี้ยงจะขึ้นอยู่กับวงจรถายผกผันที่แปรตามแรงดันขีดเริ่มโดยจะกล่าวอีกทีในบทที่ 5 ซึ่งจากผลการจำลองการทำงานจะ

เห็นว่าในช่วงที่แรงดันไฟเลี้ยงใกล้เคียงกันจะได้ว่าความถี่ที่ได้จะมีการเปลี่ยนแปลงน้อยมาก โดยค่าการเปลี่ยนแปลงของความถี่ที่ได้เมื่อแรงดันไฟเลี้ยงมีค่าเปลี่ยนแปลงไปในแต่ละช่วงประมาณ 0.04%

4.5 สรุปท้ายบท

ในบทนี้ได้กล่าวถึงผลการจำลองการทำงานของวงจรถดเซยผลของแรงดันขีดเริ่มเปลี่ยนเพื่อศึกษาผลของความต้านทานของวงจรถดเซย และศึกษาผลการจำลองการทำงานของวงจรถดเซยผลของแรงดันขีดเริ่มเปลี่ยนเพื่อออกแบบทั้งสองแบบโดยจะได้ว่าวงจรถดเซยผลของแรงดันขีดเริ่มเปลี่ยนแบบวงแหวน 3 ภาคแบบมีวงจรถดเซยผลของแรงดันขีดเริ่มเปลี่ยนที่เหมาะสมที่จะใช้เป็นวงจรถดเซยผลของแรงดันขีดเริ่มเปลี่ยนมากกว่าวงจรถดเซยผลของแรงดันขีดเริ่มเปลี่ยนแบบมีวงจรถดเซยผลของแรงดันขีดเริ่มเปลี่ยนเพราะกินกำลังไฟฟ้าน้อยกว่า โดยมีช่วงของอุณหภูมิที่ใช้งานได้เท่ากับ -50 ถึง 110 องศาเซลเซียสซึ่งได้จากผลการจำลองของโปรแกรม H-spice และสุดท้ายได้แสดงผลของแรงดันไฟเลี้ยงของวงจรถดเซยผลของแรงดันขีดเริ่มเปลี่ยนโดยจะได้ว่าค่าของความถี่ที่ได้จะเปลี่ยนแปลงน้อยมากในแต่ละช่วงประมาณ 0.04% เมื่อค่าของแรงดันไฟเลี้ยงเปลี่ยนแปลง

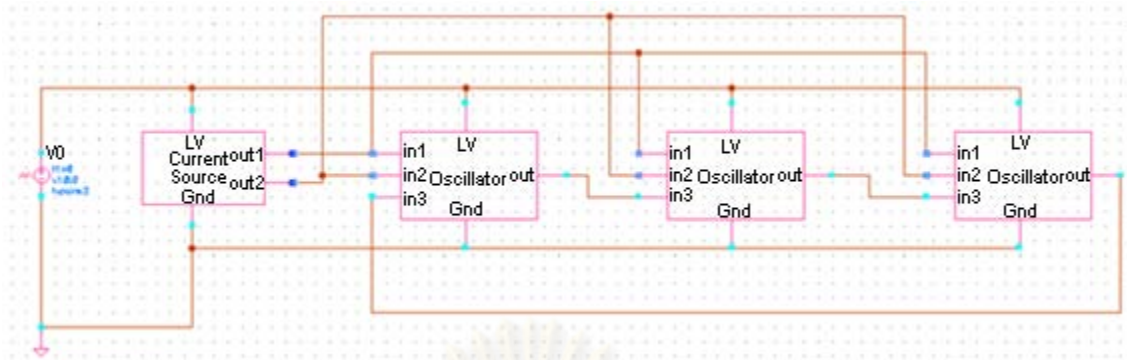
บทที่ 5

การวาดลายวงจร

เมื่อได้ออกแบบวงจรให้สามารถทำงานได้ตามที่กำหนดแล้ว ขั้นตอนต่อไปในการออกแบบคือการนำวงจรที่ได้ออกแบบไว้มาเขียนเป็นลายวงจร เพื่อส่งลายวงจรดังกล่าวให้กับทางโรงงานเจ็ทสารเพื่อทำการผลิตวงจรรวมต่อไป การวาดลายวงจร [14] ทำได้โดยใช้โปรแกรมวาดลายวงจร (Layout) ลายวงจรที่วาดนั้นจะต้องไม่ขัดกับข้อกำหนดของโรงงาน โดยสามารถตรวจสอบได้โดยกระบวนการดีอาร์ซี (DRC หรือ Design Rule Check) หลังจากวาดลายวงจรเสร็จสิ้นแล้วจะต้องทำการตรวจสอบลายวงจรโดยการสกัด (Extract) ข้อมูลจากลายวงจรมาเป็นอุปกรณ์ต่างๆ เช่น ทรานซิสเตอร์ ตัวเก็บประจุ ตลอดจนเงื่อนไขต่าง ๆ ของวงจร จากนั้นจึงนำไปเปรียบเทียบกับผังวงจร (Schematic) ที่ได้ออกแบบ โดยเรียกระบวนการนี้ว่าแอลวีเอส (LVS หรือ Layout Versus Schematic) ซึ่งเมื่อตรวจสอบเรียบร้อยแล้วจึงส่งข้อมูลผังวงจรทั้งหมดให้กับโรงงานเจ็ทสารต่อไป

รายละเอียดของการวาดลายวงจรที่จะกล่าวถึงคือ ส่วนของวงจรมอดแวนะล็อกซึ่งได้แก่ วงจรออสซิลเลเตอร์รูปสามเหลี่ยมแบบวงแหวน 3 ภาคแบบมีวงจรขยายผกผันโดยจะใช้กระแสจากวงจรชดเชยผลของแรงดันขีดเริ่มเปลี่ยน และแสดงการหาค่าสัญญาณแรงดันไฟเลี้ยงในช่วงที่สามารถใช้ได้ของวงจรออสซิลเลเตอร์ที่ออกแบบโดยต้องคำนึงถึงวงจรชดเชยผลของแรงดันขีดเริ่มเปลี่ยน โดยการวาดวงจรในส่วนนี้จะทำการวาดด้วยมือทั้งหมด

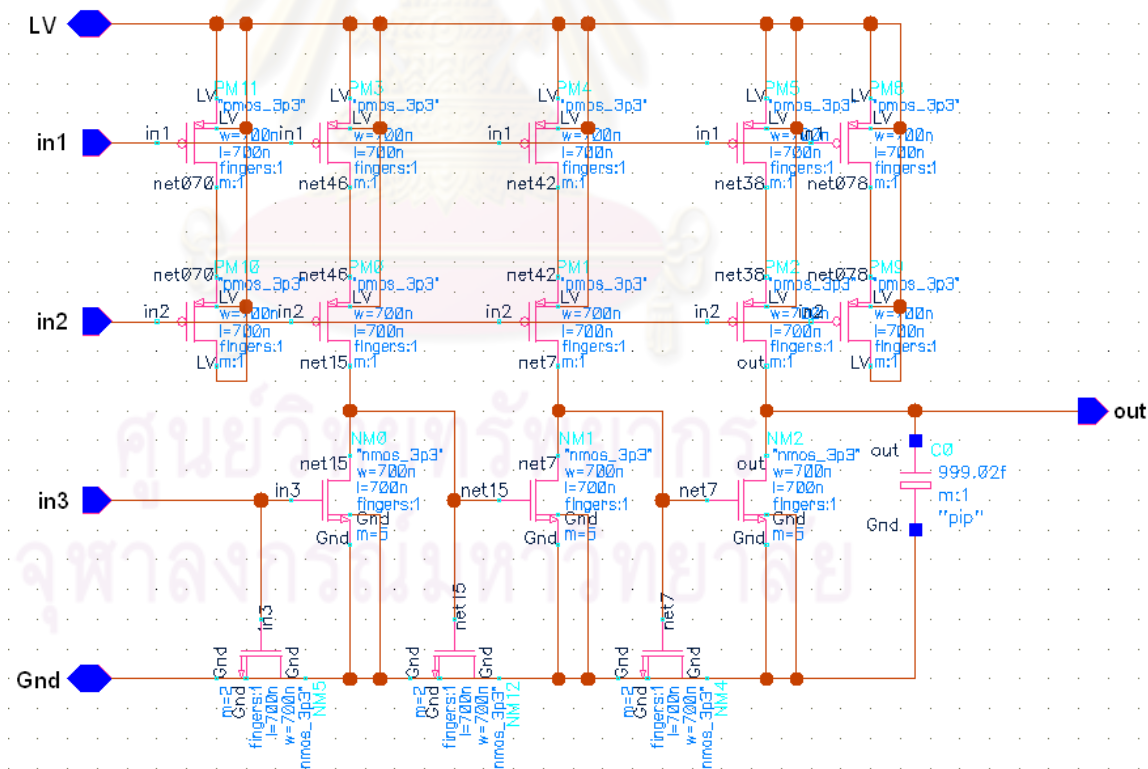
เนื่องจากวงจรออสซิลเลเตอร์ที่ออกแบบมีทั้งหมด 3 ภาคโดยที่ในแต่ละภาคจะมีองค์ประกอบภายในที่เหมือนกัน ดังนั้นในการวาดลายวงจรของวงจรออสซิลเลเตอร์ที่ออกแบบเราจะวาดลายวงจรเพียงภาคเดียวแล้วเขียนสัญลักษณ์ของวงจรที่ใช้ในการจำลองการทำงานขึ้นมามีรูปที่ 5-1 เพื่อใช้แสดงภาพรวมของวงจรทั้งหมด และเชื่อมวงจรชดเชยผลของแรงดันขีดเริ่มเปลี่ยนกับวงจรออสซิลเลเตอร์ทั้ง 3 ภาคที่ออกแบบเข้าด้วยกัน เพื่อที่จะใช้ในการจำลองการทำงานของการวาดลายวงจรต่อไป



รูปที่ 5-1 สัญลักษณ์ของวงจรออสซิลเลเตอร์ 3 ภาคที่รับกระแสจากวงจรชดเชยผลของแรงดันขีดเริ่มเปลี่ยน

5.1 การวาดลายวงจรของวงจรออสซิลเลเตอร์ที่ออกแบบ

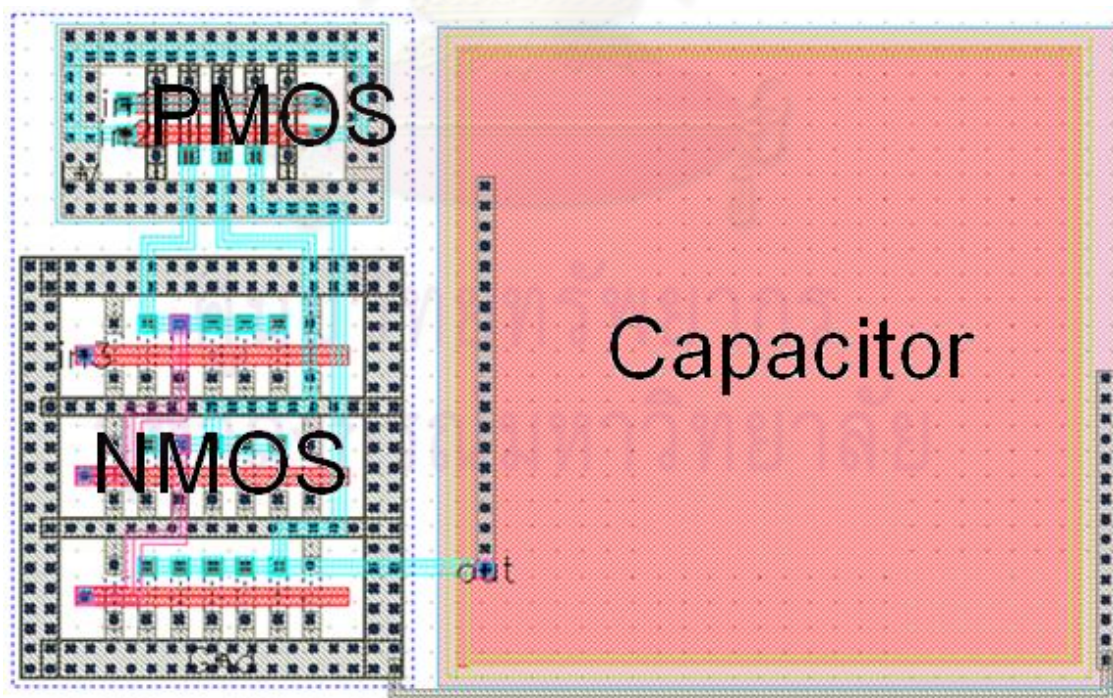
การหาผลการจำลองการทำงานของการทำงานของการวาดลายวงจรจำเป็นต้องเขียนผังวงจรควบคุมไปด้วยเสมอโดยผังวงจรจะต้องมีองค์ประกอบภายในที่เหมือนกับลายวงจรที่วาดเสมอ



รูปที่ 5-2 ผังวงจรของวงจรออสซิลเลเตอร์ที่ออกแบบ

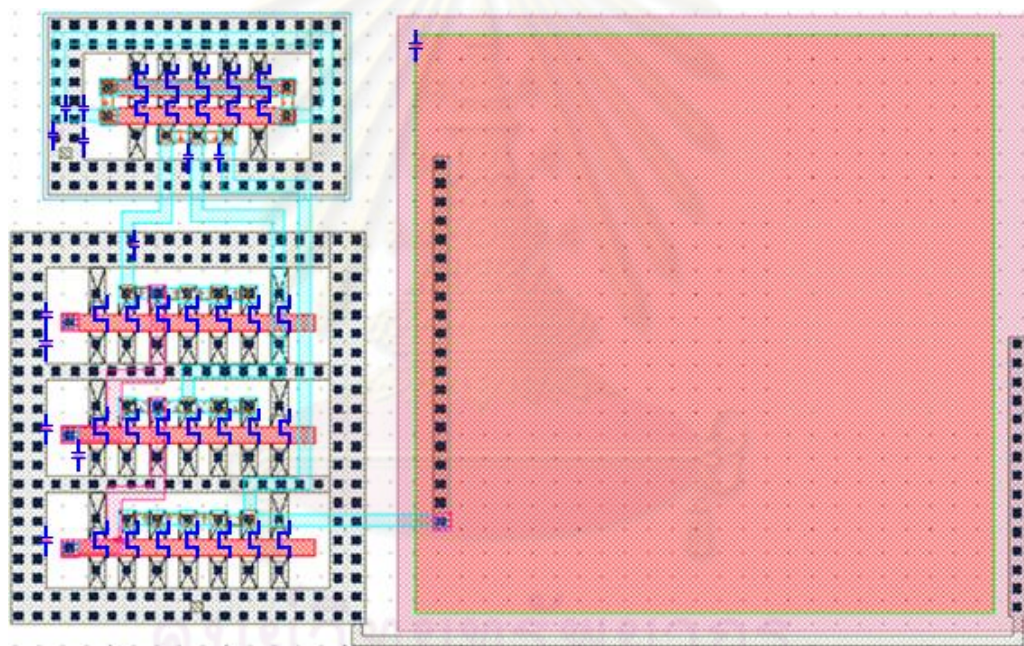
ผังวงจรของวงจรออสซิลเลเตอร์ที่ออกแบบตามการวาดลายวงจรแสดงดังรูปที่ 5-2 โดยจะเห็นว่าทรานซิสเตอร์ที่อยู่ในผังวงจรที่ออกแบบมีจำนวนมากกว่าทรานซิสเตอร์ที่อยู่ในโครงสร้างของวงจรออสซิลเลเตอร์ที่ออกแบบเพื่อใช้ในการจำลองการทำงานของโปรแกรม H-spice ดังที่ได้แสดงในรูปที่ 4-8 ที่เป็นเช่นนี้เกิดจากข้อกำหนดในการวาดลายวงจรโดยจะกล่าวต่อไป

การวาดลายวงรดังรูปที่ 5-3 แสดงให้เห็นว่าหากเป็นอุปกรณ์ที่ต้องการความเข้าคู่กัน (matching) ในที่นี้ได้แก่วงจรสะท้อนกระแสจะใช้หลักการวางให้มีจุดศูนย์กลางอยู่ที่เดียวกันและวางให้ใกล้กันมากที่สุด และจะเห็นว่าทรานซิสเตอร์ทั้งชนิด PMOS และ NMOS ต่างก็มีทรานซิสเตอร์ชนิดเดียวกันนั้นคร่อมปิดทั้งสองด้าน (เรียกว่า Dummy gate) ที่เป็นเช่นนี้เนื่องจากต้องการให้ผลการจำลองที่ได้ไม่ผิดไปจากที่ต้องการ เพราะการต่อแบบนี้จะทำให้ทรานซิสเตอร์ที่ต้องการใช้จริงนั้นมองเห็นว่ารอบข้างก็เป็นทรานซิสเตอร์เหมือนกัน ชนิดเดียวกัน และมีขนาดเท่ากันจึงทำให้ไม่ผิดปกติในการจำลองการทำงาน เมื่อวาดลายวงจรเสร็จแล้วต้องนำมาผ่านการตรวจสอบโดยกระบวนการดีอาร์ซีก่อนเพื่อที่จะตรวจสอบวงจรที่วาดให้ผ่านข้อกำหนดตามที่โรงงานต้องการ เช่น จะตรวจสอบว่าการเว้นระยะห่างในสารชนิดต่างๆอยู่ในเงื่อนไขที่กำหนดหรือไม่ และจุดเชื่อมต่อต่างๆได้มีการเชื่อมต่อกันจริงหรือไม่ เป็นต้น โดยในการวาดลายวงรดังนี้ได้ใช้เทคโนโลยี 0.35 ไมโครเมตร

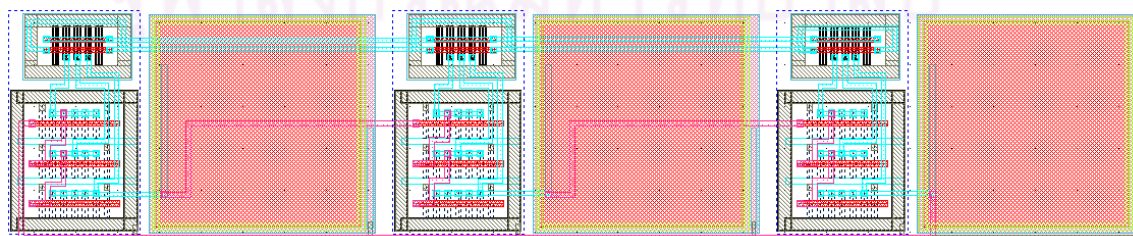


รูปที่ 5-3 การวาดลายวงจรใน 1 ภาคของวงจรออสซิลเลเตอร์ที่ออกแบบ

เมื่อวาดลายวงจรกับเขียนผังวงจรใน 1 ภาคของวงจรออสซิลเลเตอร์ที่ออกแบบและตรวจสอบ โดยกระบวนการดีอาร์ซีเสร็จแล้วจะนำลายวงจรมาทำการสกัด (Extract) ดังรูปที่ 5-4 โดยจะสกัด ข้อมูลจากลายวงจรมาเป็นอุปกรณ์ต่างๆซึ่งจะเห็นว่าประกอบด้วยทรานซิสเตอร์ ตัวเก็บประจุ ตลอดจนจโนหนดต่างๆของวงจร จากนั้นจึงนำไปผ่านกระบวนการแอลวีเอสโดยจะเปรียบเทียบลายวงจร กับผังวงจรที่ได้ออกแบบ และเมื่อผ่านกระบวนการแอลวีเอสแล้วจะนำมาจำลองการทำงานเพื่อ แสดงผลการจำลองการทำงานที่ได้จากการวาดลายวงจร ซึ่งเมื่อตรวจสอบเรียบร้อยแล้วจึงส่งข้อมูลผัง วงจรทั้งหมดให้กับโรงงานเจือสารต่อไป ส่วนในรูปที่ 5-5 ได้แสดงการวาดลายวงจรรวมของวงจร ออสซิลเลเตอร์ที่ออกแบบทั้ง 3 ภาค และเมื่อวัดขนาดลายวงจรของวงจรออสซิลเลเตอร์ทั้ง 3 ภาคที่ ออกแบบนี้จะได้ 135.925×27.525 นาโนเมตร ดังนั้นจะได้พื้นที่เท่ากับ 3.741 ตารางไมโครเมตร



รูปที่ 5-4 การสกัดข้อมูลจากลายวงจรใน 1 ภาคของวงจรออสซิลเลเตอร์ที่ออกแบบ



รูปที่ 5-5 การวาดลายวงจรของวงจรออสซิลเลเตอร์ที่ออกแบบทั้ง 3 ภาค

5.2 ผลการจำลองการทำงานของกรวดลายวงจรของวงจรออสซิลเลเตอร์ที่ออกแบบ

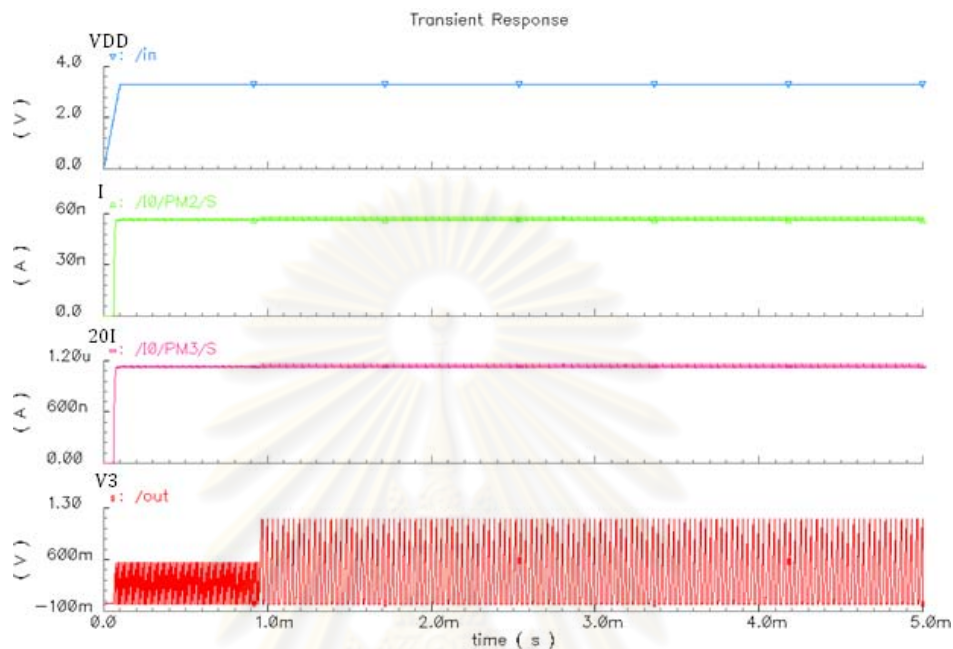
ผลการจำลองการทำงานทั้งหมดของวงจรรูปที่ 5-1 แสดงดังรูปที่ 5-6 โดยจะประกอบด้วยสัญญาณของแรงดันไฟเลี้ยง ค่ากระแสทั้งสองด้านของวงจรถดเชยผลของแรงดันขีดเริ่มเปลี่ยนซึ่งเป็นกระแสที่มาจากรูปที่ 3-23 และสัญญาณแรงดันขาออกของวงจรออสซิลเลเตอร์ที่ออกแบบที่ได้จากการวาดลายวงจรแสดงดังรูปที่ 5-7 ซึ่งจะแสดงการวัดสัญญาณแรงดันขาออกที่ได้จากการจำลองการทำงานของการวาดลายวงจรของวงจรออสซิลเลเตอร์ที่ออกแบบโดยเลือกค่าความต้านทานที่ได้รับค่ามาแล้วจากการจำลองในโปรแกรม H-spice ซึ่งมีค่าเท่ากับ 448 กิโลโอห์ม ดังนั้นจะวัดความถี่ได้เท่ากับ 32006.86 เฮิร์ตซ์ ในการจำลองนี้ได้ทดสอบในอุณหภูมิ 27 องศาเซลเซียส แรงดันไฟเลี้ยงเท่ากับ 3.3 โวลต์ ส่วนขนาดของทรานซิสเตอร์และค่าของตัวเก็บประจุใช้ค่าเดียวกับค่าที่ใช้ในการจำลองของโปรแกรม H-spice โดยได้ออกแบบไว้ในบทที่ 3 ในเมื่อความถี่ที่วัดได้ยังไม่ได้ตามค่าที่ต้องการ ดังนั้นเราจะปรับค่าความต้านทานใหม่เพื่อหาค่าความถี่ให้ได้ใกล้เคียงกับค่าที่ต้องการมากยิ่งขึ้นโดยจะได้ค่าความต้านทานที่ปรับใหม่เท่ากับ 435 กิโลโอห์ม และวัดค่าความถี่ของผลการจำลองการทำงานของกรวดลายวงจรได้เท่ากับ 32767.44 เฮิร์ตซ์

$$\therefore \text{หาความผิดพลาด} = \left(\frac{32768 - 32767.44}{32768} \right) \times 100\% = 0.0017\%$$

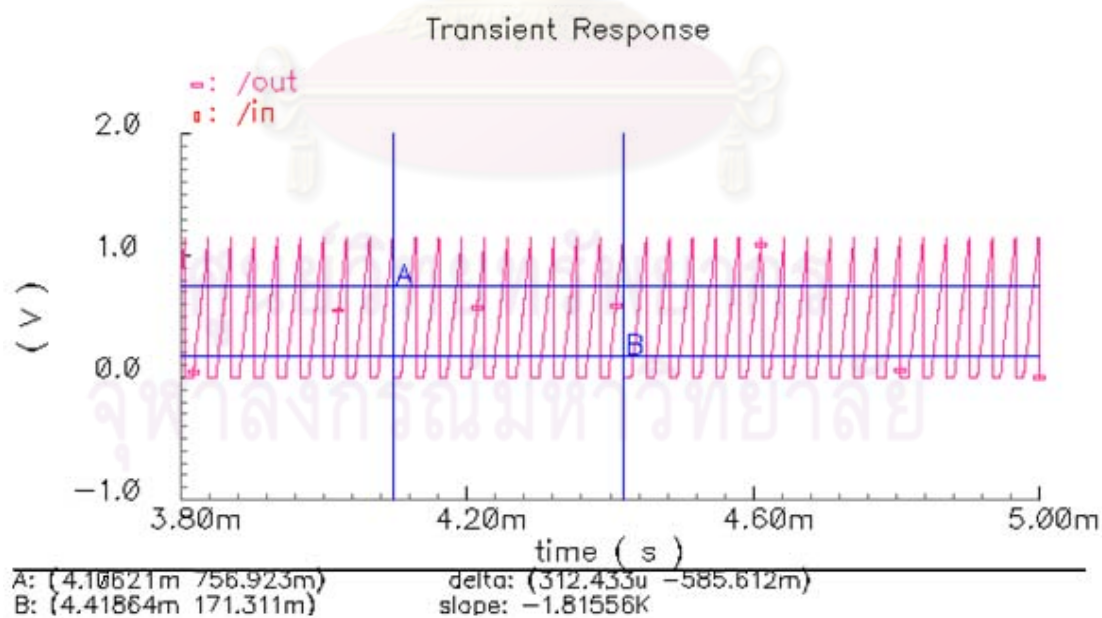
และจากรูปที่ 5-8 จะแสดงผลของอุณหภูมิที่ได้จากผลการจำลองการทำงานของกรวดลายวงจรของวงจรออสซิลเลเตอร์ที่ออกแบบโดยจะได้ว่าวงจรสามารถใช้งานได้ในช่วงอุณหภูมิระหว่าง -25 ถึง 85 องศาเซลเซียส ซึ่งมีค่าความผิดพลาดของความถี่ไม่เกิน $\pm 2\%$ ตามที่ได้กำหนดไว้ โดยจะเห็นว่าผลของอุณหภูมิที่ได้จากการวาดลายวงจรจะมีช่วงของอุณหภูมิที่สามารถใช้งานได้ลดลงเมื่อเปรียบเทียบกับช่วงของอุณหภูมิที่สามารถใช้งานได้จากการจำลองการทำงานโดยใช้โปรแกรม H-spice

จากผลการจำลองการทำงานของกรวดลายวงจรที่ได้กล่าวมาแล้ว ดังนั้นจะใช้ค่าของความต้านทานเท่ากับ 435 กิโลโอห์มโดยในการออกแบบเราจะใช้วิธีการทริมความต้านทานเพื่อให้ค่าของความต้านทานที่ได้ออกมามีความแม่นยำมากที่สุด และวิธีการทริมนี้ยังทำให้ความต้านทานที่ได้มีค่าเปลี่ยนแปลงกับอุณหภูมิน้อยมากจึงทำให้ไม่มีปัญหาเกี่ยวกับวงจรที่ออกแบบ และการที่เราเลือกความต้านทานที่ได้จากการจำลองการทำงานของกรวดลายวงจร เนื่องจากจะได้ว่ากรวดลายวงจรเป็นการจำลองการทำงานใกล้เคียงความจริงมากกว่าการจำลองการทำงานโดยใช้โปรแกรม H-spice

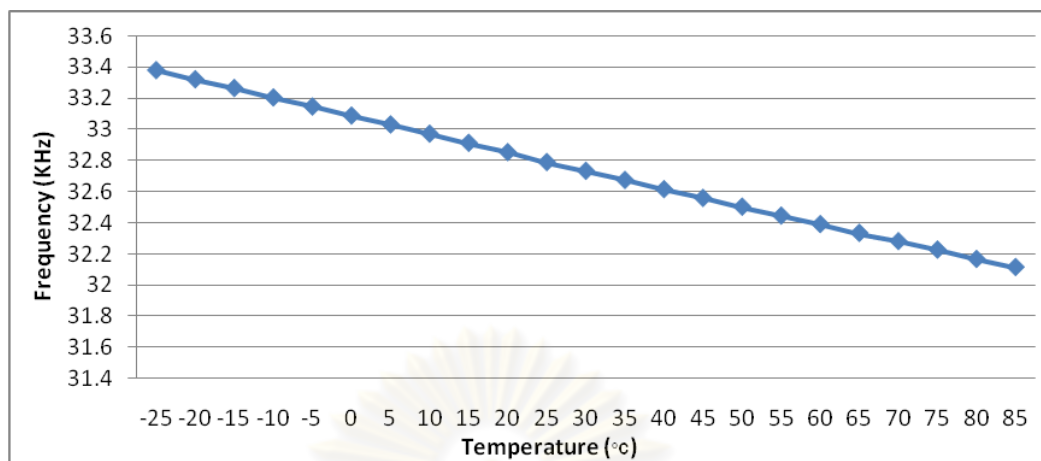
เพราะหลังจากขั้นตอนนี้ก็จะเป็นการส่งข้อมูลไปยังโรงงานเจ็ดสารเพื่อที่จะทำการผลิตอุปกรณ์ออกมาใช้งาน



รูปที่ 5-6 ผลการจำลองการทำงานของ การวาดลายวงจรของวงจรรูปที่ 5-1

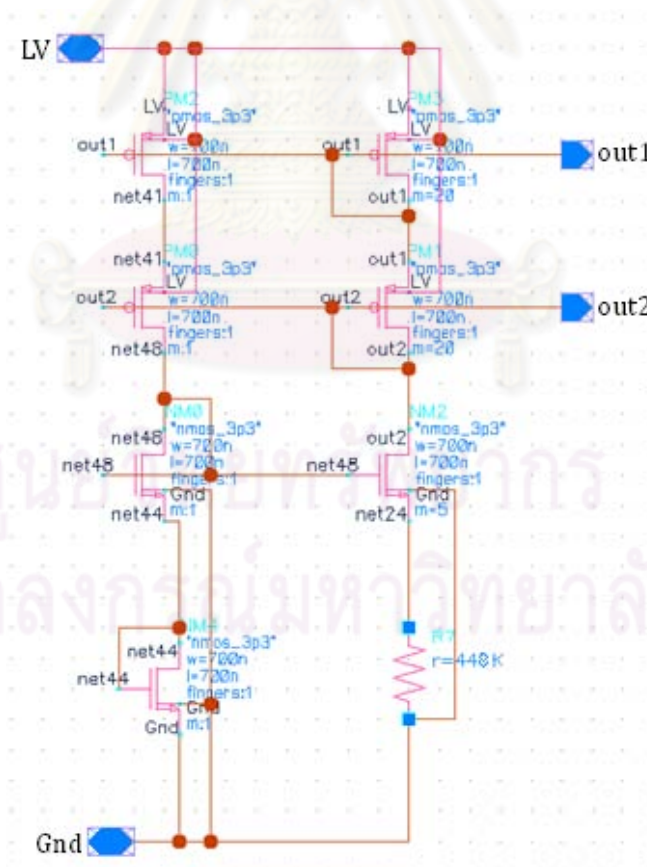


รูปที่ 5-7 สัญญาณแรงดันขาออกที่ได้จากการจำลองการทำงานของ การวาดลายวงจรของวงจร ออสซิลเลเตอร์ที่ออกแบบ

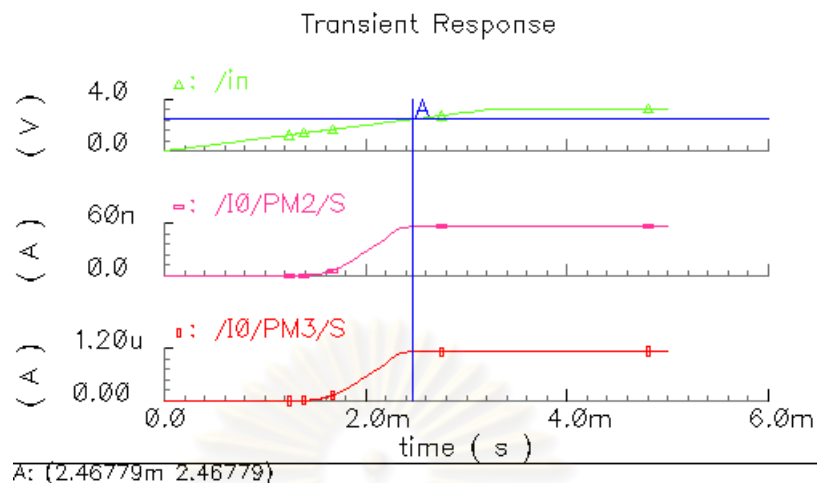


รูปที่ 5-8 ความสัมพันธ์ระหว่างอุณหภูมิกับความถี่ที่ได้จากการจำลองการทำงานของกราวดเลย์
วงจรรองของวงจรออสซิลเลเตอร์ที่ออกแบบ

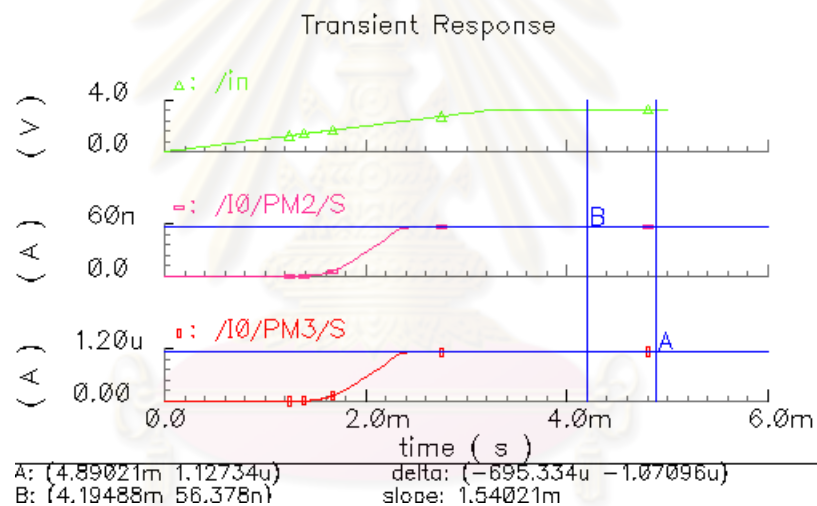
5.3 การหาขนาดจำกัดของแรงดันไฟเลี้ยงที่ควรใช้ในวงจรออสซิลเลเตอร์ที่ออกแบบ



รูปที่ 5-9 ผังวงจรของวงจรชดเชยผลของแรงดันขีดเริ่มเปลี่ยน



รูปที่ 5-10 สัญญาณแรงดันไฟเลี้ยงกับค่ากระแสของวงจรถดเซยผลของแรงดันซิดเริ่มเปลี่ยน



รูปที่ 5-11 ค่ากระแสของวงจรถดเซยผลของแรงดันซิดเริ่มเปลี่ยน

เนื่องจากวงจรถดเซยผลของแรงดันซิดเริ่มเปลี่ยนเป็นวงจรถดเซยผลให้กับวงจรถดเซยผลที่ออกแบบ ดังนั้นการหาขนาดจำกัดของแรงดันไฟเลี้ยงที่ใช้จึงต้องคำนึงถึงวงจรถดเซยผล โดยในรูปที่ 5-9 จะแสดงผังวงจรถดเซยผลของวงจรถดเซยผลของแรงดันซิดเริ่มเปลี่ยนที่ใช้สำหรับการจำลองผลการทำงานเพื่อนำมาหาความสัมพันธ์ระหว่างสัญญาณแรงดันไฟเลี้ยงกับกระแสของวงจรถดเซยผล รูปที่ 5-10 โดยจะเห็นว่าค่ากระแสที่เกิดขึ้นจะมีช่วงที่ไม่คงที่ซึ่งจะทำให้วงจรไม่สามารถทำงานได้ ดังนั้นเราจะพิจารณาค่าของแรงดันไฟเลี้ยงตั้งแต่ช่วงที่กระแสมีค่าคงที่เป็นต้นไปโดยจะได้อีกว่ากระแสจะ

ทำงานได้ต่อเมื่อแหล่งต้นไฟเลี้ยงมีค่ามากกว่า 2.46779 โวลต์ และจากรูปที่ 5-11 แสดงให้เห็นว่าค่ากระแสที่วัดได้จากวงจรกำเนิดกระแสมีค่าใกล้เคียงกับกระแสที่คำนวณได้ในหัวข้อที่ 3.5

5.4 สรุปท้ายบท

ในบทนี้ได้กล่าวถึงการวัดลายวงจรของวงจรออสซิลเลเตอร์ที่ออกแบบโดยการจำลองผลการทำงานด้วยวิธีนี้จะใกล้เคียงกับผลที่จะได้เมื่อนำไปผลิตจริงมากที่สุด ในการจำลองนี้ใช้เทคโนโลยี 0.35 ไมโครเมตร ใช้ความต้านทานเท่ากับ 435 กิโลโอห์มในการออกแบบ คุณสมบัติที่ใช้งานได้ของวงจรออสซิลเลเตอร์ที่ออกแบบเมื่อจำลองการทำงานจากโปรแกรมวัดลายวงจรจะอยู่ในช่วง -25 ถึง 85 องศาเซลเซียส แรงดันไฟเลี้ยงที่ใช้ต้องมีค่าไม่ต่ำกว่าประมาณ 2.5 โวลต์ และเมื่อวัดขนาดลายวงจรของวงจรออสซิลเลเตอร์ทั้ง 3 ภาคที่ออกแบบนี้จะมีค่าไม่เกิน 4 ไมโครเมตร



คุรุวิทยุทฤษฎากร
จุฬาลงกรณ์มหาวิทยาลัย

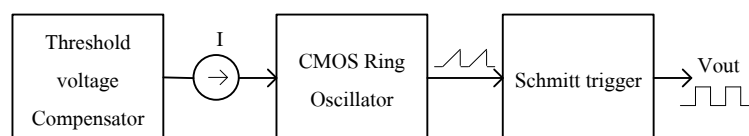
บทที่ 6

ข้อสรุปและข้อเสนอแนะ

6.1 สรุป

วิทยานิพนธ์นี้นำเสนอการออกแบบวงจรให้กำเนิดสัญญาณความถี่เพื่อประยุกต์ใช้กับวงจรรักษาเวลาจริงโดยใช้ซี-มอสเฟตชั้นแทนผลึกควอตซ์ เพราะว่ามีขนาดเล็กกว่าและสามารถนำไปใส่รวมกับวงจรรวมได้ซึ่งจะสามารถช่วยประหยัดพื้นที่ได้มากกว่าวงจรมผลึกควอตซ์ ซึ่งวงจรรักษาเวลาจริงที่ออกแบบโดยใช้ซี-มอสเฟตนี้จะมีความแม่นยำมากโดยจะมีความผิดพลาดไม่เกิน $\pm 2\%$ สามารถทำงานได้ที่แรงดัน 2.5 ถึง 3.3 โวลต์ และทำงานได้เมื่ออุณหภูมิอยู่ในช่วง -25 ถึง 85 องศาเซลเซียส กินกำลังงานไฟฟ้ามากที่สุดเท่ากับ 5.08 ไมโครวัตต์ การออกแบบใช้เทคโนโลยีซีมอส 0.35 ไมโครเมตร และวัดขนาดพื้นที่ของลายวงจรของวงจรรักษาเวลาจริงรูปสามเหลี่ยมแบบวงแหวน 3 ภาคที่นำเสนอได้เท่ากับ 3.741 ตารางไมโครเมตร

ในบทนี้จะกล่าวสรุปถึงการออกแบบองค์ประกอบในส่วนต่างๆของวงจรถือเพื่อนำมาประยุกต์ใช้กับวงจรรักษาเวลาจริงโดยจะแบ่งออกเป็น 2 ภาคคือภาคแอนะล็อกและภาคดิจิทัล โดยในส่วนของภาคแอนะล็อกจะเป็นวงจรรักษาเวลาจริงกำเนิดสัญญาณนาฬิกาเพื่อป้อนให้กับวงจรรักษาเวลาจริง ซึ่งจะประกอบด้วยวงจรทั้งหมดสามส่วนดังแสดงในรูปที่ 6-1 ดังนี้ ส่วนแรกคือวงจรรักษาเวลาจริงรูปสามเหลี่ยมแบบวงแหวน 3 ภาคแบบมีวงจรรายยผกผันซึ่งทำหน้าที่ผลิตสัญญาณความถี่ออกมาโดยวงจรมนี้จะกินกำลังไฟฟ้าน้อยมาก และให้ความถี่ที่มีความแม่นยำได้ ส่วนที่สองคือวงจรถดเซยผลของแรงดันขีดเริ่มเปลี่ยนซึ่งทำหน้าที่เป็นวงจรรักษาเวลาจริงสำหรับวงจรรักษาเวลาจริงที่ออกแบบ เพราะเนื่องจากวงจรรักษาเวลาจริงที่ออกแบบมีค่าขึ้นกับแรงดันขีดเริ่มเปลี่ยน ซึ่งแรงดันขีดเริ่มเปลี่ยนจะเปลี่ยนแปลงตามกระบวนการเจือสารและอุณหภูมิโดยตรง ดังนั้นจึงต้องวงจรมีส่วนที่สองนี้มาเพื่อชดเชยค่าของแรงดันขีดเริ่มเปลี่ยนที่เกิดขึ้น ส่วนที่สาม ได้แก่ วงจรจุดชนวนของขมิตต์ซึ่งจะทำหน้าที่แปลงสัญญาณรูปคลื่นสามเหลี่ยมให้เป็นสัญญาณรูปคลื่นสี่เหลี่ยม เพื่อที่จะส่งไปใช้กับวงจรภาคดิจิทัลต่อไป



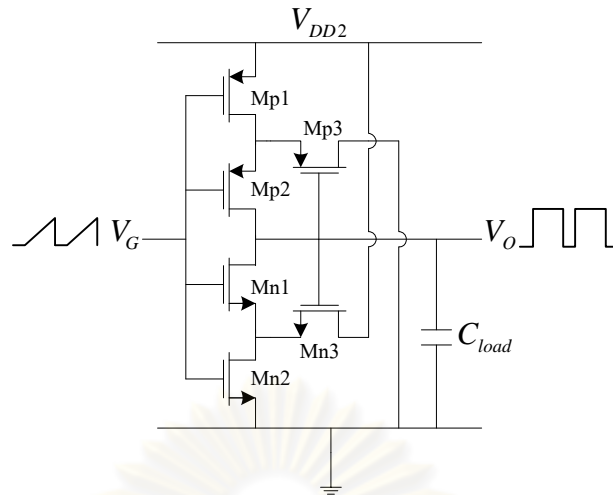
รูปที่ 6-1 แผนภาพโดยรวมของวงจรรักษาเวลาจริงกำเนิดสัญญาณนาฬิกาให้กับวงจรรักษาเวลาจริง

ส่วนในภาคดิจิทัลแบ่งออกเป็นสองส่วนได้แก่ ส่วนของวงจรรหัสความถี่โดยจะทำหน้าที่รหัสความถี่ 32768 เฮิร์ตซ์ จนถึง 1 เฮิร์ตซ์ และส่งสัญญาณต่อไปยังวงจรมอดูเลเตอร์ในส่วนที่สองซึ่งคือ ส่วนของวงจรมอดูเลเตอร์เวลาจริงโดยจะประกอบด้วย วงจรนับและวงจรถอดรหัส โดยวงจรมอดูเลเตอร์นี้จะกินพลังงานน้อยมากเมื่อเปรียบเทียบกับวงจรรหัสความถี่ ดังนั้นจะละทิ้งในการหาค่าพลังงาน

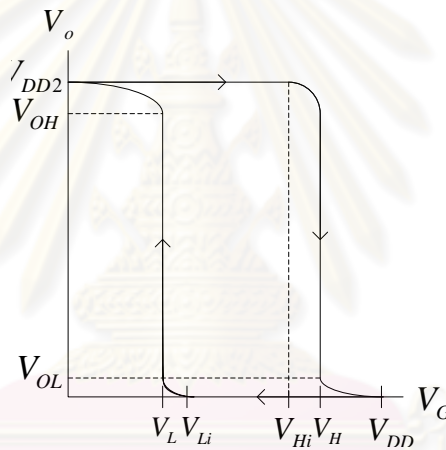
โดยในบทก่อนหน้าเราได้ศึกษาวงจรออสซิลเลเตอร์รูปสามเหลี่ยมแบบวงแหวน 3 ภาค แบบมีวงจรมอดูเลเตอร์ และวงจรถอดรหัสของแรงดันซิดเริ่มเปลี่ยนซึ่งเป็นวงจรมอดูเลเตอร์สัญญาณความถี่แล้ว โดยความต้านทานที่ใช้ในวงจรถอดรหัสของแรงดันซิดเริ่มเปลี่ยนจะใช้วิธีการทริมเพื่อให้ค่าความต้านทานที่ออกแบบมีความแม่นยำ โดยการทริม (trim) คือเทคโนโลยีที่ใช้เลเซอร์ (laser) ในการตัดตัวต้านทานเพื่อให้ได้ค่าที่ต้องการ โดยเทคโนโลยีการทริมนี้จะมีค่าความแม่นยำสูงและไม่ขึ้นกับอุณหภูมิโดยมีวิธีการทริมดังนี้ เริ่มจากการทริมค่าความต้านทานให้ได้ค่าที่แม่นยำที่สุดทำได้โดยการเพิ่มแรงดันพัลส์ (pulse) [15] ในการทริมมากขึ้นเรื่อยๆ เพื่อให้ความต้านทานลดลงและได้ค่าใกล้เคียงค่าที่ต้องการมากที่สุด ดังนั้นวิธีการทริมทำได้โดยคำนวณแรงดันพัลส์จากค่าความต้านทานที่ต้องการและนำค่าแรงดันพัลส์ที่ได้มาตัดตัวต้านทานเพื่อให้ได้ค่าที่ต้องการ การทริมตัวต้านทานนี้ได้ทดสอบที่อุณหภูมิในช่วง -25 ถึง 125 องศาเซลเซียส โดยจะมีค่าความต้านทานเปลี่ยนแปลงไปน้อยกว่า $\pm 1\%$ เราจึงสรุปได้ว่าเทคโนโลยีการทริมตัวต้านทานนี้สามารถทำให้ตัวต้านทานมีค่าที่แม่นยำและไม่ขึ้นกับอุณหภูมิ และต่อไปจะกล่าวถึงการนำวงจรมอดูเลเตอร์สัญญาณความถี่ที่ได้ศึกษามานี้มาประยุกต์ใช้กับวงจรมอดูเลเตอร์เวลาจริง โดยจะพิจารณาส่วนที่เหลือทั้งหมดดังต่อไปนี้

6.1.1 วงจรจุดชนวนของชmitt (Schmitt Trigger)

วงจรถอดจุดชนวนของชmitt [16] คือวงจรถอดทำของวงจรมอดูเลเตอร์ที่ทำหน้าที่แปลงสัญญาณเพื่อส่งสัญญาณไปยังภาคดิจิทัล ซึ่งเป็นวงจรมอดูเลเตอร์ที่เปลี่ยนสัญญาณรูปคลื่นสามเหลี่ยมเป็นสัญญาณรูปคลื่นสี่เหลี่ยม เนื่องจากวงจรถอดจุดชนวนของชmitt สามารถเลือกใช้และสร้างได้หลากหลายตามความเหมาะสมกับวงจร ณ ที่นี้จะยกตัวอย่างวงจรถอดจุดชนวนของชmittที่จะใช้ในการออกแบบดังรูปที่ 6-2 และความสัมพันธ์ระหว่างแรงดันขาเข้า (V_G) กับแรงดันขาออก (V_O) แสดงในรูปที่ 6-3



รูปที่ 6-2 วงจรจุดขนวนของขมิตต์



รูปที่ 6-3 ความสัมพันธ์ระหว่างแรงดันขาเข้า (V_G) กับแรงดันขาออก (V_o)

จากรูปที่ 6-3 สามารถหาค่าของ V_{Hi} , V_{Li} ได้ดังนี้

$$V_{Hi} = \frac{V_{DD} + V_{TN}}{2}$$

$$V_{Li} = \frac{V_{DD} - |V_{TP}|}{2}$$

(6-1)

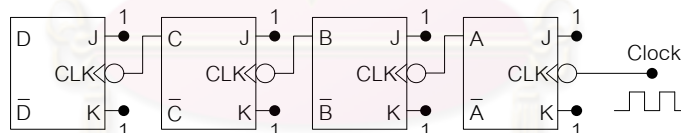
6.1.2 การออกแบบวงจรหารความถี่และการหาพลังงานของวงจรหารความถี่

เนื่องจากวงจรรีเลย์ [17] เป็นวงจรพื้นฐานที่สำคัญและนิยมใช้กันมากในระบบดิจิทัล เพราะวงจรรีเลย์จะเป็นส่วนหนึ่งของวงจรต่างๆ มากมาย เช่น วงจรนาฬิกา วงจรหารความถี่ วงจรรีเลย์ในงานอุตสาหกรรม และ อื่นๆ หลักการทำงานของวงจรรีเลย์ส่วนใหญ่จะเป็นวงจรรีเลย์แบบ

เลขไบนารี และจะเป็นการนับสัญญาณพัลส์ที่ป้อนเข้าในวงจร วงจรนับประกอบไปด้วยฟลิปฟลอปที่ต่อกันเป็นวงจร วงจรนับสามารถแบ่งเป็น 2 แบบใหญ่ คือ

1. วงจรนับแบบอะซิงโครนัส (Asynchronous หรือ Ripple Counter) คือ การทำงานของวงจรทั้งหมดจะเกิดขึ้นไม่พร้อมกัน และไม่พร้อมกันสัญญาณความถี่ที่ป้อนให้กับวงจร
2. วงจรนับแบบซิงโครนัส (Synchronous) คือ การทำงานของวงจรทั้งหมดจะเกิดขึ้นพร้อมกัน และพร้อมกันสัญญาณความถี่ที่ป้อนให้กับวงจร(สังเกตขาที่รับสัญญาณมาจากวงจรให้กำเนิดสัญญาณความถี่ของฟลิปฟลอปทุกตัวจะต่อพร้อมกัน สัญญาณขาออกของฟลิปฟลอปจะเปลี่ยนพร้อมกันทั้งหมดและพร้อมกันสัญญาณความถี่ที่ป้อนให้กับวงจร)

ดังนั้นในการออกแบบวงจรรหาความถี่จะเลือกเป็นแบบอะซิงโครนัสดังรูปที่ 6-4 เพราะง่ายกว่า โดยสัญญาณขาออกของฟลิปฟลอปแต่ละตัวจะไม่เปลี่ยนพร้อมกัน โดยฟลิปฟลอปแต่ละตัวจะทำงานเชื่อมต่อกัน จะได้ว่าเมื่อสัญญาณความถี่ที่ป้อนให้กับฟลิปฟลอปตัวแรกฟลิปฟลอปตัวที่ 2 จะยังไม่ทำงานจนกว่าจะได้รับสัญญาณขาออกของฟลิปฟลอปตัวแรก และจะทำงานไปเรื่อยๆแบบนี้จนถึงฟลิปฟลอปตัวสุดท้าย

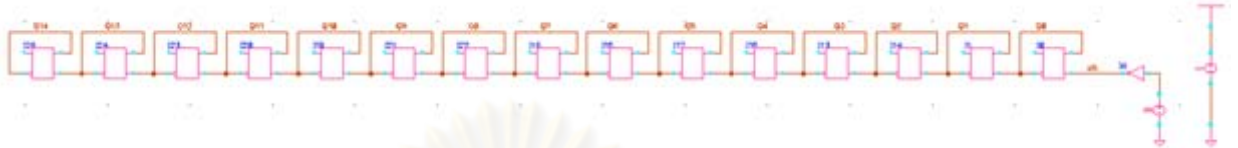


รูปที่ 6-4 วงจรนับแบบอะซิงโครนัส

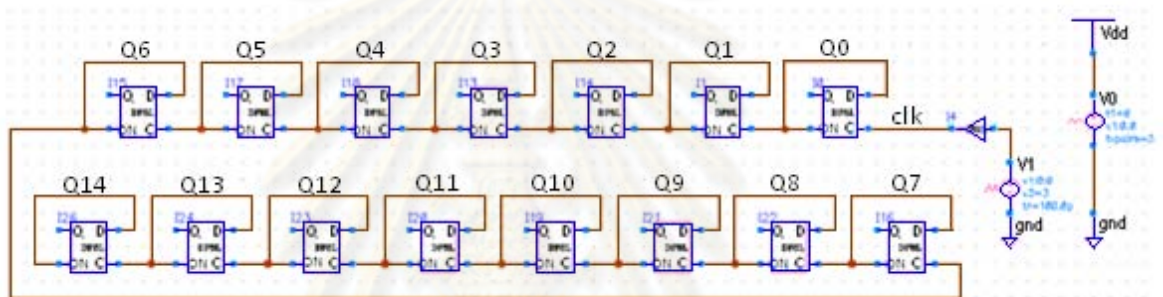
จากที่ได้กล่าวมาแล้วในส่วนของภาคแอนะล็อกในหัวข้อข้างต้นจะให้กำเนิดสัญญาณความถี่เท่ากับ 32.768 กิโลเฮิร์ตซ์ ซึ่งเป็นค่าที่ป้อนให้กับวงจรรนาฬิกาเวลาจริง โดยจะต้องนำสัญญาณความถี่ที่ได้นี้มาหารให้เหลือ 1 เฮิร์ตซ์ เพื่อที่จะส่งไปยังวงจรรนาฬิกาเวลาจริงต่อไป โดยวงจรรหาความถี่ที่เราออกแบบจะเริ่มหาความถี่จาก 32.768 กิโลเฮิร์ตซ์จนถึง 1 เฮิร์ตซ์ ดังนั้นจะใช้ฟลิปฟลอปทั้งหมด 15 ตัวซึ่งได้มาจาก 2^{15} เท่ากับ 32768 เฮิร์ตซ์

ออกแบบวงจรรหาความถี่เพื่อนำมาจำลองการทำงานโดยใช้โปรแกรมวาดลายวงจร โดยในการวาดลายวงจรของวงจรรหาความถี่ในภาคดิจิทัลจะถูกวาดด้วยโปรแกรมช่วยในการสร้างลายอัตโนมัติ เพื่อที่จะหาค่ากระแสทั้งหมดของวงจรรหาความถี่ซึ่งประกอบด้วย ฟลิปฟลอป

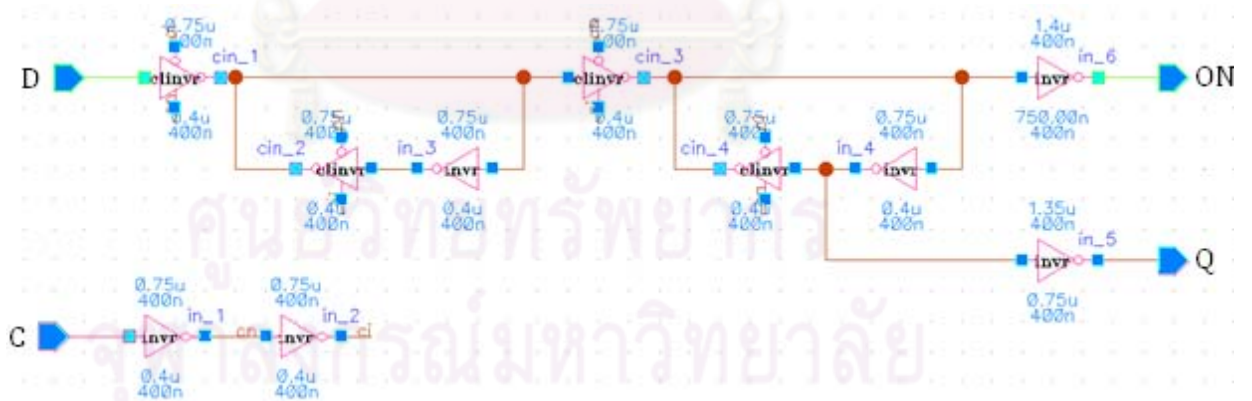
ทั้งหมด 15 ตัวต่อกันแบบอะซิงโครนัส ดังรูปที่ 6-5 การที่ใช้ฟลิปฟล็อป 15 ตัวได้มาจากการที่เรา ออกแบบความถี่เท่ากับ 32768 เฮิร์ตซ์ ซึ่งเป็นความถี่ที่ป้อนให้กับวงจรรนาฬิกาเวลาจริง โดยมาจาก 2^{15} ซึ่งจะเท่ากับ 32768 เฮิร์ตซ์ดังนั้นจึงใช้ฟลิปฟล็อปทั้งหมด 15 ตัว และรูปที่ 6-6 แสดง วงจรขยายของรูปที่ 6-5



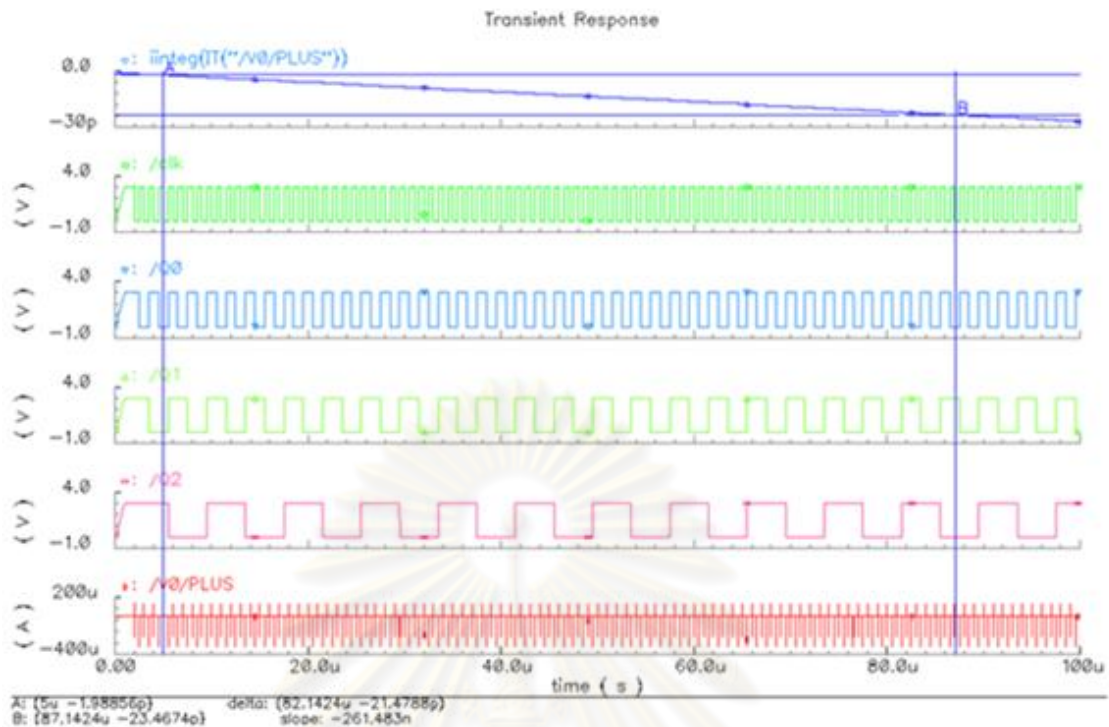
รูปที่ 6-5 ผังวงจรของวงจรรนาฬิกาความถี่ที่ใช้ในการจำลองการทำงานของโปรแกรมวาดลายวงจร



รูปที่ 6-6 วงจรขยายของรูปที่ 6-5



รูปที่ 6-7 ส่วนประกอบภายในของวงจรฟลิปฟล็อป



รูปที่ 6-8 ผลการจำลองการทำงานของวงจรความถี่

จากรูปที่ 6-7 ได้แสดงส่วนประกอบภายในของวงจรฟลิปฟล็อปโดยจะประกอบด้วยวงจร ผกผันเพียงอย่างเดียวซึ่งมีทั้งหมด 10 ตัว และจากรูปที่ 6-8 ได้แสดงผลการจำลองของวงจร ความถี่ซึ่งจะประกอบด้วย สัญญาณนาฬิกาที่ป้อนให้ฟลิปฟล็อปตัวแรก สัญญาณขาออกของฟลิป ฟล็อปตัวแรก (Q0) สัญญาณขาออกของฟลิปฟล็อปตัวที่สอง (Q1) สัญญาณขาออกของฟลิป ฟล็อปตัวที่สาม (Q2) โดยจากสัญญาณที่ได้จากผลการจำลองจะเห็นว่าวงจรจะมีการหารความถี่ไป เรื่อยๆ ตั้งแต่ 1 เท่า 2 เท่า 3 เท่า จนถึง 15 เท่า ต่อมาได้แสดงกระแสของแรงดัน V0 ซึ่งจะเห็น ว่าจะเปลี่ยนแปลงตามสัญญาณนาฬิกาทั้งขอบขาขึ้นและขอบขาลง และนำมาหาค่ากระแสที่ใช้ทั้งหมด โดยจะอินทิเกรต (integrate) ค่ากระแสของแรงดัน V0 โดยจะได้ว่ากราฟอินทิเกรตค่ากระแสที่ได้ จะมีค่าความชันเท่ากับ 261.687 นาโนแอมป์ และในการจำลองการทำงานนี้ได้ใส่ค่าสัญญาณ นาฬิกาที่ป้อนให้กับวงจรความถี่เท่ากับ 10^6 เมกะเฮิรตซ์ ดังนั้นคำนวณหาค่ากำลังไฟฟ้าของ วงจรความถี่ได้ดังนี้

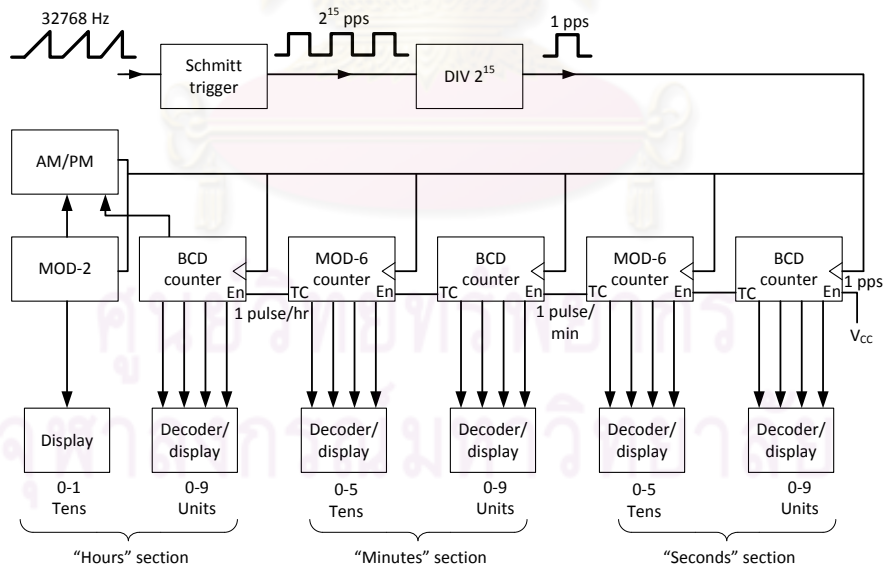
โดยค่าที่คำนวณนี้จะต้องเผื่อด้วยเนื่องจากวงจรความถี่จากรูปที่ 6-5 จะถูกวาดด้วย โปรแกรมช่วยในการสร้างลายอัตโนมัติหรือกล่าวได้ว่าใช้คอมพิวเตอร์ช่วยในการวาดลายวงจร ดังนั้นการวาดลายวงจรจะเกิดจากสองชั้นคือ ชั้นโลหะ (metal) และชั้นโพลีซิลิกอน (polysilicon)

เลยทำให้ชั้นสองชั้นนี้โดนทับมากเลยทำให้เกิดค่าที่ไม่ต้องการ (parasitic) มาก ดังนั้นในการคำนวณค่ากระแสจึงต้องคิดเผื่อไว้ 3.5 เท่า

∴ วงจรหารความถี่จะกินกระแส = $(261.483 \times 3.5 \times 32768)/10^6 = 29.98896$ นาโนแอมป์

6.1.3 การออกแบบวงจรรนับและวงจรถอดรหัส (Counter and Decoder Circuit)

จากรูปที่ 6-5 ซึ่งจะนำสัญญาณที่ได้จากวงจรถอดชดเชยของขมิตต์ที่มีความถี่เท่ากับ 32768 Hz มาหารให้เหลือ 1 Hz โดยนำไปป้อนให้กับวงจรรนับทุกตัวเพื่อทำให้สัญญาณตรงกันโดยที่วงจรรนับจะต่อแบบอนุกรมกัน ส่วนแรกคือส่วนของวินาทีซึ่งเริ่มจากวงจรรนับ BCD (BCD Counter) จะถูกนับและแสดงเป็นวินาทีจาก 0 ถึง 9 โดยวงจรรนับ BCD จะนับ 1 ครั้งต่อวินาทีและเมื่อนับถึง 9 วงจรรนับ BCD จะกระตุ้นที่ขา TC เพื่อให้ขา En ในส่วนของวงจรรนับ MOD-6 (MOD-6 counter) ทำงานซึ่งจะส่งผลให้ส่วนของวงจรรนับ MOD-6 เริ่มนับ ในขณะที่เดียวกันวงจรรนับ BCD จะเริ่มนับจาก 0 ใหม่ โดยวงจรรนับแบบนี้ไปเรื่อยๆจนกระทั่งครบ 60 วินาทีและวงจรรนับส่วนของนาฬิกาต่อไปจนถึงชั่วโมงซึ่งจะใช้ AM กับ PM เป็นตัวกำหนดช่วงเวลา โดยจะนำวงจรรนับและวงจรถอดรหัส [18] ในแผนภาพที่แสดงดังรูปที่ 6-9 นี้มาใช้ในการเขียนรหัส (Code) VHDL เพื่อสังเคราะห์เป็นวงจรถอดออกมาเพื่อที่จะนำมาคำนวณหาค่าพลังงานอย่างคร่าวๆ ต่อไป



รูปที่ 6-9 แผนภาพของวงจรรนาฬิกา

โดย TC คือ Terminal Count และ En คือ Enable

แต่เนื่องจากค่าพลังงานที่คำนวณได้จากโปรแกรม VHDL มีค่ามากเนื่องจากใช้ชิป (Chip) หลายตัวในการคำนวณ ซึ่งมากกว่าที่ใช้ในการออกแบบจริง ทำให้กินพลังงานมากทั้งๆที่ในการใช้จริงกินพลังงานเพียงแค่นิดเดียว ดังนั้นในวิทยานิพนธ์นี้จึงจะเลยการคำนวณค่าพลังงานไฟฟ้าของ วงจรนับและวงจรถอดรหัสเพราะถือว่าม้ค่าน้อยมาก

6.1.4 การหาค่าพลังงานทั้งหมดของวงจรแอนะล็อกและวงจรถิจิตัล

ในภาคแอนะล็อกจะประกอบด้วยวงจรถอดรหัสซิลิเลเตอร์ที่ออกแบบ วงจรกำเนิดกระแสที่แปรตามแรงดันขีดเริ่ม และวงจรถัดชนวนของซิมิตต์ ซึ่งในหัวข้อที่ 4.2.2 เราได้หาค่ากำลังไฟฟ้าทั้งหมดของวงจรถอดรหัสซิลิเลเตอร์ที่ออกแบบกับวงจรถัดชนวนที่แปรตามแรงดันขีดเริ่มโดยจะได้ค่า ดังนี้

$$\text{ค่ากำลังไฟฟ้า} = 5.08 \text{ ไมโครวัตต์}$$

และเมื่อวัดค่ากำลังไฟฟ้าของวงจรถัดชนวนของซิมิตต์จะมีค่าอยู่ในช่วงระหว่าง 0.0705 ถึง 59.9 นาโนวัตต์ ดังนั้นจะหาค่าพลังงานที่มากที่สุดที่ใช้ของวงจรแอนะล็อกได้เท่ากับ 5.14 ไมโครวัตต์

ส่วนในภาคดิจิตัลแบ่งออกเป็นสองส่วนได้แก่ ส่วนของวงจรถอดรหัสโดยจะทำหน้าที่ถอดรหัส 32768 เบริตซ์ จนถึง 1 เบริตซ์ และส่งสัญญาณต่อไปยังวงจรในส่วนที่สองซึ่งคือ ส่วนของวงจรถอดรหัสเวลาจริงโดยจะประกอบด้วย วงจรนับและวงจรถอดรหัส โดยวงจรถอดรหัสนี้จะกินพลังงานน้อยมากเมื่อเปรียบเทียบกับวงจรถอดรหัส ดังนั้นจะละทิ้งในการหาค่าพลังงาน ทำให้หาค่ากระแสที่ใช้ในส่วนของภาคดิจิตัลทั้งหมดได้ไม่เกิน 30 นาโนแอมป์

6.2 ข้อเสนอแนะ

ข้อเสนอแนะในการปรับปรุงและพัฒนาการออกแบบวงจรให้กำเนิดสัญญาณความถี่โดยใช้ ซี-มอสเฟต และการนำไปใช้ประยุกต์ใช้ในอนาคตเป็นดังนี้

1. พิจารณาสัญญาณรบกวน (Jitter and Phase Noise) ที่เกิดขึ้นในวงจรที่นำเสนอ และหาวิธีแก้ไขสัญญาณรบกวนที่เกิดขึ้น
2. แก้ไขวงจรถอดรหัสซิลิเลเตอร์รูปสามเหลี่ยมแบบวงแหวน 3 ภาคแบบมีวงจรขยายผกผัน เพื่อให้กินพลังงานไฟฟ้าน้อยลง
3. สามารถพัฒนาได้โดยใช้วงจรถัดฟเฟอเรนเชียล (Differential) มาต่อแทนวงจรผกผัน

รายการอ้างอิง

- [1] Ying-Wen Bai, and Hsiao-Chung Chen. An Adjustable Design For The Real Time Clock of High-End Server Systems, In IEEE Conference on Electrical and Computer Engineering, 4-7 May 2008.
- [2] Yusuke Tokunaga, Shiro Sakiyama, Akinori Matsumoto, and Shiro Dosho. An On-Chip CMOS Relaxation Oscillator With Voltage Averaging Feedback, In IEEE Journal Of Solid-State Circuits, vol.45, NO.6, June 2010.
- [3] Maxim Integrated Products. Silicon Oscillator with Low-Power Frequency Switching [Online]. 2007. Available from: <http://datasheets.maxim-ic.com/en/ds/MAX7383.pdf> [2007, July]
- [4] Leung, K.N., Lo, C.H., Mok, P.K.T., Mai, Y.Y., Leung, W.Y., and Chan, M.J. Temperature-Compensated CMOS Ring Oscillator for Power-Management Circuits, In Electronics Letters, Vol.43, No.15, 19th July 2007.
- [5] Xuan Zhang, and Alyssa B. Apsel. A Low-Power, Process-and-Temperature-Compensated Ring Oscillator With Addition-Based Current Source, In IEEE Transactions on circuits and systems, 2010.
- [6] Behzad Razavi. Oscillators, In Design of Analog CMOS Integrated Circuits, pp.482-492. Singapore: Mc Graw Hill, 2001.
- [7] Behzad Razavi. Basic MOS Device Physics, In Design of Analog CMOS Integrated Circuits, pp.9-33. Singapore: Mc Graw Hill, 2001.
- [8] R. Jacob Baker. The MOSFET, In CMOS Circuit Design, Layout, and Simulation, PP.83-103. New York: A John Wiley & Sons, INC., 1997.
- [9] สิทธิชัย โภคยอุดม, วงจรมอนกดับแบบลบและออกซิลเลเตอร์, กรุงเทพฯ: ฝ่ายวิชาการ มหาวิทยาลัยเทคโนโลยีมหานคร, 2537.

- [10] ธีรศักดิ์ ศรีสกุล, ภาณุ ศีลาพันธ์ และ รศ.ดร.มนตรี ศิริปรัชญานันท์. วงจรรองความถี่และการออกแบบวงจรรองความถี่ [ออนไลน์], 2537. แหล่งที่มา: <http://www.te.kmutnb.ac.th/~msn/bsflf351.pdf> [2537, พฤศจิกายน]
- [11] Hui Zhou, Charles Nicholls, Thomas Kunz, and Howard Schwartz, Frequency Accuracy & Stability Dependencies of Crystal Oscillators, In System and Computer Engineering, November 2008.
- [12] Prapto Nugroho, and Ekachai Leelarasmee. Analysis and design of a 3-stage CMOS Current Controlled Ring Oscillator. Master's thesis, Department of Electrical Engineering Chulalongkorn University, 2006.
- [13] Franco Fiori, and Paolo Stefano Crovetto, A New Compact Temperature-Compensated CMOS Current Reference, In IEEE Transactions on Circuits and Systems, vol 52, NO.11, November 2005.
- [14] Alan Hastings. MOS Transistor Matching, In The Art of Analog Layout, pp.426-442. America: Prentice-Hall Upper Saddle River, 2001.
- [15] Toshio Tobita, and Hayato Takasago, New Trimming Technology of a thick Film Resistor by the Pulse Voltage Method, In IEEE Transactions on Components, vol.14, NO 3, September 1991.
- [16] Filanovsky, I.M., and Baltas, H. CMOS Schmitt Trigger Design, In IEEE Transactions Circuits Systems, pp.46-49. vol.41, no.1, 1994.
- [17] ผศ.ดร.วิชัย ประเสริฐเจริญสุข, ดิจิทัลอิเล็กทรอนิกส์, ขอนแก่น: ภาควิชาวิศวกรรมไฟฟ้า คณะวิศวกรรมศาสตร์ มหาวิทยาลัยขอนแก่น, 2006.
- [18] Ronald, J., Tocci Neal, S., Widmer Gregory L, and Moss. Counters and Registers, In Digital Systems Principles and Applications, PP.360-486. America: Pearson Education, 2006.



ภาคผนวก

ศูนย์วิทยทรัพยากร
จุฬาลงกรณ์มหาวิทยาลัย

บทความที่ได้รับการตีพิมพ์
ในการประชุมวิชาการทางวิศวกรรมไฟฟ้า ครั้งที่ 33



ศูนย์วิทยทรัพยากร
จุฬาลงกรณ์มหาวิทยาลัย

ประวัติผู้เขียนวิทยานิพนธ์

นางสาวณัฐนิช เกียรติมนีรัตน์ เกิดเมื่อวันที่ ๑๗ พฤษภาคม พ.ศ. ๒๕๓๐ ที่จังหวัด กรุงเทพมหานคร สำเร็จการศึกษาระดับมัธยมศึกษาตอนต้นที่โรงเรียนสตรีศรีอยุธยา กรุงเทพมหานคร สำเร็จการศึกษาระดับมัธยมศึกษาตอนปลายที่โรงเรียนสตรีศรีอยุธยา กรุงเทพมหานคร สำเร็จการศึกษาระดับปริญญาตรี สาขาวิศวกรรมไฟฟ้า จากมหาวิทยาลัยเทคโนโลยีพระจอมเกล้าธนบุรี กรุงเทพมหานคร ในปีการศึกษา ๒๕๕๑ ต่อมาได้เข้าศึกษาต่อในหลักสูตรวิทยาศาสตรมหาบัณฑิต สาขาวิชาวิศวกรรมไฟฟ้า แขนงวิชาวิศวกรรมไฟฟ้าอิเล็กทรอนิกส์เชิงเลข ที่คณะวิศวกรรมศาสตร์ จุฬาลงกรณ์มหาวิทยาลัย ในปีการศึกษา ๒๕๕๒ และได้รับการตีพิมพ์บทความชื่อ วงจรออกสวิตชิ่งเลเซอร์รูปสามเหลี่ยมแบบวงแหวนที่มีความถี่ไม่เปลี่ยนแปลงตามแรงดันซิดเริ่มเปลี่ยน ในวารสารชื่อ การประชุมวิชาการทางวิศวกรรมไฟฟ้า ครั้งที่ ๓๓ ฉบับที่ ๒ พุทธศักราช ๒๕๕๓ หน้า ๑๐๔๑-๑๐๔๔



ศูนย์วิทยทรัพยากร
จุฬาลงกรณ์มหาวิทยาลัย